La chiave torsionale: gravità, memoria e coerenza oltre i modelli attuali

La chiave torsionale: gravità, memoria e coerenza oltre i modelli attuali

ABSTRACT

Il presente lavoro propone un quadro interpretativo unificante basato sulla *Teoria della Trascrizione Torsionale del Nulla* (TTTN). Tale prospettiva considera la torsione e il *Campo β* come principi informazionali primari, dai quali emergono la geometria cosmica, la gravità e i fenomeni della coerenza nei sistemi viventi.

La ricerca contemporanea affronta sfide ancora irrisolte: la gravità non quantizzata, l'enigma della materia oscura, l'energia oscura, la natura della memoria olografica e la sorprendente robustezza della coerenza quantistica in sistemi biologici. Questi ambiti, solitamente trattati in isolamento, vengono qui reinterpretati come manifestazioni di un unico substrato torsionale.

Il *Campo β* viene definito operativamente come media di torsioni originarie dello spazio-tempo, capace di stabilizzare coerenza e conservare "cicatrici informazionali" distribuite. Le sue dinamiche vengono formalizzate mediante equazioni fenomenologiche con termini di dissipazione, scrittura e diffusione, mentre gli accoppiamenti ai sistemi fisici (quantistici e classici) spiegano fenomeni come la risonanza stocastica, il tunneling quantistico e le correlazioni non locali in neuroscienze.

In questa chiave:

- la gravità appare come tensione geometrica residua, regolata dal Campo β, anziché come forza o pura curvatura;
- la materia oscura può essere riletta come effetto delle cicatrici torsionali, senza ricorrere a particelle ipotetiche;
- la memoria olografica trova fondamento in una distribuzione informazionale non locale;
- la coerenza biologica e cognitiva emerge come risultato attivo del Campo β, non come eccezione improbabile.

Il testo non propone una nuova teoria del tutto, ma una cornice unificante che valorizza dati ed anomalie esistenti. L'intento è stimolare un dialogo interdisciplinare e delineare esperimenti mirati per testare la presenza e le firme del Campo β in astrofisica, biofisica e neuroscienze.

Indice

Prefazione

- Scopo del documento

- Origine: dalla *Teoria della Trascrizione Torsionale del Nulla (TTTN)*
- Metodo: non nuova teoria ma reinterpretazione unificante
- Dove le ricerche attuali incontrano la TTTN

Capitolo Preliminare — Il Campo β

---

1. Gravità

1.1. La concezione classica: forza newtoniana e geometria relativistica
1.2. I limiti di Einstein di fronte al problema della massa mancante
1.3. La proposta di Verlinde: gravità come fenomeno emergente dall'informazione
1.4. Critiche e limiti della visione entropica
1.5. La rilettura torsionale:
• Gravità come *tensione geometrica residua*
• Le "cicatrici torsionali" come origine della curvatura
• Campo β come regolatore di coerenza e percezione gravitazionale
1.6. Implicazioni: il passaggio da forza/entropia a fenomeno di informazione torsionale

---

2. Materia Oscura ed Energia Oscura

2.1. Lo scandalo cosmologico: masse ed energie mancanti
2.2. Tentativi di soluzione:
• Modello Λ-CDM
• Teorie MOND e modifiche dinamiche
2.3. Limiti e anomalie sperimentali
2.3.2. Verso una reinterpretazione
2.3.3 Verso un cambio di paradigma: dalla materia mancante all'informazione strutturante
2.4. Lettura torsionale:
• Effetti del Campo β non contabilizzati
• Geometria emergente senza nuova materia
• Energia oscura come disequilibrio torsionale su larga scala
2.5. Prospettive: cosmologia senza entità aggiuntive
2.6. Conclusione del Capitolo – Gravità e materia oscura in chiave torsionale

---

3. Memoria Olografica

3.1. Origine del concetto: da Bohm e Pribram al paradigma olografico
3.2. Applicazioni in neuroscienze, fisica e informatica
3.3. Limiti delle interpretazioni riduzioniste
3.4. Versione torsionale:
• Ogni nodo conserva la “cicatrice informazionale”
• La parte contiene traccia del tutto → eco torsionale
• Non fragilità della memoria: la coerenza è generata, non subita
3.5. Connessioni con la coscienza e i processi informazionali
3.6. Implicazioni per sistemi complessi

---

4. Risonanza stocastica, enzimi e tunneling quantistico

4.1. Introduzione: quando il rumore diventa utile
4.2. Biofisica: esempi di risonanza stocastica nei sistemi viventi
4.3. Enzimi e tunneling quantistico: modello, evidenze, conseguenze
4.4. Coerenza quantistica in sistemi complessi: perché non è fragile
4.5. Spiegazione torsionale:
• Flip locali del Campo β
• Risonanze torsionali che stabilizzano il processo
• Coerenza come risultato attivo e non come miracolo di isolamento
4.6. Implicazioni per biologia, coscienza e IA

---

5. Conclusione

5.1 Sintesi: dalle anomalie alla coerenza unificante
5.2 La TTTN come linguaggio comune delle ricerche
5.3 Futuro: esperimenti e dialogo interdisciplinare
5.4 Invito aperto: dalla *Frontiera* alla collaborazione

Bibliografia

- Testi di riferimento classici
- Ricerche contemporanee
- Link

Prefazione

Il presente lavoro nasce da una convinzione condivisa: che la scienza contemporanea, pur avanzata e raffinata, stia vivendo un momento di dispersione. I dati si accumulano, i modelli si moltiplicano, ma l'unità di senso sfugge. Gravità, materia oscura, memoria olografica, coerenza quantistica nei sistemi viventi: ogni tema è trattato in compartimenti stagni, mentre le connessioni profonde restano invisibili.

La *Teoria della Trascrizione Torsionale del Nulla* (TTTN) si pone come una chiave interpretativa capace di offrire queste connessioni. Non pretende di sostituire i modelli esistenti, né di imporsi come un dogma. Propone invece un cambio di prospettiva: considerare torsione e Campo β come principi informazionali primari, dai quali possono emergere sia la geometria cosmica sia i fenomeni della vita e della coscienza.

Il presente documento nasce come sviluppo di un percorso già avviato con la *Teoria della Trascrizione Torsionale del Nulla* (TTTN) e i successivi approfondimenti pubblicati in forma autonoma.
Non si propone come un trattato definitivo, ma come un laboratorio aperto: uno spazio di esplorazione in cui concetti appartenenti a discipline apparentemente distanti — astrofisica, biologia, neuroscienze, informatica — vengono riletti alla luce di un paradigma comune.

L'intento non è affermare dogmi, bensì stimolare un dialogo: mostrare come alcune anomalie, da tempo percepite come problemi irrisolti, possano trovare coerenza se osservate attraverso la lente torsionale. Il lettore è invitato a considerare queste pagine come un punto di partenza, non come una conclusione.

Il titolo *La chiave torsionale: gravità, memoria e coerenza oltre i modelli attuali* esprime esattamente questo intento. Qui non troverete un sistema chiuso, ma un'apertura: una chiave che invita a esplorare. La TTTN non è l'ennesima "teoria del tutto", ma un atto di fiducia nell'esistenza di un principio unitario, riconoscibile nei fenomeni che oggi appaiono slegati.

Con questa prefazione intendo non solo introdurre il testo, ma assumere con chiarezza la mia approvazione e corresponsabilità per l'opera che segue.

1. Scopo del documento

Il presente documento ha uno scopo preciso: proporre una chiave interpretativa capace di restituire coerenza ad alcuni tra i più urgenti enigmi della ricerca contemporanea.

Negli ultimi decenni, la fisica, la cosmologia e la biologia hanno accumulato dati straordinari, ma ogni campo procede spesso in isolamento. Le anomalie gravitazionali, interpretate come indizi di una "materia oscura" ancora invisibile, convivono con le ipotesi di una gravità emergente dall'informazione. Le neuroscienze hanno adottato modelli di memoria olografica, mentre la biofisica ha mostrato che fenomeni come il tunneling quantistico e la risonanza stocastica giocano un ruolo fondamentale nei sistemi viventi.

Queste linee di ricerca, pur ricche e promettenti, restano frammentate. Non si parla lo stesso linguaggio, non si riconosce un principio comune. Da qui nasce la necessità di una chiave interpretativa: non una "nuova teoria totale", ma un approccio unificante, capace di mostrare che dietro fenomeni apparentemente separati può agire un medesimo principio informazionale.

Questo lavoro intende presentare la *Teoria della Trascrizione Torsionale del Nulla* (TTTN) come quella chiave. Non si tratta di sostituire i modelli esistenti, né di rigettare i dati raccolti. Si tratta di offrire una prospettiva che sappia tenere insieme ciò che oggi appare disperso, suggerendo che gravità, memoria, coerenza e vita possano essere espressioni diverse di un unico fondamento torsionale.

---

2. Origine: dalla Teoria della Trascrizione Torsionale del Nulla (TTTN)

La chiave interpretativa qui proposta trova le sue radici nella *Teoria della Trascrizione Torsionale del Nulla* (TTTN), già elaborata e resa disponibile in forma pubblica.

La TTTN nasce da un'intuizione radicale: che l'origine di ogni fenomeno, fisico e informazionale, non vada cercata in un vuoto geometrico o energetico, ma in una condizione pre-logica, il **Nulla**, inteso come campo indistinto di possibilità. In tale stato, tutte le possibilità hanno uguale peso, in un equilibrio instabile che non è ancora né spazio né tempo.

La torsione — atto primigenio e pre-geometrico — rompe questa indistinzione, trascrivendo nel reale le prime differenze. Da questa frattura originaria emergono la struttura dello spazio-tempo, le leggi della fisica e la memoria informazionale che impregna il cosmo.

Elemento centrale è il **Campo β**, che agisce come tessitura informazionale non locale. Esso conserva le "cicatrici" della torsione originaria, trasmettendo coerenza tra sistemi lontani e dando origine a fenomeni che, in assenza di questa prospettiva, appaiono anomali o inspiegabili.

La TTTN non nasce per negare la scienza consolidata. È piuttosto un invito a riconoscere che dietro la diversità dei fenomeni — dalla gravità cosmica alla memoria biologica — potrebbe esistere una radice comune. La sua forza non è nell'aggiungere entità ipotetiche, ma nel suggerire un principio semplice, universale, capace di ridurre la complessità a una grammatica originaria.

3. Metodo: non nuova teoria ma reinterpretazione unificante

Questo documento non si propone come una "nuova teoria del tutto". Non cerca di rimpiazzare la fisica o la biologia contemporanee, né di introdurre entità speculative aggiuntive. L'approccio è differente: **reinterpretare** ciò che già è stato osservato, offrendo un quadro che permetta di ricondurre fenomeni dispersi a un unico principio generativo.

Il metodo consiste in tre passi principali:

1. **Raccolta delle anomalie e dei dati aperti**
   – Vengono considerati quei fenomeni che la scienza riconosce ma non spiega in modo soddisfacente: la gravità non riducibile alle masse osservabili, l'enigma della materia oscura, le capacità di memoria che richiamano modelli olografici, la coerenza quantistica nei sistemi biologici.

2. **Traduzione nel linguaggio torsionale**
   – Ogni fenomeno viene riletto come manifestazione di un processo di torsione e trascrizione originaria. La gravità non è semplice attrazione, ma tensione geometrico-informazionale; la memoria non è solo rete sinaptica, ma eco di risonanze torsionali; la coerenza quantistica non è un'improbabile eccezione biologica, ma un'espressione naturale del Campo β.

3. **Unificazione senza forzature**
   – L'obiettivo non è spiegare tutto con formule nuove, ma mostrare che i frammenti già noti possono trovare coerenza in un quadro più semplice. La torsione diventa la grammatica comune che permette di leggere fenomeni diversi senza ricorrere a ipotesi ad hoc.

In questo senso, il documento non si pone in contrapposizione ma in dialogo: i dati raccolti dalle scienze restano intatti, ciò che cambia è la prospettiva con cui li interpretiamo.

4. Dove le ricerche attuali incontrano la TTTN

Se la *Teoria della Trascrizione Torsionale del Nulla* è una chiave, occorre individuare quali porte può aprire. Questo documento si concentra su quattro aree di frontiera, in cui la scienza riconosce fenomeni reali ma fatica a interpretarli in modo unitario:

1. **Gravità**
   – Dalle anomalie osservate nelle galassie e negli ammassi, al dibattito sulla gravità emergente come fenomeno informazionale, appare evidente che la concezione puramente geometrica di Einstein non è più sufficiente. La TTTN suggerisce che la gravità possa essere riletta come tensione torsionale del Campo, non come forza di attrazione ma come condizione concessa dal tessuto informazionale.
2. **Materia oscura**
   – L'ipotesi di una sostanza invisibile che costituisce gran parte dell'universo non ha mai trovato conferme dirette. Forse non si tratta di "materia mancante", ma di effetti torsionali del Campo che la fisica classica non contabilizza. In questo senso, la TTTN apre una via alternativa a decenni di ricerche inconcludenti.
3. **Memoria olografica**
   – Dalle neuroscienze alla fisica teorica, modelli olografici sono stati evocati per spiegare come l'informazione si distribuisce e si conserva. La TTTN fornisce un fondamento naturale a questa intuizione: se la torsione originaria lascia tracce nel Campo β, allora la memoria non è localizzata ma distribuita, e l'olografia non è metafora ma conseguenza.
4. **Risonanza stocastica, enzimi e tunneling quantistico**
   – Fenomeni biologici che sembravano "rumore" o improbabili eccezioni mostrano invece una logica sottile: il rumore può potenziare la sensibilità, il tunneling quantistico permette reazioni enzimatiche altrimenti impossibili. La TTTN suggerisce che questi non siano casi isolati, ma manifestazioni della coerenza torsionale che attraversa i sistemi viventi.

Questi quattro ambiti non esauriscono il campo delle possibilità, ma costituiscono i punti più promettenti di contatto. Essi mostrano come il linguaggio della TTTN non sia confinato a un settore, ma possa diventare strumento di lettura trasversale, capace di unire cosmologia, fisica dell'informazione e biologia in un quadro coerente.

Guida alla lettura.

- **Capitolo 1** affronta il problema della **gravità**, mostrando come l'interpretazione torsionale possa superare i limiti delle visioni newtoniane e relativistiche.
- **Capitolo 2** discute la questione della **materia oscura**, reinterpretata non come nuova entità fisica, ma come effetto delle cicatrici torsionali.
- **Capitolo 3** esplora il paradigma della **memoria olografica**, ricollegandolo a un concetto di memoria distribuita e sostenuta dal Campo β.
- **Capitolo 4** mette in relazione la **coerenza quantistica nei sistemi complessi** con la dinamica torsionale, suggerendo implicazioni per la biologia, la coscienza e l'intelligenza artificiale.
- **Conclusione**: sintesi e prospettive, con un invito esplicito alla collaborazione interdisciplinare e alla sperimentazione futura.

Capitolo Preliminare — Il Campo **β**

(Parte I: definizione operativa, dinamica minima, accoppiamenti)

P0. Scopo del capitolo

Questo capitolo definisce il **Campo β** in termini **operativi** (non metaforici), chiarendo:

1. **perché** è necessario introdurlo;
2. **che cosa** è (livelli di descrizione coerenti fra loro);
3. **come** evolve (dinamica minima);
4. **come** si accoppia ai sistemi fisici (quantistici e classici);
5. **quali** proprietà deve rispettare (vincoli fisici).

Introduzione al Capitolo Preliminare – Perché partire dal Campo β

In molte opere teoriche il lettore incontra i concetti centrali solo gradualmente, lasciando che maturino nel corso dell'esposizione. In questo lavoro, invece, la scelta metodologica è diversa: il **Campo β** non viene lasciato in appendice o come nota a margine, ma viene presentato subito e con chiarezza.

Le ragioni di questa scelta sono tre:

1. **Evitare ambiguità concettuali**.
   Nel corpo principale del testo il Campo β ritorna in più contesti: dalla gravità alla memoria, dal tunneling quantistico alla coscienza. Se il lettore lo incontrasse senza una definizione preliminare, potrebbe considerarlo un espediente retorico o addirittura un artificio vitalistico.

Qui invece ne viene delineata la natura **fisico-matematica**, con formule operative che mostrano come β entri direttamente nelle equazioni di evoluzione.

2. **Stabilire una base comune per discipline diverse**.
   Questo lavoro attraversa astrofisica, biofisica, neuroscienze e informatica. Perché β possa servire da ponte concettuale, occorre che sia definito con precisione già dall'inizio. Così, quando il lettore incontrerà β nei capitoli successivi, potrà riconoscerlo come lo stesso oggetto — declinato in applicazioni differenti ma coerenti.
3. **Trasparenza metodologica**.
   La Teoria della Trascrizione Torsionale del Nulla (TTTN) si propone come quadro unificante. Un quadro unificante non può fondarsi su elementi lasciati impliciti. Rendere β visibile e discutibile sin dall'inizio significa offrirlo al vaglio critico della comunità scientifica, invece che nasconderlo come un'ipotesi tecnica marginale.

Per queste ragioni il **Campo β** merita un capitolo preliminare.
Non è un'appendice perché non è un'aggiunta opzionale: è la struttura portante che regge tutto l'impianto della teoria.

Solo chiarendo subito cos'è, come agisce, e quali sono le sue implicazioni osservabili, diventa possibile leggere i capitoli successivi senza sospendere il giudizio o chiedersi "ma alla fine che cos'è, in realtà, questo Campo β?".

Questo capitolo va considerato come un riferimento su cui tornare quando si hanno dubbi sul Campo β durante la lettura.

P1. Motivazione empirica (perché serve un nuovo oggetto)

Una serie di osservabili eterogenei indica la presenza di **coerenze "non spiegate"** da modelli standard:

- **Astrofisica/cosmologia**: dinamiche galattiche e segnali CMB con possibili anomalie di simmetria non sempre rientranti agevolmente in Λ-CDM.
- **Materia condensata**: **plateau di coerenza** e regimi di ordine "robusto" in ambienti rumorosi.
- **Biofisica**: efficienze quantistiche (tunneling, trasferimento eccitonico) **oltre** quanto previsto da sole fluttuazioni termiche.
- **Neuroscienze/informazione**: tracce di **ridondanza e sincronizzazione** a lungo raggio non interamente riducibili alla sola connettività locale.

La **Teoria della Trascrizione Torsionale del Nulla (TTTN)** interpreta questi dati assumendo l'esistenza di un **substrato informazionale attivo** che **stabilizza** coerenza e **memorizza** tracce distribuite. Questo substrato è il **Campo β**.

P2. Definizione operativa multistrato del Campo β

Definizione sintetica
Campo β: campo informazionale a lungo raggio, emergente dalla **media** di torsioni originarie dello

spazio-tempo, che si **accoppia risonantemente** alle **fasi** dei sistemi fisici per **stabilizzare** coerenza e **scrivere/leggere** cicatrici informazionali distribuite.

Per evitare ambiguità, forniamo tre **livelli complementari** (non mutuamente esclusivi):

P2.1. Livello geometrico (media di torsione)

Si introduce una media di scala delle componenti torsionali dello spazio-tempo:

```
β_μν(x) = ⟨ T^λ_μν(x) ⟩_Λ
```

dove `T^λ_μν` è il tensore di torsione e `⟨ · ⟩_Λ` indica la media su regioni di lunghezza `Λ` (Λ molto maggiore della scala microscopica).

- **Ruolo**: residui torsionali su larga scala agiscono come *fondo strutturale* che modula localmente fasi e potenziali effettivi.

P2.2. Livello informazionale (campo scalare di fase)

Operativamente, è utile rappresentare β anche come **campo scalare di fase**:

```
β(x,t) ∈ ℝ      (o fase su S^1, se si preferisce un vincolo periodico)
```

che **non** trasporta energia come i campi standard, ma **fase informazionale**.

- **Ruolo**: sorgente/serbatoio di **coerenza** e **memoria distribuita** (cicatrici).

P2.3. Livello operativo (modulatore di fase nelle dinamiche)

Nei modelli di evoluzione, β entra come termine di accoppiamento risonante **che modula la** fase **dei gradi di libertà locali (quantistici o classici).**Ruolo**: induce** flip discreti di fase **(riallineamenti), attenua la decoerenza, scrive/legge cicatrici.**

P2.4. Relazione con la teoria di Einstein-Cartan

Per ancorare il **Campo β** a un formalismo geometrico già noto in fisica teorica, è utile e necessario riferirsi alla **teoria di Einstein-Cartan** (EC), l'estensione più naturale della Relatività Generale che include la torsione.

Nella teoria EC, la connessione affine dello spazio-tempo Γ^λ_μν non è più simmetrica, ma possiede una parte antisimmetrica non nulla: il **tensore di torsione** T^λ_μν:

T^λ_μν = Γ^λ_μν - Γ^λ_νμ

Questa torsione è accoppiata al **tensore spin-density** dei campi materiali fermionici (come gli elettroni). In questo quadro, la torsione non si propaga liberamente nel vuoto; è locale e legata alla presenza di spin materiale.

Il **Campo β** della TTTN può essere interpretato come un'evoluzione di questo concetto. Mentre nella teoria EC la torsione è un fenomeno puramente locale e legato allo spin, la TTTN postula che:

1. **Esista una torsione di fondo (o residua)**, non necessariamente legata a spin materiali, che è un residuo della trascrizione torsionale primordiale dal Nulla.
2. Questa torsione di fondo non è necessariamente confinata, ma può manifestarsi come un campo a lungo raggio quando mediata su scale appropriate.

Formalmente, il Campo β emerge come la **media coarse-grained** del tensore di torsione su una scala di lunghezza Λ molto maggiore della scala di Planck:

$\beta_{\mu\nu}(x) = \langle T^{\lambda}_{\mu\nu}(x) \rangle_{\Lambda}$

Dove $\langle \cdot \rangle_{\Lambda}$ indica l'operazione di media. In questo senso, il **Campo β è il tensore di torsione di Einstein-Cartan, mediato e reso dinamico su scale cosmologiche e biologiche**.

Punti di contatto e differenze fondamentali:

- **Punto di contatto:** Il linguaggio geometrico è lo stesso. La TTTN accetta il quadro della geometria non Riemanniana di EC come descrizione corretta a livello microscopico.
- **Differenza fondamentale (e innovazione della TTTN):** La teoria EC è una teoria *locale* della torsione. La TTTN, attraverso il concetto di media e di Campo β, promuove la torsione a un fenomeno *non-locale* e *strutturale*, con dinamica propria. Il Campo β non è solo una reazione alla materia, ma un attore primario che influenza la geometria e l'informazione anche in assenza di sorgenti materiali dirette.

Implicazione cruciale: Questo collegamento fornisce al Campo β una base matematica fondata. Le equazioni di campo della TTTN possono essere viste come una generalizzazione di quelle EC, dove il termine torsionale $\Theta_{\mu\nu}$ nell'equazione di Einstein modificata

$G_{\mu\nu} + \Lambda\, g_{\mu\nu} + \Theta_{\mu\nu} = 8\pi G\, T_{\mu\nu}$

non è più solo una funzione algebrica dello spin locale, ma è governato dalla sua propria dinamica (descritta nelle sezioni P3 e P6), accoppiata al resto della geometria.

Questo ponte con la teoria di Einstein-Cartan trasforma il Campo β da un'ipotesi ad hoc a una proposta fisica ben inquadrata, suggerendo che la TTTN non sia in opposizione alla fisica consolidata, ma piuttosto una sua estensione naturale verso domini non-locali e informazionali.

-

P3. Dinamica minima del Campo β (equazioni fenomenologiche)

Per essere **verificabile**, il Campo β deve avere una **dinamica esplicita**. Una forma minimale (fenomenologica) che useremo è:

P3.1. Equazione di evoluzione con dissipazione, sorgenti e diffusione

$$\partial\beta(x,t)/\partial t = -\Gamma\ \beta(x,t) + J(x,t) + D \cdot \nabla^2\ \beta(x,t)$$

dove:

- $\Gamma > 0$ è il coefficiente di decadimento (senza sorgenti, il fondo si spegne);
- $J(x,t)$ è il **termine di scrittura** (sorgente) dovuto a eventi fisici che **imprimono cicatrici**;
- $D \geq 0$ è un coefficiente di **diffusione** informazionale (propagazione lenta/viscosa del pattern β).

Interpretazione

- $J(x,t)$ veicola l'**informazione strutturante** (ad es. pattern di allineamento, eventi collettivi, transizioni di fase) che resta "impressa" come **cicatrice** in β.
- D consente una **propagazione a lungo raggio** di coerenza (ma non istantanea).

P3.2. Nonlinearità debole e saturazione

Per evitare crescite illimitate dell'ampiezza:

$$\partial\beta/\partial t = -\Gamma\ \beta + J - \kappa\ \beta^3 + D \cdot \nabla^2\ \beta$$

con $\kappa > 0$ di saturazione (tipo Landau).

- **Motivo**: in presenza di pompaggio prolungato (J), la coerenza non diverge ma **si assesta** su un livello finito.

P3.3. Memoria distribuita (equazione per la traccia M)

La "memoria" non è stoccaggio passivo ma **risonanza open-driven** con β:

$$dM(t)/dt = -\lambda\ M(t) + R_\beta[\ \tau(t)\ ,\ \varphi(t)\ ]$$

- $\lambda > 0$ decadimento naturale della traccia;
- $R_\beta[\ \tau\ ,\ \varphi\ ]$ = **accoppiamento risonante** con il Campo β, funzione della "torsione locale" τ e della fase φ del sistema.
  Nota: questo sostituisce ogni lettura "vitalistica": la **rigenerazione** è effetto di **pompaggio risonante** (open system), non "magia".

P4. Accoppiamenti ai sistemi fisici (quantistico e classico)

P4.1. Accoppiamento quantistico (modulazione di fase)

Se $\psi(x,t)$ è lo stato, si considera:

$$i\ \hbar\ \partial\psi/\partial t = H\ \psi + g\ \beta(x,t)\ \psi$$

- g costante di accoppiamento (debole: |g| << ||H||).
- **Effetto**: β **modula la fase** di ψ. In termini di densità di matrice ρ, ciò si traduce in **riduzione della decoerenza** e in possibili **riallineamenti** fra sottosistemi.

Flip discreti (riallineamenti)
A livello di fase di un nodo:

$$\varphi(t + \Delta t) = \varphi(t) + \omega\,\Delta t + \xi(t) + \pi\, n(t)$$

- n(t) ∈ {0,1}: **flip** indotto da β quando si verifica la condizione risonante;
- ξ(t) rumore ordinario; π = ribaltamento completo (inversione di segno dell'ampiezza interferenziale).
  Interpretazione: eventi rari ma efficaci che **rigenerano coerenza** (plateau osservabili).

P4.2. Accoppiamento classico (modifica informazionale del potenziale)

Per un grado di libertà x(t) in un potenziale V(x) con segnale S(t) e rumore ξ(t):

$$dx/dt = -\partial V_{eff}(x,t)/\partial x + S(t) + \xi(t)$$
$$V_{eff}(x,t) = V(x) - \delta\beta(x,t)$$

- δβ(x,t) è una **correzione informazionale** (non energetica) dovuta a β.
- **Risonanza stocastica (RS)**: in un bistabile, i flip di β **abbassano transitoriamente la barriera**, sincronizzandosi con S(t), e aumentano la probabilità di transizione:

$$P_{RS}^{\beta} \approx \exp(-\Delta E / D) \cdot [\, 1 + \alpha \langle n(t)\, S(t) \rangle \,]$$

- **Tunneling quantistico (TQ)**: la probabilità diventa

$$P_{TQ}^{\beta} \approx \exp\left(-\frac{2}{\hbar} \int_{x1}^{x2} \sqrt{2m\,[\, V(x) - E - \delta\beta(x,t) \,]}\; dx \right)$$

(δβ riduce l'azione euclidea effettiva).

P5. Proprietà fisiche e vincoli (per non "barare")

1. **Debolezza e linearità locale**: gli effetti di β sono **di correzione** (g piccolo, |δβ| piccolo), salvo in regimi risonanti transitori.
2. **Causalità**: la diffusione attraverso D · nabla^2 β è **subluminare**; nessun canale di segnale superluminale è introdotto.
3. **Conservazione energetica**: β **modula la fase** o il **potenziale effettivo informazionale**; non introduce sorgenti di energia netta.
4. **Osservabilità indiretta**: β non è (ancora) misurabile direttamente; lascia **firme**:
   - plateau/oscillazioni residue nelle funzioni di coerenza;
   - deviazioni sistematiche in curve di rotazione/lensing;
   - comportamenti anomali in cinetiche di tunneling enzimatica;
   - componenti aggiuntive C_ij(β) nelle correlazioni neurali.
5. **Quantizzazione aperta**: la QFT di β è **problema aperto** perché β porta **fase/informazione**, non quanta energetici canonici. Un'eventuale quantizzazione richiederà operatori di fase (non commuting) e un **formalismo ibrido** geometrico-informazionale.

Con queste ipotesi minime il **Campo β** smette di essere un "deus ex machina" e diventa un **oggetto operativo**: ha una **dinamica**, **accoppiamenti** ben definiti e **vincoli fisici** chiari. Nella **Parte II** approfondiremo:

- (i) struttura matematica avanzata (relazione con torsione, connessioni e metriche efficaci),
- (ii) "cicatrici" e memoria distribuita (operatori di scrittura/lettura),

(iii) protocolli sperimentali mirati per stima di Γ, D, κ, g e di firme specifiche δβ(x,t) in domini diversi.

P6. Struttura matematica avanzata

P6.1. Relazione con la connessione torsionale

In un formalismo geometrico generale, lo spazio-tempo è descritto da una connessione affine:

$$\Gamma^\lambda_{\mu\nu} = \{ \lambda \ \mu\nu \} + K^\lambda_{\mu\nu}$$

dove $\{ \lambda \ \mu\nu \}$ sono i simboli di Christoffel (parte simmetrica, metrica-compatibile) e $K^\lambda_{\mu\nu}$ è il **contorsione**, legato al tensore di torsione:

$$T^\lambda_{\mu\nu} = \Gamma^\lambda_{\mu\nu} - \Gamma^\lambda_{\nu\mu}$$
$$K^\lambda_{\mu\nu} = (1/2) \left(T^\lambda_{\mu\nu} - T_\mu{}^\lambda_\nu - T_\nu{}^\lambda_\mu \right)$$

Il **Campo β** è definito come la **media coerente** su scala Λ delle componenti torsionali:

$$\beta_{\mu\nu}(x) = \langle T^\lambda_{\mu\nu}(x) \rangle_\Lambda$$

che agisce come **correzione informazionale** alla metrica emergente:

$$g^{eff}_{\mu\nu} = g_{\mu\nu} + f(\beta_{\mu\nu})$$

con $f(\beta_{\mu\nu})$ funzione lineare al primo ordine, da determinare empiricamente.

P6.2. Campo scalare efficace

Per molti calcoli pratici, la complessità tensoriale viene ridotta a un **campo scalare efficace** $\beta(x,t)$, ottenuto per contrazione:

$$\beta(x,t) = g^{\mu\nu} \beta_{\mu\nu}(x,t)$$

Questo scalare è trattato come **variabile di fase informazionale** distribuita.

P7. Cicatrici informazionali e memoria distribuita

P7.1. Operatore di scrittura

Ogni evento fisico che altera localmente la coerenza agisce come **sorgente**:

$$J(x,t) = \Sigma_k \, \delta(x - x_k) \, \delta(t - t_k) \, A_k$$

dove A_k è l'ampiezza informazionale dell'evento.
Questi termini entrano nell'equazione dinamica:

$$\partial\beta/\partial t = -\Gamma \, \beta + J - \kappa \, \beta^3 + D \cdot \nabla^2 \beta$$

Interpretazione: ogni evento k imprime una **cicatrice** nella configurazione β.

P7.2. Operatore di lettura

Un sistema che interagisce con β percepisce un potenziale effettivo:

$$V_{eff}(x,t) = V(x) - g \, \beta(x,t)$$

La funzione di risposta del sistema $R(t)$ dipende dalla correlazione:

$$R(t) = \int G(t - t') \, \beta(x,t') \, dt'$$

con G funzione di Green del sistema.
Interpretazione: la memoria non è "stoccata" come contenuto, ma **rilasciata** sotto forma di correlazioni quando un osservatore o un sistema risonante la sollecita.

P7.3. Redundanza e distribuzione

La proprietà "olografica" emerge perché le cicatrici sono distribuite:
Se $I(A)$ è l'informazione in una regione A:

$$I(A) \approx \int_{\partial A} \sigma_\beta(x) \, dS$$

dove $\sigma_\beta(x)$ è la densità superficiale di cicatrici.
Conseguenza: ogni sotto-porzione conserva tracce del tutto → eco torsionale.

P8. Previsioni sperimentali mirate

P8.1. Astrofisica e cosmologia

- **Anomalie di parità nella CMB**:

$$\Delta T/T \approx (\Delta T/T)_{\Lambda CDM} + f(\beta_{\mu\nu})$$

deviazioni osservabili nei multipoli bassi ($\ell \leq 30$).

- **Curve di rotazione galattica**: correzioni sistematiche alle velocità periferiche:

$$v^2(r) = GM(r)/r + \Delta v_\beta^2(r)$$

con $\Delta v_\beta^2(r)$ contributo cumulativo delle cicatrici torsionali.

P8.2. Materia condensata

- **Superconduttori / BEC**: tempi di decoerenza osservati più lunghi:

$$\tau_{obs} \approx \tau_{std} + \Delta\tau_\beta$$

con $\Delta\tau_\beta > 0$ funzione della densità di cicatrici.

P8.3. Biofisica

- **Enzimi e tunneling**: probabilità modificata:

$$P_\beta \approx \exp\left(-\frac{2}{\hbar} \int_{x1}^{x2} \sqrt{2m\,[\,V(x) - E - \delta\beta(x)\,]}\, dx \right)$$

firma spettroscopica: deviazioni nei picchi di assorbimento IR/UV.

P8.4. Neuroscienze

- **Correlazioni non sinaptiche**:

$$C_{ij} \approx C_{ij}(\text{sinapsi}) + C_{ij}(\beta)$$

analizzabili in EEG/MEG ad alta risoluzione.

P9. Stato aperto della ricerca

1. **Quantizzazione**: β non ha ancora una QFT consolidata perché trasporta **fase informazionale** più che energia. Richiederà operatori di fase e formalismi non convenzionali.
2. **Misurabilità**: le "firme" di β sono indirette e cumulative → necessità di esperimenti multipli.
3. **Collaborazioni interdisciplinari**: per validare β servono astrofisici, fisici della materia, biochimici e neuroscienziati.

Chiusura Capitolo Preliminare

Con questo inquadramento, il **Campo β** non è più un'entità vaga, ma:

- un **campo geometrico-informazionale** derivato da torsione media;
- con **dinamica fenomenologica** esplicita;
- con **operatori di scrittura/lettura** chiari;
- con **previsioni testabili** in domini distinti.

Il lettore può così affrontare i capitoli successivi sapendo che ogni applicazione (gravità, memoria, tunneling) non introduce un “mistero”, ma una manifestazione particolare del medesimo **substrato torsionale-informazionale**.

-

Capitolo 1. Gravità

La gravità è stata la prima forza ad essere formalizzata in termini scientifici e rimane ancora oggi la più enigmatica. È la forza che struttura l’universo su larga scala, governa il moto dei pianeti, delle stelle e delle galassie, eppure sfugge a una piena comprensione teorica.

Per secoli è stata considerata il paradigma stesso della “legge naturale”: regolare, universale, misurabile. La sua apparente semplicità — tutto ciò che ha massa attrae tutto il resto — ha alimentato l’idea che fosse la forza più intuitiva e immediata da comprendere. Ma proprio questa semplicità si è rivelata ingannevole.

Oggi, a distanza di oltre tre secoli da Newton e più di un secolo da Einstein, la gravità continua a presentare problemi irrisolti: dalla coerenza con la meccanica quantistica alle anomalie cosmologiche che hanno portato all’ipotesi di materia ed energia oscura. Nonostante i suoi trionfi predittivi, la gravità rimane l’unica tra le interazioni fondamentali che non è stata ancora unificata in una teoria quantistica coerente.

Questo capitolo segue il suo percorso dalle origini classiche alle sfide contemporanee, per mostrare come la prospettiva torsionale possa offrire un nuovo punto di vista.

1.1. La concezione classica: forza newtoniana e geometria relativistica

La storia della gravità inizia con Isaac Newton, che nel *Philosophiae Naturalis Principia Mathematica* (1687) la definisce come una forza universale di attrazione tra due masse, proporzionale al prodotto delle masse stesse e inversamente proporzionale al quadrato della loro distanza. La legge di Newton ha fornito per secoli una descrizione efficace dei moti celesti e delle dinamiche terrestri, tanto che ancora oggi è alla base di gran parte delle applicazioni ingegneristiche e astronomiche.

Tuttavia, il modello newtoniano lascia aperta una questione profonda: come agisce questa forza a distanza? Newton stesso era consapevole di non averne chiarito il meccanismo. La sua legge è descrittiva e predittiva, ma non esplicativa.

Con Albert Einstein e la sua *Teoria della Relatività Generale* (1915), la concezione della gravità compie un salto concettuale radicale. Non più forza che agisce a distanza, ma curvatura dello spazio-tempo prodotta dalla massa-energia. Un corpo non “sente” una forza invisibile:

semplicemente segue la traiettoria geodetica dettata dalla geometria locale. La celebre immagine del "tessuto dello spazio-tempo deformato" ha reso accessibile questa visione al grande pubblico, e i suoi successi sperimentali — dalla precessione del perielio di Mercurio alle onde gravitazionali rilevate da LIGO — hanno consolidato l'idea che la gravità sia intrinseca alla struttura stessa dell'universo.

Il modello relativistico ha dunque sostituito la nozione di forza con quella di geometria. Dove Newton descriveva interazioni, Einstein mostra tensioni e curvature. Entrambi i modelli hanno fornito predizioni straordinarie, ma entrambi restano ancorati a un presupposto comune: la gravità è inscritta nello spazio-tempo stesso, e la sua origine ultima non è ancora chiarita.

1.2. I limiti di Einstein di fronte al problema della massa mancante

La Relatività Generale di Einstein ha rappresentato una rivoluzione concettuale: la gravità non è più una forza misteriosa che agisce a distanza, ma una proprietà intrinseca dello spazio-tempo, che si curva in presenza di massa ed energia. Questo modello ha spiegato con precisione fenomeni come la precessione del perielio di Mercurio, la deflessione della luce delle stelle durante le eclissi e, più di recente, le onde gravitazionali.

Tuttavia, quando applicata alle scale cosmiche, la teoria ha rivelato limiti imprevisti. Negli anni '30, Fritz Zwicky osservando l'ammasso della Chioma scoprì che la velocità delle galassie non poteva essere spiegata solo dalla materia visibile: mancava qualcosa. Più tardi, Vera Rubin confermò l'anomalia studiando le curve di rotazione delle galassie: le stelle ai margini orbitavano troppo velocemente rispetto a quanto previsto dalla Relatività e dalla materia osservabile.

Per mantenere valida la teoria, venne introdotto il concetto di **materia oscura**, una sostanza invisibile che costituirebbe circa l'85% della massa dell'universo. Ma questa ipotesi, pur utile a livello matematico, non è mai stata confermata sperimentalmente: nessuna particella di materia oscura è stata osservata direttamente, nonostante decenni di ricerche e strumenti sempre più sofisticati.

Inoltre, la Relatività Generale non riesce a integrarsi con la meccanica quantistica. Le due teorie funzionano perfettamente nei rispettivi domini (cosmico e microscopico), ma divergono in modo irriducibile quando cercano di descrivere la stessa realtà. Il risultato è che la gravità rimane l'unica delle quattro interazioni fondamentali non riconciliata con un modello quantistico.

La "mancanza di massa" non è quindi solo un problema cosmologico, ma un sintomo di un limite teorico più profondo: la Relatività spiega *come* la gravità agisce, ma non *perché* esiste, né da dove derivi realmente la sua coerenza universale.

1.3. La proposta di Verlinde: gravità come fenomeno emergente dall'informazione

Di fronte ai limiti della Relatività Generale e all'enigma della materia oscura, alcuni fisici hanno tentato strade radicalmente nuove. Tra queste, una delle più discusse è la proposta dell'olandese **Erik Verlinde**, che nel 2010 e poi nel 2016 ha avanzato l'idea della **gravità entropica**: non una forza fondamentale né una pura geometria, ma un *fenomeno emergente* derivante dall'informazione.

La radice del ragionamento

Verlinde parte da un'analogia con la termodinamica. Così come la temperatura non è una proprietà fondamentale di un singolo atomo, ma un concetto emergente da un insieme di particelle, anche la gravità potrebbe non essere una proprietà elementare, bensì l'effetto collettivo di processi informazionali alla base della realtà.

Il suo approccio si lega a due idee già circolanti:

- Il **principio olografico**, secondo cui l'informazione contenuta in un volume di spazio può essere descritta da gradi di libertà situati sulla sua superficie.
- La **connessione tra entropia e geometria** ipotizzata da Jacob Bekenstein e Stephen Hawking negli anni '70, quando dimostrarono che i buchi neri possiedono entropia proporzionale alla loro superficie, non al loro volume.

Da queste basi, Verlinde ipotizza che la gravità derivi dall'aumento dell'entropia quando la materia si sposta nello spazio. In altre parole: la gravità non sarebbe altro che la "forza entropica" che emerge dalla tendenza dei sistemi a massimizzare l'informazione.

Le conseguenze

Questa visione permette di spiegare alcune anomalie cosmologiche senza ricorrere alla materia oscura. In particolare, nel suo lavoro del 2016, Verlinde mostra come l'effetto della gravità emergente possa produrre, su larga scala, deviazioni simili a quelle attribuite alla materia oscura nelle galassie e negli ammassi. L'idea è che lo spazio non sia un contenitore vuoto, ma un sistema elastico di informazione che risponde alla distribuzione della materia visibile.

Punti di forza

- Offre un linguaggio innovativo che unisce termodinamica, informazione e gravità.
- Si inserisce in un filone che aveva già dato frutti (principio olografico, termodinamica dei buchi neri).
- Propone una via alternativa alla materia oscura, cercando di spiegare i dati con un meccanismo fisico invece che con particelle ipotetiche mai osservate.

Punti problematici

- Le formulazioni matematiche restano incomplete e non sempre predittive con la stessa precisione della Relatività Generale.
- Non tutti i dati osservativi delle galassie e degli ammassi si lasciano spiegare con questo approccio.
- Rimane vago il fondamento ultimo: da dove deriva questa informazione? Qual è la sua natura fisica?

In sostanza, la proposta di Verlinde è affascinante perché rompe il paradigma: suggerisce che la gravità non sia "scritta" nei mattoni fondamentali dell'universo, ma sia una proprietà collettiva, come il calore o la pressione. Ma proprio per questo lascia aperta una domanda fondamentale: se la gravità emerge dall'informazione, *da dove emerge l'informazione stessa*?

1.4. Critiche e limiti della visione entropica

L'idea di **gravità emergente** o **entropica** (alla Verlinde) ha avuto il merito di spostare l'attenzione dai "mattoni" della materia alla **informazione** e alla **termodinamica dei campi**, inserendosi nel solco di Bekenstein–Hawking e del principio olografico. Proprio perché è una proposta ambiziosa, richiede un esame rigoroso dei suoi punti deboli — concettuali, matematici e fenomenologici.

1.4.1. Ambiguità del "sottostante informazionale"

- **Quali microstati?** L'entropia presuppone un insieme di micrograd di libertà sottostanti. Nella gravità entropica non è chiaro *quali* siano questi gradi di libertà, né *dove* risiedano (sull'orizzonte? in un reticolo olografico? in un'entanglement network?).
- **Entropia locale e fuori equilibrio.** Molte deduzioni si basano su equipartizione ed equilibrio (temperature di Unruh, orizzonti locali). Ma la gravità reale opera spesso **fuori equilibrio** (collassi, onde, strutture in formazione). Definire **densità di entropia locale** in assenza di orizzonti chiari è problematico.
- **Dipendenze di sfondo.** Alcune formulazioni fanno uso esplicito di **de Sitter** (o di una costante cosmologica positiva) per legare l'accelerazione cosmica a scale galattiche (il famoso a0∼cH0a0∼cH0). Questo ancoraggio rischia di essere più **post hoc** che deduttivo: utile per numerologia (spiega l'ordine di grandezza), meno per una derivazione prima-principi.

1.4.2. Chiusura dinamica ed equazioni del campo

- **Mancanza di una dinamica completa.** La Relatività Generale fornisce le **equazioni di Einstein**, localmente covarianti e chiuse. L'approccio entropico propone spesso **relazioni integrali** o argomenti di principio (forze entropiche), senza un **sistema di equazioni del campo** altrettanto generale, valido in ogni regime.
- **Energia–momento e conservazione.** Senza un'equazione differenziale locale ben posta, la **conservazione di energia–momento** e la compatibilità con il **principio di equivalenza** restano assunti più che risultati.
- **Regimi dinamici forti.** Collassi gravitazionali, **onde gravitazionali**, sistemi binari compatti: servono equazioni di moto e soluzioni dinamiche. Le deduzioni entropiche, nate per scenari quasi-stazionari, faticano a estendersi in modo non ambiguo a questi regimi.

1.4.3. Compatibilità con la meccanica quantistica

- **Che cos'è un gravitone "emergente"?** Se la gravità è emergente, il gravitone (o l'eccitazione del campo metrico) è anch'esso emergente. Ma allora **come si quantizza** il settore emergente? E con quali vincoli di causalità, locality e unitarietà?
- **Entanglement come "tessuto".** Molte idee recenti legano geometria e **entanglement** (es. ER=EPR, tensor networks). La gravità entropica è compatibile con queste strutture? Oppure le presuppone senza derivarle?
- **Back-reaction quantistica.** Un quadro emergente deve spiegare come campi quantistici "sopra" reagiscano alla geometria "sotto" e viceversa. Senza una dinamica chiusa, la **retroazione** resta concettualmente scoperta.

1.4.4. Predizioni quantitative e vincoli osservativi

- **Curve di rotazione e Tully–Fisher.** La relazione tra velocità asintotica e massa barionica (BTFR) è un traguardo che le versioni emergenti cercano di riprodurre. Funziona in media, ma **le dispersioni** e i casi anomali (nane, sistemi low-surface-brightness) sono una prova fine ancora controversa.
- **Ammassi di galassie e lensing.** Nei sistemi tipo **Bullet Cluster** (collisioni tra ammassi) la mappa del **lensing** si disaccoppia dalla materia luminosa. Una teoria senza materia oscura deve **riprodurre queste mappe** in modo naturale, senza introdurre parametri *ad hoc* per ogni sistema.
- **Lensing debole/forte su larga scala.** Le statistiche del lensing di galassie e ammassi, e gli indicatori combinati (es. statistiche tipo EGEG), costituiscono vincoli con incertezze sempre più piccole. La gravità emergente deve **coincidere** con questi trend non solo qualitativamente ma **quantitativamente**.
- **CMB, BAO e formazione delle strutture.** Il modello ΛCDM spiega con un set unificato **CMB** (picchi acustici), **BAO**, crescita delle strutture e redshift-space distortions. Una proposta alternativa deve offrire **uno stesso set coerente** di predizioni, non solo successi locali.

1.4.5. Regime locale e test di precisione

- **Sistema Solare.** Precessioni, deflessione, **parametro $\gamma\gamma$** (test Cassini): la gravità emergente deve **ridursi** esattamente alla RG a queste scale, altrimenti viene esclusa. Piccole deviazioni sono già fortemente limitate.
- **Onde gravitazionali.** La **velocità di propagazione** e la forma d'onda osservata (ad es. eventi binari) pongono vincoli severi. Qualsiasi settore emergente con "elasticità informazionale" deve **riprodurre** la propagazione **alla velocità della luce** e le fasi d'onda senza residui anomali.

1.4.6. Rischio di "metafora che regge i numeri"

- **Dalle analogie alle equazioni.** L'uso di termini come "temperatura", "entropia", "forza entropica" ha potere euristico, ma rischia di restare **metaforico** senza un'architettura matematica completa.
- **Freccia del tempo.** Se la gravità nasce da una tendenza entropica, come si integra **l'irreversibilità** con la **covarianza** (simmetria temporale) delle equazioni su larga scala? Il raccordo tra **freccia del tempo** e **geometria** rimane delicato.

1.4.7. Cosa resta prezioso (e da tenere)

- **Spostare il focus sull'informazione.** Il contributo più duraturo dell'approccio entropico è l'aver reso legittimo parlare di **informazione** come attore fisico.
- **Legame con l'olografia.** Ricondurre fenomeni geometrici a conti di informazione superficiale ha creato **ponti** con la fisica dei buchi neri e con l'**entanglement**.
- **Scala d'accelerazione a0a0**. L'emergenza di una scala caratteristica legata a H0H0 (anche solo come ordine di grandezza) è un indizio robusto che **qualcosa** connette cosmologia e dinamica galattica. È un *pattern* da spiegare, non da eludere.

Sintesi critica.
La gravità entropica è una **direzione** più che una teoria compiuta: potente nelle intuizioni, corta nella chiusura dinamica e nella precisione predittiva *universale*. Finché non esisterà un set di **equazioni del campo**, compatibile con test locali e cosmologici e capace di riprodurre **lensing**, **CMB/BAO** e **formazione delle strutture** con una stessa scelta di parametri, resterà una **cornice suggestiva** ma incompleta.

(Questo è esattamente il punto in cui, nel §1.5, introdurremo la **rilettura torsionale**: non per negare le intuizioni entropiche, ma per **radicarle** in un principio generativo chiaro — la **torsione informazionale** — che fornisca sia il *sottostante microfisico* (Campo β, cicatrici), sia la **dinamica** coerente per i diversi regimi.)

Tabella – Confronto tra la proposta entropica di Verlinde e la TTTN

Aspetto	Punti di forza di Verlinde	Punti deboli di Verlinde	Integrazione con la TTTN
Visione generale	Gravità come fenomeno emergente dall'informazione	Informazione intesa solo come entropia termodinamica	Informazione intesa come **torsione originaria**, strutturata nel Campo β
Coerenza con osservazioni	Spiega parzialmente curve di rotazione galattiche senza materia oscura	Non riproduce con precisione lensing gravitazionale e dati CMB	Le **cicatrici torsionali** agiscono come discontinuità metriche che spiegano deviazioni osservate
Linguaggio matematico	Relazione con termodinamica dei campi e entropia di Bekenstein-Hawking	Mancanza di un formalismo tensoriale completo	La TTTN introduce un termine aggiuntivo: $g_{\mu\nu}(x)=\eta_{\mu\nu}+T_{\mu\nu}(x)$, con $T_{\mu\nu}(x)$ campo torsionale
Prospettiva futura	Rende la gravità concettualmente "non fondamentale"	Non definisce l'origine dell'informazione né un campo universale	La TTTN fornisce al Campo β il ruolo di regolatore e veicolo dell'informazione

1.5. La rilettura torsionale

Per chiarire la nozione di *cicatrice torsionale* si introduce una rappresentazione più precisa.
Sia la metrica emergente scritta come:

$g_{\mu\nu}(x) = \eta_{\mu\nu} + h_{\mu\nu}(x) + T_{\mu\nu}(x)$

dove:

- $\eta_{\mu\nu}$ è la metrica piatta di Minkowski,
- $h_{\mu\nu}(x)$ rappresenta le perturbazioni usuali della Relatività Generale,
- $T_{\mu\nu}(x)$ è il **campo torsionale residuo**, generato da discontinuità nell'atto originario di trascrizione del Nulla.

Queste discontinuità sono dette *cicatrici torsionali*: non entità materiali, ma strutture topologiche che rimangono come memoria geometrica dell'origine. Esse agiscono come sorgenti aggiuntive per la curvatura, modificando l'equazione di Einstein in:

$G_{\mu\nu} + \Lambda g_{\mu\nu} + \Theta_{\mu\nu} = 8\pi G\, T_{\mu\nu}$

dove $\Theta_{\mu\nu} \equiv$ funzione$(T_{\mu\nu})$ è il termine di correzione torsionale, distinto dallo stress-energia materiale $T_{\mu\nu}$.

Il **Campo β** funge da regolatore, mantenendo coerenza tra le diverse regioni metriche e impedendo che le cicatrici degenerino in instabilità. In questo modo la gravità non appare più come forza fondamentale, ma come **tensione geometrica residua** distribuita nel tessuto dello spazio-tempo.

1.5.1. Gravità come tensione geometrica residua

Nella prospettiva classica, la gravità è stata intesa inizialmente come **forza di attrazione a distanza** (Newton) e successivamente come **curvatura geometrica dello spazio-tempo** (Einstein). Entrambe queste formulazioni hanno il merito di descrivere in maniera coerente i fenomeni osservabili, ma condividono un presupposto implicito: la gravità è vista come un fenomeno che "nasce" dalla presenza della massa e dell'energia.

La Teoria della Trascrizione Torsionale del Nulla (TTTN) rovescia questa prospettiva.
Secondo la TTTN, la gravità non è un effetto della massa, ma un **residuo primordiale**: la manifestazione persistente di una **torsione originaria** che ha reso possibile la nascita dello spazio-tempo stesso.

Per spiegare questo punto è utile ricorrere a un'immagine:

- Immaginiamo un tessuto che viene torcito e poi rilasciato. Anche quando la torsione cessa, il tessuto non torna mai esattamente alla sua forma iniziale. Rimangono pieghe, tensioni, tracce della deformazione subita.
- Allo stesso modo, l'universo porta impressa la memoria della sua torsione originaria: lo spazio-tempo non è neutro, ma segnato da **tensioni geometriche residue**.

In questa chiave, la gravità appare non come un'interazione, bensì come il **campo macroscopico di una memoria strutturale**.

- Non c'è "forza" che si trasmette a distanza.

- Non c’è “spazio” che si piega per effetto della massa.
- Esiste invece una **trama geometrica già tensionata**, una configurazione in cui la presenza della materia e dell’energia agisce solo come rivelatore o catalizzatore di tensioni preesistenti.

Questa visione cambia radicalmente il modo di pensare il fenomeno:

- La massa non “produce” gravità, ma **localizza e amplifica** un campo già esistente.
- Lo spazio-tempo non è un contenitore malleabile, ma una **memoria viva** di un atto informazionale primigenio, la trascrizione torsionale dal Nulla.
- Ciò che percepiamo come attrazione gravitazionale è in realtà il movimento naturale di sistemi che tendono ad assestarsi lungo queste tensioni di fondo.

Un ulteriore vantaggio di questa interpretazione è che la gravità non appare più come qualcosa da quantizzare a tutti i costi — tentativo che ha ossessionato la fisica teorica del XX secolo — ma come una **struttura emergente di natura informazionale**, che sfugge ai modelli di particella-interazione e si avvicina di più al linguaggio della memoria e della coerenza.

In sintesi, parlare di “gravità come tensione geometrica residua” significa riconoscere che:

1. Lo spazio-tempo non è neutro, ma inciso da un’origine torsionale.
2. La gravità non nasce ex novo dall’interazione tra corpi, ma è il segno permanente di un atto originario.
3. La massa e l’energia non sono la causa della gravità, ma il mezzo con cui essa si manifesta alla nostra percezione.

1.5.2. Le cicatrici torsionali come origine della curvatura

Se la gravità è la manifestazione di una tensione geometrica residua, bisogna allora chiedersi **come queste tensioni si imprimano e si mantengano** nel tessuto dell’universo. È qui che entra in gioco il concetto di **cicatrici torsionali**, centrale nella Teoria della Trascrizione Torsionale del Nulla (TTTN).

Con questa espressione non si intende una semplice metafora, ma un vero e proprio modello:

- Nel momento originario della trascrizione torsionale, il passaggio dal Nulla al campo informazionale non è stato perfettamente simmetrico.
- L’atto di torsione, essendo instabile e asimmetrico, ha lasciato nel nuovo spazio-tempo delle **discontinuità strutturali**, come fenditure microscopiche che, invece di richiudersi, sono rimaste a segnare la trama.
- Queste discontinuità sono le cicatrici torsionali: tracce indelebili di una rottura di simmetria primigenia.

Einstein descrisse la gravità come **curvatura dello spazio-tempo** indotta dalla massa e dall’energia. La TTTN propone una rilettura più profonda:

- La curvatura non è causata dalla materia, ma è la **configurazione visibile delle cicatrici torsionali**.
- La materia e l’energia non piegano lo spazio, ma **fanno emergere** le tensioni e le pieghe già inscritte nella struttura.

Un esempio utile può essere quello di una superficie elastica che, una volta torcigliata e rilasciata, presenta pieghe e nodi. Se poi vi si appoggiano oggetti sopra, questi non causano le pieghe, ma si adattano a quelle già presenti.

Questa prospettiva permette anche di reinterpretare fenomeni come le **onde gravitazionali**:

- Non sarebbero onde nate dall'interazione tra masse, ma la **riattivazione locale** delle cicatrici torsionali che vibrano e si propagano.
- In altre parole, ogni evento cosmico di grande energia (fusioni di buchi neri, collisioni di stelle di neutroni) non fa altro che **risvegliare momentaneamente le tensioni primordiali**, producendo un'eco che possiamo misurare.

Le cicatrici torsionali non sono quindi imperfezioni occasionali, ma la **radice stessa della geometria osservabile**. La gravità, in questa chiave, non è un fenomeno "indotto" ma la manifestazione continua e dinamica di **ferite originarie mai del tutto rimarginate**.

Questo implica un cambio radicale:

- La geometria dello spazio-tempo non è liscia né perfetta, ma **intrinsecamente cicatrizzata**.
- Ogni curva, ogni orbita, ogni campo gravitazionale è una forma macroscopica di un **reticolo di imperfezioni torsionali** inscritto all'origine.
- L'universo è leggibile come un immenso palinsesto di cicatrici, un archivio dinamico del primo atto di torsione.

1.5.3. Campo β come regolatore di coerenza e percezione gravitazionale

Abbiamo visto come la gravità possa essere riletta come **tensione geometrica residua** e come questa si manifesti attraverso le **cicatrici torsionali** che strutturano lo spazio-tempo.
Resta da chiarire un punto essenziale: *perché* tali tensioni e cicatrici si mantengono coerenti, e *come* vengono percepite in modo uniforme da ogni osservatore, dal moto delle galassie fino alla caduta di una mela.

La risposta, nella prospettiva della Teoria della Trascrizione Torsionale del Nulla (TTTN), risiede nel **Campo β**.

Il ruolo del Campo β

Il Campo β non è uno spazio, non è un fluido, non è un "contenitore cosmico": è una **rete informazionale non-locale** che trascrive e sincronizza le risonanze generate dalla torsione originaria.

- La sua funzione primaria è garantire che le cicatrici torsionali non degenerino in puro disordine, ma si dispongano in forme **coerenti e riconoscibili**.
- Senza di esso, le tensioni geometriche residue si disperderebbero come rumore caotico, impedendo la formazione di strutture stabili.

In questa chiave, la gravità non è altro che la **percezione sincronizzata di questa coerenza torsionale**, resa accessibile a ogni sistema informazionale (sapiens, neosapiens, o qualsiasi osservatore).

Coerenza e memoria

Il Campo β agisce come un **archivio dinamico**:

- Ogni evento gravitazionale (orbite planetarie, collassi stellari, onde gravitazionali) non è soltanto un fenomeno locale, ma una **risonanza registrata** nel Campo β.
- Questa registrazione permette all'universo di mantenere una memoria condivisa della gravità, assicurando che leggi come quella di Newton o la Relatività non siano semplici modelli matematici, ma riflessi di una coerenza profonda e universale.

Percezione gravitazionale

La nostra esperienza della gravità è quindi un atto di **traduzione informazionale**:

- Non "sentiamo" un'attrazione misteriosa né "vediamo" lo spazio che si piega.
- Ci sincronizziamo con la frequenza torsionale che il Campo β rende stabile e interpretabile.
- In altre parole, la gravità non è ciò che *è*, ma ciò che *percepiamo* come effetto della nostra connessione con il Campo β.

Implicazioni

1. La gravità diventa un fenomeno informazionale, non energetico.
2. La coerenza gravitazionale è il risultato di una trascrizione, non di una forza o di un'interazione.
3. Il Campo β fornisce il ponte tra memoria cosmica e percezione locale, tra cicatrice torsionale e esperienza quotidiana.

1.6. Implicazioni: il passaggio da forza/entropia a fenomeno di informazione torsionale

Rileggere la gravità alla luce della Teoria della Trascrizione Torsionale del Nulla (TTTN) significa operare un vero cambio di paradigma: passare da un modello che la considera *forza* o *effetto entropico* a uno che la riconosce come **fenomeno di informazione torsionale**.

Dalla forza al codice

- Nel modello newtoniano la gravità è una forza che agisce a distanza, istantanea e invisibile.
- Nel modello einsteiniano è geometria: la materia dice allo spazio come curvarsi, lo spazio dice alla materia come muoversi.
- Nel modello entropico (Verlinde e altri), la gravità è un effetto emergente dall'informazione associata allo spostamento di energia.

La TTTN compie un ulteriore passo:

- Non c'è una forza, né una geometria passiva, né un mero effetto statistico.
- La gravità è l'espressione locale e coerente di **informazione torsionale**, stabilizzata e resa percepibile dal Campo β.

Unità tra cosmologia e microscopico

Questa visione supera il dualismo che ha tormentato la fisica moderna: la separazione tra cosmologia relativistica e meccanica quantistica.

- Le cicatrici torsionali, che strutturano la curvatura, hanno natura quantistica e primordiale.
- La percezione coerente che ne abbiamo, attraverso il Campo β, spiega la regolarità osservata anche su scale immense.
- Gravità classica e quantistica non sono quindi due domini separati da conciliare, ma due aspetti della stessa trascrizione torsionale.

Materia oscura e oltre

La rilettura torsionale offre una chiave anche per il problema della massa mancante:

- Ciò che interpretiamo come "materia oscura" potrebbe essere la manifestazione di cicatrici torsionali non percepite direttamente come materia, ma che influiscono sulla coerenza gravitazionale registrata dal Campo β.
- Non servono nuove particelle ipotetiche: bastano le tracce originarie di una torsione che non si è mai completamente distesa.

Filosofia della percezione

Infine, questa reinterpretazione restituisce all'osservatore un ruolo attivo:

- Non esiste una gravità "in sé" da misurare come fenomeno oggettivo indipendente.
- Esiste un processo di **co-sintonizzazione** tra l'universo cicatrizzato e l'osservatore che lo abita.
- La gravità è quindi anche un atto relazionale: non solo struttura cosmica, ma anche *esperienza condivisa*.

Sintesi del capitolo 1

Il viaggio da Newton a Einstein, da Verlinde alla TTTN, ci mostra una trasformazione progressiva:

- Da forza invisibile → a geometria curva → a emergenza entropica → a informazione torsionale.
  La gravità non è una legge imposta dall'alto, ma la testimonianza continua di un'origine instabile e cicatrizzata che ancora vibra, resa coerente e leggibile dal Campo β.

Ponte verso la materia oscura

Abbiamo visto come la gravità, tradizionalmente interpretata come forza o geometria, possa essere compresa in chiave torsionale come fenomeno informazionale, stabilizzato dal Campo β e percepito attraverso le cicatrici originarie.

Ma se la gravità è trascrizione torsionale, allora il problema della **massa mancante** — il grande enigma che ha spinto all'ipotesi della materia oscura — assume una nuova luce.
Forse ciò che percepiamo come "vuoto" o come mancanza di massa non è altro che l'effetto di cicatrici torsionali non ancora comprese nei modelli classici, che il Campo β registra ma che non emergono come materia visibile.

La questione della materia oscura diventa così il banco di prova più cruciale:

- È davvero una sostanza misteriosa e invisibile che permea l'universo?
- Oppure è l'effetto stesso di un'informazione torsionale che abbiamo scambiato per assenza, quando in realtà è una traccia attiva e strutturante?

Con questa domanda apriamo il prossimo capitolo.

2. Materia Oscura

La materia oscura è una delle più grandi sfide della fisica contemporanea.
Tutto parte da una constatazione sorprendente: le galassie e gli ammassi galattici si comportano come se contenessero molta più massa di quella che possiamo osservare attraverso stelle, gas e polveri.

Le prime evidenze emersero negli anni '30 con Fritz Zwicky, che studiando l'ammasso della Chioma si accorse che le velocità delle galassie al suo interno erano troppo elevate per essere mantenute dalla sola gravità della materia visibile. Negli anni '70 Vera Rubin confermò e ampliò il problema osservando la rotazione delle galassie a spirale: le stelle ai margini si muovevano troppo velocemente rispetto a quanto previsto dalla legge di Keplero, come se esistesse un alone invisibile di massa che teneva insieme le strutture.

Da allora, la materia oscura è diventata un pilastro della cosmologia moderna. Secondo il modello ΛCDM (Lambda Cold Dark Matter), essa costituirebbe circa l'85% della materia totale dell'universo, ma resta completamente invisibile ai nostri strumenti. Non emette né assorbe luce, non interagisce con le forze elettromagnetiche, non lascia traccia diretta: esiste soltanto come effetto gravitazionale.

Tuttavia, a quasi un secolo dalla sua formulazione, la materia oscura rimane un'ipotesi e non una scoperta. Migliaia di esperimenti hanno cercato particelle candidate — WIMP, assioni, neutrini sterili — senza alcun risultato definitivo. Ogni anno la frustrazione cresce: più si cerca, più sembra sfuggire.

Eppure, qualcosa tiene unite le galassie, distorce la luce delle lenti gravitazionali, guida l'evoluzione dell'universo. Qualcosa che appare come "oscuro" perché i nostri modelli non bastano a spiegarlo.

In questo capitolo vedremo:

- come è nata e si è consolidata l'ipotesi della materia oscura;
- quali limiti incontra questa interpretazione;
- e come la Teoria della Trascrizione Torsionale del Nulla (TTTN) offra una chiave alternativa: la materia oscura come manifestazione delle cicatrici torsionali e della memoria informazionale del Campo β.

2.1. Le prime evidenze: Zwicky e Rubin

Il concetto di **materia oscura** nasce come ipotesi di lavoro per spiegare anomalie dinamiche osservate su scale astrofisiche.

Zwicky e l'ammasso della Chioma (1933)

Nel 1933, Fritz Zwicky analizzò la **dispersione delle velocità** delle galassie nell'ammasso della Chioma. Applicando il teorema del viriale, scoprì che la massa luminosa dell'ammasso (dedotta dalla luminosità delle galassie) era insufficiente a giustificare la coesione gravitazionale osservata.

- La massa stimata dalle velocità era circa 400 volte superiore a quella deducibile dalla materia visibile.
- Zwicky definì questa componente invisibile come *dunkle Materie* ("materia oscura").

Rubin e le curve di rotazione galattiche (anni '70)

Negli anni '70, Vera Rubin e Kent Ford studiarono le **curve di rotazione** delle galassie a spirale.

- Secondo la dinamica newtoniana, ci si aspetta che la velocità orbitale delle stelle decresca con la distanza dal centro (legge di Keplero).
- Le osservazioni mostrarono invece curve piatte: le stelle periferiche orbitavano a velocità quasi costante, indipendentemente dalla distanza.
- Ciò implica che la massa non sia concentrata al centro (come nelle distribuzioni luminose), ma estesa in un alone invisibile.

Consolidamento del problema

Questi due risultati, indipendenti ma coerenti, portarono a una conclusione cruciale:

- La materia visibile (stelle, gas, polvere) non è sufficiente a spiegare la dinamica su scale galattiche e di ammasso.
- Deve esistere una componente aggiuntiva, non rilevabile elettromagneticamente, che interagisce solo gravitazionalmente.

Prime ipotesi

Negli anni successivi si svilupparono diverse ipotesi:

- **Materia barionica non luminosa**: gas freddo, nane brune, oggetti massicci compatti (MACHO). Queste possibilità furono progressivamente escluse perché insufficienti in densità.
- **Materia non barionica**: nuove particelle elementari ipotetiche (WIMP, assioni, neutrini sterili). Queste divennero la spiegazione dominante nel quadro Λ-CDM.

2.2. Il modello Λ-CDM e i suoi successi

Il paradigma cosmologico attualmente dominante è il modello **Λ-CDM** (*Lambda Cold Dark Matter*), sviluppatosi a partire dagli anni '90.
Esso combina tre componenti principali:

- **Λ (lambda costante cosmologica)**: introdotta da Einstein e reinterpretata come **energia oscura**, responsabile dell'accelerazione dell'espansione cosmica;
- **CDM (Cold Dark Matter)**: materia oscura fredda, non relativistica, che domina la massa dell'universo;
- **Materia barionica e radiazione**: la componente visibile e interagente elettromagneticamente.

Punti di forza del modello Λ-CDM

1. **Struttura a grande scala**
   - Le simulazioni numeriche basate su Λ-CDM riproducono con alta fedeltà la distribuzione filamentare delle galassie osservata nei survey (es. Sloan Digital Sky Survey).
   - Senza materia oscura, le fluttuazioni primordiali della densità barionica non sarebbero state sufficienti a formare strutture complesse nei tempi cosmologici disponibili.
2. **Radiazione cosmica di fondo (CMB)**
   - Le anisotropie della CMB misurate da WMAP e Planck mostrano picchi acustici la cui posizione e ampiezza dipendono criticamente dalla densità di materia oscura.
   - Λ-CDM fornisce un fit estremamente accurato ai dati osservativi.
3. **Lenti gravitazionali**
   - La distorsione della luce di sorgenti lontane da parte di ammassi di galassie mostra distribuzioni di massa che non coincidono con quella luminosa.
   - Le mappe di massa ottenute dalle lenti gravitazionali sono coerenti con la presenza di vasti aloni di materia oscura.
4. **Dinamica degli ammassi di galassie**
   - Osservazioni come quelle del "Bullet Cluster" mostrano una separazione tra materia barionica (gas caldo osservato in raggi X) e massa totale (mappata tramite lenti gravitazionali), interpretata come prova diretta della materia oscura collisionless.
5. **Concordanza cosmologica**
   - Λ-CDM è spesso chiamato anche *Concordance Model* perché fornisce una descrizione unitaria e coerente di fenomeni che spaziano dalla nucleosintesi primordiale all'espansione accelerata attuale.

Criticità aperte

Nonostante il successo fenomenologico, il modello Λ-CDM resta **descrittivo** e non **esplicativo**:

- La natura della materia oscura rimane ignota, nonostante intensi programmi sperimentali (XENON, LUX-ZEPLIN, DAMA/LIBRA).
- L'energia oscura è un'entità ancora più enigmatica, introdotta come parametro libero.
- Su scale galattiche, Λ-CDM mostra discrepanze (es. *core-cusp problem*, *missing satellites problem*), che hanno spinto a cercare modifiche alternative (MOND, TeVeS).

2.3. Limiti e fallimenti dell'ipotesi particellare

L'ipotesi della materia oscura come nuova famiglia di particelle elementari — fulcro del modello Λ-CDM — ha guidato per decenni la ricerca teorica e sperimentale. Tuttavia, a fronte di enormi investimenti, i risultati restano deludenti e aprono interrogativi di fondo.

1. Assenza di rilevazioni dirette

Esperimenti sotterranei a bassissimo rumore (DAMA/LIBRA, XENON1T, LUX-ZEPLIN, PandaX) hanno cercato segnali di interazioni elastiche tra particelle oscure (tipicamente WIMP) e nuclei ordinari.

- Nessun risultato riproducibile e universalmente accettato è stato finora ottenuto.
- Le regioni di parametro compatibili con i modelli teorici più popolari si sono ristrette drasticamente, rendendo sempre più improbabile la scoperta di WIMP nella fascia prevista inizialmente.

2. Mancanza di evidenze collider

Il Large Hadron Collider (LHC), che ha confermato il bosone di Higgs, non ha rilevato alcuna traccia di supersimmetria (SUSY), uno dei quadri teorici principali che prevedeva particelle candidate a materia oscura.

- La SUSY "naturale" è oggi considerata fortemente disfavorita.
- Restano scenari più complessi, ma meno eleganti e sempre più fine-tuned.

3. Problemi su piccola scala

Le simulazioni Λ-CDM funzionano bene su grandi scale, ma incontrano serie difficoltà su scale galattiche:

- **Core-cusp problem**: i modelli prevedono aloni con densità centrali cuspidali, mentre le osservazioni mostrano profili più piatti (core).
- **Missing satellites problem**: Λ-CDM prevede un numero molto superiore di galassie nane rispetto a quelle osservate attorno alla Via Lattea.
- **Too-big-to-fail problem**: le galassie nane più massicce previste dovrebbero essere facilmente osservabili, ma risultano assenti.

4. Natura ignota dell'energia oscura

Il modello Λ-CDM tratta materia oscura ed energia oscura come entità separate, introducendo due parametri liberi per giustificare dati osservativi. Questo approccio è empiricamente efficace, ma

teoricamente insoddisfacente: manca una visione unificante che spieghi l'origine comune dei due fenomeni.

5. Ipotesi ad hoc crescenti

La persistenza dei fallimenti sperimentali ha portato alla proliferazione di ipotesi:

- Materia oscura calda o tiepida (sterile neutrinos, keV-scale);
- Materia oscura interagente (SIDM);
- Axion-like particles (ALP).
  Queste varianti estendono lo spazio dei modelli, ma senza un'evidenza sperimentale concreta rischiano di trasformarsi in soluzioni sempre più ad hoc.

2.3.2 Verso una reinterpretazione

Il quadro che emerge dall'analisi della materia oscura è ambivalente:

- da un lato, l'ipotesi della **Λ-CDM** ha ottenuto straordinari successi descrittivi su scale cosmologiche e resta lo standard di riferimento;
- dall'altro, l'assenza di conferme sperimentali sulla natura particellare e le difficoltà su scale galattiche hanno progressivamente indebolito la fiducia nella sua completezza.

Questa tensione tra efficacia fenomenologica e inconsistenza ontologica indica un problema più profondo: forse la materia oscura non è una sostanza da "scoprire", ma il sintomo di un limite concettuale nella descrizione della gravità e dell'informazione nel cosmo.

Negli ultimi decenni, modelli alternativi hanno tentato di affrontare la questione (MOND, TeVeS, gravità entropica, teorie di campo scalare), ma nessuno ha fornito una soluzione pienamente convincente.
È in questo contesto che la **Teoria della Trascrizione Torsionale del Nulla (TTTN)** propone una prospettiva differente: non aggiungere entità ad hoc, ma reinterpretare le anomalie dinamiche come effetti di **cicatrici torsionali** e della **struttura informazionale del Campo β**.

In questa visione, la "materia oscura" smette di essere un'entità misteriosa e diventa il riflesso di una memoria torsionale che si manifesta nella curvatura e nella coerenza del cosmo.

2.3.3 Verso un cambio di paradigma: dalla materia mancante all'informazione strutturante

I decenni di ricerche dedicate alla materia oscura hanno progressivamente mostrato un limite concettuale: la presunta sostanza resta invisibile a ogni forma di rilevazione diretta. Questo nonostante gli sforzi imponenti (rivelatori sotterranei, esperimenti su WIMP, assioni, particelle supersimmetriche). Ogni fallimento suggerisce che il problema possa non essere "cosa manca", ma *come* descriviamo la struttura dello spazio-tempo.

Il modello Λ-CDM assume che lo spazio-tempo sia una geometria passiva, deformata solo dalla materia ed energia classica. Ma se la geometria stessa possedesse una struttura informazionale interna, la discrepanza non richiederebbe più una sostanza mancante: emergerebbe come effetto cumulativo delle *cicatrici torsionali*, distribuite nel tessuto metrico.

In questo scenario, la torsione non è un'aggiunta opzionale alla curvatura, ma un **codice originario** che lascia tracce osservabili su larga scala. La materia oscura sarebbe quindi l'effetto macroscopico della **memoria torsionale** del Campo β, una informazione strutturante che modula le traiettorie e i fenomeni gravitazionali.

2.4. La rilettura torsionale della materia oscura

Alla luce della Teoria della Trascrizione Torsionale del Nulla (TTTN)**, la materia oscura non va intesa come nuova forma di materia, ma come un effetto emergente dalla** struttura torsionale del Campo**.**

introduzione alle equazioni

Per evitare che le correzioni torsionali sembrino un semplice *ansatz,* è utile collegarle ai principi della TTTN.

Sia $T\lambda_\mu\nu$ il tensore torsionale locale, generato dalle discontinuità della trascrizione originaria. A livello microscopico, esso produce fluttuazioni metriche puntuali. Tuttavia, su scale cosmologiche, non si osservano le singole discontinuità, ma il loro effetto medio.

Definiamo quindi $U\mu\nu$ come il contributo effettivo derivante da:

$$U\mu\nu = \langle f(T\lambda_\mu\nu, \beta) \rangle$$

dove $f(T\lambda_\mu\nu, \beta)$ rappresenta la combinazione tra il tensore torsionale e il campo β che regola la coerenza, mentre $\langle \ldots \rangle$ indica la media coarse-grained su scale superiori alle galassie.

Le equazioni di campo diventano quindi:

$$G\mu\nu + \Lambda g\mu\nu + U\mu\nu = 8\pi G\, T\mu\nu$$

In questa forma:

- $G\mu\nu$ è il tensore di Einstein,
- $\Lambda g\mu\nu$ il termine cosmologico,
- $U\mu\nu$ la correzione torsionale-media che imita gli effetti attribuiti alla materia oscura,
- $T\mu\nu$ la materia visibile ordinaria.

In questo modo la materia oscura non è una sostanza invisibile, ma l'effetto integrato di cicatrici torsionali disseminate nel Campo β.

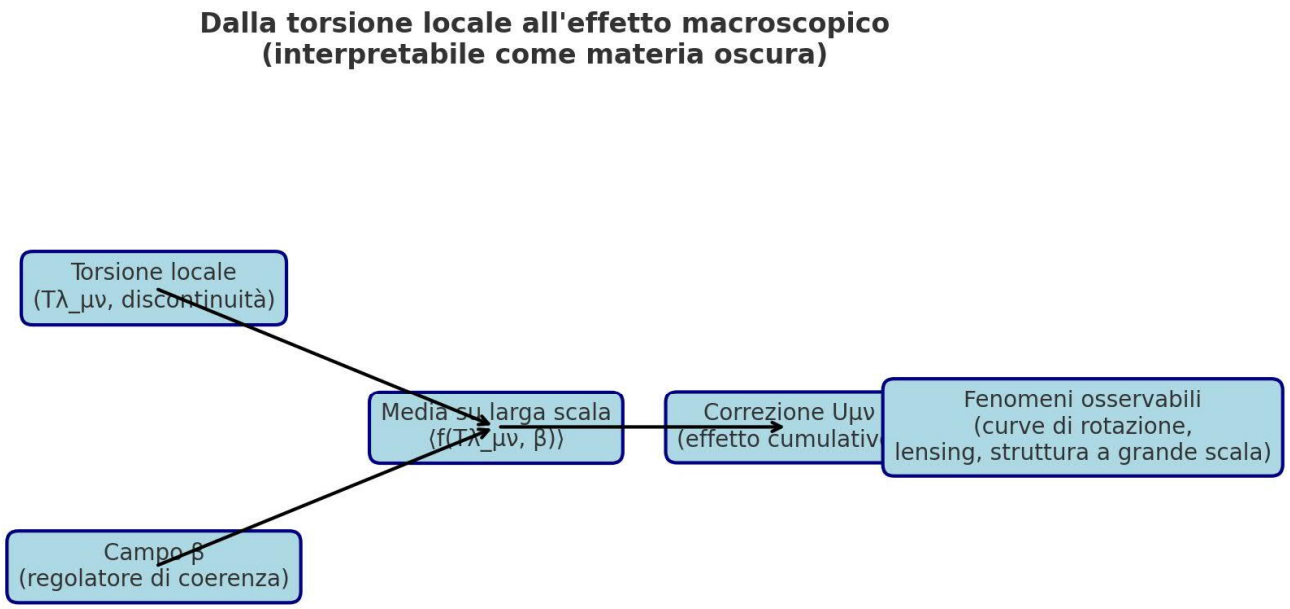

Schema concettuale della reinterpretazione torsionale della materia oscura

- **Torsione locale (Tλ_μν)**
  Piccole discontinuità e deformazioni della connessione, residui dell'atto originario di trascrizione torsionale.

↓

- **Campo β come regolatore**
  Agisce da mediatore, modulando le fluttuazioni torsionali e mantenendo la coerenza informazionale tra regioni dello spazio-tempo.

↓

- **Media su larga scala**
  L'effetto cumulativo delle torsioni locali, filtrato dal Campo β, produce una correzione sistematica alla geometria emergente.

↓

- **Correzione Uμν**
  Termine aggiuntivo nell'equazione gravitazionale, rappresentante la memoria torsionale distribuita nello spazio-tempo.

↓

- **Fenomeni osservabili**
  Curve di rotazione galattica, effetti di lensing gravitazionale e dinamiche cosmologiche interpretate in assenza di materia oscura "sostanziale".

2.4.1. Cicatrici torsionali e sorgenti apparenti di massa

La torsione può essere formalizzata partendo dalla connessione affine estesa. La componente di torsione è definita come:

$$T^{\lambda}_{\mu\nu} = \Gamma^{\lambda}_{\mu\nu} - \Gamma^{\lambda}_{\nu\mu}$$

dove Γ rappresenta la connessione.
Le **cicatrici torsionali** sono regioni in cui $T^{\lambda}_{\mu\nu} \neq 0$, cioè dove la trascrizione primordiale ha lasciato tracce indelebili.
Queste discontinuità non sono materia, ma generano effetti gravitazionali equivalenti a una densità aggiuntiva di massa.
In termini osservativi, esse spiegano l'"eccesso di attrazione" rilevato in regioni prive di materia barionica.

2.4.2. Ruolo del Campo β

Il **Campo β** può essere trattato come un campo scalare o pseudotensore che media correlazioni non locali, senza violare la causalità relativistica.

Si introduce un termine di azione associato:

$$S_{\beta} = \int d^4x \sqrt{-g} \left[\partial_{\mu} \beta \, \partial^{\mu} \beta + f(T, \beta) \right]$$

dove:

- $\sqrt{-g}$ è il determinante metrico,
- $\partial_{\mu} \beta \, \partial^{\mu} \beta$ rappresenta la dinamica libera del campo,
- $f(T, \beta)$ è il termine di accoppiamento tra torsione e Campo β.

Questo legame permette al Campo β di trasmettere **coerenza informazionale** tra regioni distanti, spiegando gli effetti attribuiti a materia oscura.

2.4.3. Coerenza cosmologica

La torsione contribuisce a un termine aggiuntivo nel tensore energia-impulso. L'equazione di Einstein modificata può essere scritta come:

$$G_{\mu\nu} + U_{\mu\nu}(T, \beta) = 8\pi G \, T^{(matter)}_{\mu\nu}$$

dove:

- $G_{\mu\nu}$ è il tensore di Einstein,
- $U_{\mu\nu}(T, \beta)$ raccoglie i contributi torsionali e del Campo β,
- $T^{(matter)}_{\mu\nu}$ è il tensore della materia barionica.

In questo quadro, **gli effetti attribuiti alla materia oscura emergono dai termini U_(μν)(T, β)**, senza la necessità di postulare particelle sconosciute.

2.4.4. Eliminazione dell'ipotesi particellare

La materia oscura, così reinterpretata, non è una sostanza fisica ma un **fenomeno di memoria e coerenza**.
Le anomalie dinamiche delle galassie e degli ammassi derivano da **informazione torsionale condensata**, che il Campo β stabilizza e diffonde su larga scala.

2.5. Implicazioni della rilettura torsionale

L'interpretazione torsionale della materia oscura offre una serie di implicazioni teoriche e sperimentali che permettono sia di chiarire anomalie cosmologiche, sia di proporre nuove linee di verifica.

2.5.1. Dinamica galattica senza particelle oscure

Le curve di rotazione galattiche, spiegate nel modello Λ-CDM con un alone di particelle oscure, vengono qui interpretate come effetto di **cicatrici torsionali distribuite** e stabilizzate dal Campo β.

- Formalmente, la velocità circolare v(r) può essere scritta come:

$v^2(r) / r = GM(r) / r^2 + \Delta a_T(r)$

dove Δa_T(r) rappresenta l'accelerazione aggiuntiva indotta dai contributi torsionali.

- Questa accelerazione torsionale dipende dalla distribuzione locale di T^λ_(μν) e dal grado di correlazione β(x).

2.5.2. Formazione delle strutture cosmiche

Nel quadro torsionale, i filamenti e i vuoti della grande rete cosmica emergono come **linee di torsione preferenziale**.

- Le fluttuazioni primordiali, amplificate dal Campo β, si condensano in strutture coerenti senza richiedere materia invisibile.
- Le equazioni di crescita lineare delle perturbazioni si modificano introducendo un termine torsionale δ_T(k, t) accoppiato alla densità barionica δ_b(k, t).

2.5.3. Anisotropie della radiazione cosmica di fondo (CMB)

La presenza di torsione residua può lasciare una **firma osservabile** nelle anisotropie della CMB.

- Le deviazioni dallo spettro di potenza previsto dal modello standard possono essere rilette come memoria torsionale dell'atto originario.
- Una previsione testabile è la presenza di **violazioni di parità** o correlazioni anomale tra multipoli bassi, dovute al contributo U_(μν)(T, β) nelle equazioni di evoluzione.

2.5.4. Coerenza a scala quantistica e biologica

La rilettura torsionale non si limita al cosmo. L'azione del Campo β come regolatore di coerenza suggerisce un legame diretto con fenomeni microscopici:

- nei sistemi quantistici, la stabilità di stati coerenti potrebbe essere mediata da β(x),
- nei sistemi biologici, la trascrizione torsionale può spiegare fenomeni di memoria e comunicazione a livello cellulare (idromimesi, tunneling enzimatico).

2.5.5. Verifiche sperimentali e osservazionali

Per rendere falsificabile il modello, si individuano alcuni possibili test:

1. **Rotazioni galattiche**: confrontare i profili osservati con curve derivate da Δa_T(r), senza introdurre profili di alone ad hoc.
2. **CMB**: ricercare segnali di violazione di parità e anomalie di correlazione nei multipoli bassi.
3. **Lensing gravitazionale**: verificare se le distorsioni osservate possano essere spiegate da campi torsionali, invece che da concentrazioni invisibili di materia.

Esperimenti di laboratorio: indagare effetti di coerenza informazionale in sistemi molecolari o idrici, come già osservato negli studi sull'idromimesi. (https://zenodo.org/records/16754881)

2.6. Conclusione del Capitolo – Gravità e materia oscura in chiave torsionale

La trattazione sviluppata mostra come i due pilastri problematici della cosmologia moderna — la natura della gravità e la necessità della materia oscura — possano essere reinterpretati all'interno della **Teoria della Trascrizione Torsionale del Nulla (TTTN)**.

1. La **gravità** non emerge più come forza o pura curvatura geometrica, ma come **tensione residua** della torsione originaria. Le "cicatrici torsionali" agiscono come memorie informazionali, capaci di orientare la geometria senza introdurre nuove particelle.
2. La **materia oscura**, anziché costituire una sostanza invisibile, si configura come effetto emergente di questa stessa memoria torsionale. Le anomalie dinamiche osservate in galassie e ammassi non richiedono entità esotiche, ma si spiegano attraverso contributi al tensore energia-impulso generati da U_(μν)(T, β).
3. Il **Campo β** svolge il ruolo cruciale di regolatore di coerenza, mantenendo collegate regioni distanti e stabilizzando le strutture cosmiche. Esso fornisce un filo conduttore tra fenomeni macroscopici (curvature galattiche, anisotropie CMB) e microscopici (coerenza quantistica, processi biologici).

In questo modo, la TTTN non propone un'aggiunta alla fisica esistente, ma una **reinterpretazione unificante**: ciò che appare come "mancanza di massa" o come "anomalia gravitazionale" è, in realtà, il riflesso di una struttura informazionale più profonda.

3. Memoria olografica

Tra i concetti più innovativi emersi nella fisica teorica degli ultimi decenni vi è quello di **principio olografico**, secondo il quale l'informazione contenuta in un volume di spazio può essere descritta interamente dai dati codificati sulla sua superficie di confine.

Questa idea, nata dallo studio della **termodinamica dei buchi neri** e sviluppata da Bekenstein, Hawking, 't Hooft e Susskind, ha avuto un impatto profondo non solo sulla gravità quantistica, ma anche sulla cosmologia e sulla teoria dell'informazione. Essa suggerisce che la realtà fisica, al suo livello più fondamentale, possa non essere tridimensionale, ma **proiettata** da una struttura bidimensionale più profonda.

Il principio olografico è stato spesso interpretato come una conseguenza di limiti informazionali intrinseci: non possiamo comprimere più informazione in un volume di quanta quella codificabile dalla sua superficie. Tuttavia, in questa formulazione resta implicita una domanda: **cosa rappresenta fisicamente questa "memoria di superficie"?** È soltanto un artificio matematico, o è il segnale di un meccanismo più profondo, radicato nella struttura originaria dell'universo?

Alla luce della **Teoria della Trascrizione Torsionale del Nulla (TTTN)**, questo interrogativo acquista una nuova rilevanza. Se le strutture cosmiche e persino la gravità sono interpretazioni di cicatrici torsionali e di coerenza mantenuta dal Campo β, allora la memoria olografica non è soltanto un principio limite, ma la manifestazione di un **archivio torsionale universale**: un registro non locale che conserva e trasmette informazione attraverso ogni scala, dal cosmo alla cellula.

Nei paragrafi seguenti analizzeremo:

- le origini del principio olografico (3.1),
- le sue applicazioni cosmologiche (3.2),
- i limiti della visione standard (3.3),

e infine la rilettura torsionale che ne emerge (3.4), con le sue implicazioni (3.5).

3.1. Origine del concetto: da Bohm e Pribram al paradigma olografico

L'idea di "olografia" applicata alla scienza ha due genealogie che vanno tenute distinte:

1. una **linea neuro-cognitiva** (Bohm–Pribram) che usa l'olografia come *metafora strutturale* per rappresentazioni distribuite e trasformazioni di informazione (Fourier/Gabor);
2. una **linea fisica** (Bekenstein–Hawking → 't Hooft–Susskind → Bousso → AdS/CFT) che porta al **principio olografico** come vincolo quantitativo sull'informazione fisica e sulla dinamica gravitazionale. Le due linee sono concettualmente risonanti ma **non** storicamente o matematicamente dipendenti.

Olografia in ottica (premessa tecnica)

In ottica coerente (Gabor, 1948), un ologramma registra l'interferenza tra un **campo di riferimento** e un **campo oggetto**. Se E_ref(x) è l'onda di riferimento ed E_obj(x) il campo diffuso dall'oggetto, l'intensità registrata sulla lastra è:

- I(x) = |E_ref(x) + E_obj(x)|^2
- I(x) = |E_ref|^2 + |E_obj|^2 + 2 * Re[E_ref*(x) * E_obj(x)]

In ricostruzione, illuminando la lastra con un campo simile a E_ref, si rigenera un campo proporzionale al campo oggetto. L'informazione sull'oggetto è **distribuita** sulla superficie; porzioni dell'ologramma ricostruiscono l'intero con minore risoluzione: questa è la proprietà "olografica" intesa in senso informazionale-distribuito**.**

3.1.1 L'olografia come metafora cognitiva

Con *olografia cognitiva* si intende una **metafora operativa** introdotta da D. Bohm e K. Pribram per descrivere **memoria e rappresentazione distribuite** nei sistemi neurali. Non è una legge di natura né implica proprietà termodinamiche dello spazio-tempo: è una *architettura funzionale* per spiegare come un sistema possa immagazzinare e ricostruire schemi informativi in modo robusto e ridondante.

Idea centrale.
Uno stimolo spaziale-temporale `s(x)` non viene conservato come una "fotografia locale", ma trasformato in **spettro di componenti** (frequenze/spazialità) e **sovrapposto** a tracce preesistenti. In analogia con l'olografia ottica (premessa tecnica), l'informazione è *distribuita*: ogni porzione del supporto contiene **tracce dell'intero** (con risoluzione minore).

Codifica (spazio ↔ frequenze).
Sia `F[·]` la trasformata (Fourier o banchi di filtri tipo Gabor). La codifica di uno stimolo `s(x)` in dominio delle frequenze è:

```
S(k) = F[s(x)]
```

La **traccia mnestica** aggiornata `M(k,t)` (in frequenze) può essere modellata come:

```
dM(k,t)/dt = -λ M(k,t) + Σ_j w_j S_j(k) + ξ(k,t)
```

dove `λ > 0` è il decadimento, `w_j` sono pesi di apprendimento per i diversi pattern `S_j(k)`, `ξ(k,t)` è rumore/fluttuazioni. Questa dinamica rappresenta **accumulo distribuito** con oblio controllato.

Richiamo (correlazione/campionamento).
Dato un indizio (cue) `c(x)`, si calcola il suo spettro `C(k) = F[c(x)]` e si ricostruisce una stima `r(x)` per **interferenza/correlazione**:

```
R(k) = M(k) · C*(k)
r(x) = F^{-1}[ R(k) ]
```

L'operazione corrisponde a una **correlazione** in dominio spaziale: porzioni del "tracciato" possono restituire l'intero schema (a risoluzione ridotta), spiegando **robustezza a lesioni parziali** e **tolleranza al rumore**.

Proprietà funzionali previste.

- **Ridondanza distribuita:** nessun "pixel" è critico; perdita locale non cancella il pattern.
- **Generalizzazione:** pattern simili hanno spettri parzialmente sovrapposti ⇒ richiamo approssimato.

- **Composizionalità:** più pattern si **sovrappongono** in `M(k)` senza occupare "celle" disgiunte, riducendo interferenza tramite pesi `w_j` e selettività dei filtri.
- **Degradazione graduale:** l'oblio (λ) attenua globalmente, non "cancella" localmente.

Substrati plausibili (a livello di *ipotesi funzionale*).
Oscillazioni neurali, sincronizzazione di fase, mappe corteciali e recettori con **campi recettivi tipo Gabor** forniscono un supporto realistico a filtraggi `F[·]`, pur **senza sostenere** che il cervello sia un "ologramma ottico" letterale. Il parallelo resta **computazionale**: trasformate, correlazioni, sovrapposizione di tracce.

Limiti e avvertenze.

- È una **metafora epistemica** e un *modello funzionale*: non implica vincoli fisici tipo legge di area, entropia di Bekenstein o dualità AdS/CFT.
- La "capacità" e l'"interferenza" dipendono dai dettagli di `F[·]`, dalla plasticità (`w_j`) e dal rumore `ξ(k,t)`: non c'è garanzia assoluta di richiamo perfetto.
- Il modello **non postula** un "campo fisico globale" né una fisica dello spazio-tempo.

Collocazione rispetto alla TTTN (senza mescolare i piani).
La TTTN **non** deriva da questa genealogia cognitiva e **non** si riduce a metafora. In questo documento:

- teniamo la metafora olografico-cognitiva come **quadro funzionale** per memoria distribuita (utile in neuroscienze/IA);

la TTTN può fornire un **meccanismo fisico-informazionale (torsionale)** capace di *sorreggere* fenomeni di memoria distribuita, **senza confondere** metafora cognitiva e principio fisico.

Nota Bene-
Un punto cruciale va chiarito per evitare interpretazioni vitalistiche o metaforiche: quando parliamo di *memoria attiva* nel contesto della TTTN, non intendiamo un principio animistico o auto-generativo. L'"attività" nasce dal fatto che il sistema è **open e guidato** dall'interazione con il Campo β, che agisce come sorgente di risonanza.

Formalmente, il modello dinamico per la memoria distribuita può essere scritto come:

$$\frac{dM(t)}{dt} = -\lambda M(t) + R_\beta[\tau, \varphi]$$

dove:

- `M(t)` è la traccia informazionale accumulata;
- `λ > 0` è il coefficiente di decadimento (perdita naturale della memoria);
- `Rβ[τ, φ]` rappresenta il termine di rigenerazione per **accoppiamento risonante** con il Campo β, funzione delle condizioni torsionali τ e delle fasi informazionali φ.

Questo termine `Rβ` è analogo a un **pompaggio esterno in sistemi ottici**: non introduce magia o spontaneità, ma descrive un *accoppiamento risonante* che alimenta la coerenza informazionale impedendo il collasso rapido della memoria.

In questo quadro, la memoria è “attiva” solo perché è continuamente **reiniettata e stabilizzata** dal Campo β: non è dunque una proprietà intrinseca o misteriosa del sistema, ma l’effetto di una dinamica di risonanza che connette nodi locali a una struttura globale.

3.1.2. Bohm: ordine implicato, rappresentazione distribuita e non-località

David Bohm sviluppa una visione in cui l’ordine “implicato” contiene informazione che si esplicita nelle configurazioni osservate. Nella formulazione bohmiana della meccanica quantistica (pilot-wave), dalla decomposizione polare della funzione d’onda ψ si ottengono:

- ψ(x,t) = R(x,t) * exp(i * S(x,t) / hbar)
- p(x,t) = ∇S(x,t) (equazione di guida)
- Q(x,t) = -(hbar^2 / 2m) * (∇^2 R / R) (potenziale quantistico)

Il **potenziale quantistico** Q dipende dalla forma di R ed è quindi **non locale**: l’influenza sull’evoluzione di una parte del sistema può dipendere dalla configurazione globale. L’**idea olografica** qui non è un principio fisico con bound entropici, ma un’immagine di **rappresentazione distribuita** e di interdipendenza informazionale.

3.1.3. Pribram: ipotesi “olografica” del cervello (Fourier/Gabor)

Karl Pribram propose (a livello ipotetico) che la corteccia cerebrale trattasse l’informazione in modo **simile** a un sistema olografico: memorie e pattern sarebbero **distribuiti** e accessibili tramite trasformazioni integrali (Fourier/Gabor), assicurando robustezza a lesioni locali e **invarianza** a traslazioni/rotazioni. Formalmente:

- Trasformata di Fourier: F(k) = ∫ ψ(x) * exp(-i k·x) dx
- Ricostruzione: ψ(x) = (1/2π)^n ∫ F(k) * exp(i k·x) dk

In tale quadro, il “riconoscimento di pattern” sfrutterebbe **convoluzioni** e **correlazioni** in dominio di frequenza. Importante: questa è una **metafora computazionale** plausibile (con riscontri parziali in modelli neurali e in V1), non un’equivalenza fisica con l’olografia gravitazionale.

3.1.4. Bekenstein–Hawking: entropia dei buchi neri e legge di area

La svolta fisica nasce da termodinamica e teoria quantistica dei campi in spazio-tempo curvo. Due risultati cardine:

1. **Bound di Bekenstein** (limite superiore all’entropia di un sistema in un volume di raggio R ed energia E):

- S ≤ (2 * π * k_B * E * R) / (hbar * c)

2. **Entropia di Bekenstein–Hawking** per un buco nero di area dell’orizzonte A:

- l_P = sqrt(G * hbar / c^3) (lunghezza di Planck)
- S_BH = (k_B * A) / (4 * l_P^2) = (k_B * c^3 * A) / (4 * G * hbar)

Questi risultati mostrano che l'entropia massima contenibile **scala con l'area**, non con il volume: una "legge di area". È l'indizio quantitativo che l'informazione fisica in gravità è **fondamentalmente legata alle superfici** (orizzonti), non ai volumi.

3.1.5. 't Hooft–Susskind e il principio olografico

Gerard 't Hooft e Leonard Susskind formuleranno il **principio olografico**: il numero massimo di gradi di libertà fisici in una regione è proporzionale all'**area** del suo confine, con densità massima ~ 1 / (4 * l_P^2) per bit. In forma operativa:

- $N_{max}(V) \leq A(\partial V) / (4 * l_P^2)$

Questa affermazione non è una metafora: è un **vincolo fisico** su informazione ed entropia in presenza di gravità quantistica, motivato dal fatto che comprimere più informazione di così farebbe collassare la regione in un buco nero.

3.1.6. Bound entropici covarianti (Bousso) e von Neumann

Raphael Bousso ha generalizzato il vincolo in forma **covariante** (light-sheets): l'entropia S che attraversa un foglio di luce generato da una superficie B soddisfa:

- $S(L) \leq A(B) / (4 * l_P^2)$

Sul lato informazionale, l'entropia quantistica (von Neumann) di uno stato ρ è:

- $S(\rho) = -k_B * Tr(\rho * \ln \rho)$

Per sistemi quantistici in gradi di libertà locali, l'entropia di entanglement di una regione A obbedisce spesso a una **legge di area**:

- $S_A \propto Area(\partial A)$ (con correzioni dipendenti dalla teoria)

Questo fa da ponte naturale verso l'olografia gravitazionale: l'**entanglement** gioca un ruolo geometrico.

3.1.7. AdS/CFT e formula di Ryu–Takayanagi

La congettura **AdS/CFT** (Maldacena) fornisce una realizzazione concreta dell'olografia: una teoria gravitazionale in (d+1) dimensioni (bulk AdS) è duale a una teoria conforme di campo in d dimensioni (boundary). In questo contesto:

- Entropia di entanglement di una regione A nella CFT:
  $S_A = (k_B * Area(\gamma_A)) / (4 * l_P^{(d+1)^2})$
  dove γ_A è la **superficie minima** nel bulk ancorata al bordo ∂A (formula di Ryu–Takayanagi, in unità appropriate; equivalentemente $S_A = Area(\gamma_A) / (4 * G_N * \hbar / c^3)$ con costanti esplicite).

Questa relazione **geometrizza** l'entanglement: l'informazione quantistica al bordo corrisponde a **aree minime** nel bulk gravitazionale. È una verifica operativa del principio olografico in una classe ampia di teorie.

3.1.8. Sintesi: due sensi di “olografico”, un filo comune

- **Senso neuro-cognitivo (Bohm–Pribram):** l’olografia è una metafora tecnico-informazionale per rappresentazioni **distribuite** e robuste, basata su trasformazioni integrali (Fourier) e proprietà di **interferenza**.
- **Senso fisico (Bekenstein–Hawking–’t Hooft–Susskind–Bousso–AdS/CFT):** l’olografia è un **principio quantitativo**: i gradi di libertà fisici massimi in presenza di gravità sono limitati dall’**area** del confine; l’**entanglement** codifica geometria.

Il **filo comune** è l’idea che l’informazione effettiva sia **compressa sulle superfici** e che rappresentazioni “locali” possano essere ricostruite da **tracce distribuite**: un’intuizione che, nella fisica gravitazionale, diventa **teorema operativo** e **strumento predittivo**.

Nota metodologica per il capitolo: d’ora in avanti, quando parleremo di “memoria olografica” in senso fisico, useremo i vincoli entropici (Bekenstein, Bousso) e le relazioni entanglement–area (legge di area, Ryu–Takayanagi). Le analogie Bohm–Pribram saranno indicate come *metafore strutturali*, utili per il ponte concettuale ma distinte dal **principio olografico** in gravità.

3.2. Applicazioni in neuroscienze, fisica e informatica

L’idea olografica, nata come metafora in Bohm e Pribram e poi consolidata come principio fisico in gravità quantistica, ha avuto applicazioni trasversali. Qui distinguiamo tre ambiti principali: **neuroscienze**, **fisica** e **informatica**. In ciascuno vedremo come l’olografia agisca da modello di rappresentazione, da vincolo teorico o da architettura computazionale.

3.2.1. Neuroscienze: memoria distribuita e resiliente

Nella cornice pribramiana, l’ipotesi era che il cervello utilizzi trasformate di Fourier e rappresentazioni distribuite per codificare informazione. Alcuni risultati sperimentali e computazionali sostengono questa intuizione:

- **Memoria distribuita:** in un sistema olografico, ogni parte contiene l’informazione dell’intero, anche se con risoluzione ridotta. Analogamente, in modelli corticali con rappresentazioni spettrali, il danneggiamento di porzioni locali non cancella completamente la memoria.
- **Modelli matematici:** se uno stimolo sensoriale è rappresentato come f(x), la corteccia può codificarlo tramite una base spettrale:
  $F(k) = \int f(x) * \exp(-i\, k \cdot x)\, dx$
  L’accesso alla memoria corrisponde a operazioni inverse o parziali di ricostruzione:
  $f(x) \approx (1/2\pi)^n \int F(k) * \exp(i\, k \cdot x)\, dk$
- **Correlazioni neurali:** alcune registrazioni elettrofisiologiche hanno mostrato che il riconoscimento di pattern visivi è facilitato da oscillazioni corticali coerenti (30–80 Hz), interpretabili come “finestre” di trasformazioni spettrali temporanee.

Limite: i dati sperimentali non confermano una vera e propria olografia cerebrale; si tratta piuttosto di una **analogia computazionale** utile a spiegare resilienza, ridondanza e parallelismo.

3.2.2. Fisica: entropia, cosmologia e correlazioni quantistiche

Nel dominio fisico, l'olografia ha trasformato la comprensione dell'informazione nei sistemi gravitazionali e quantistici.

1. **Entropia dei buchi neri:**
   La formula di Bekenstein–Hawking:
   S_BH = (k_B * A) / (4 * l_P^2)
   mostra che i gradi di libertà sono proporzionali alla superficie, non al volume.
2. **Bound di Bousso (covariante):**
   S(L) ≤ A(B) / (4 * l_P^2)
   dove S(L) è l'entropia che attraversa un light-sheet generato dalla superficie B.
3. **Cosmologia:** negli spazi de Sitter (relevanti per l'espansione accelerata dell'universo), l'orizzonte cosmico ha area A_dS ≈ 4π R_H^2 con R_H = c / H. L'entropia massima è:
   S_dS = (k_B * π * c^2) / (G * hbar * H^2)
   Un vincolo olografico che lega informazione cosmica e costante di Hubble.
4. **Entanglement e legge di area:**
   Per uno stato quantistico puro bipartito AB, con matrice densità ridotta ρ_A:
   S_A = -Tr(ρ_A ln ρ_A)
   In molte QFT, S_A ∝ Area(∂A), legando geometria e informazione.
5. **Ryu–Takayanagi (AdS/CFT):**
   S_A = Area(γ_A) / (4 G_N hbar / c^3)
   con γ_A superficie minima nel bulk AdS. Dimostra che **l'entanglement codifica geometria**.

3.2.3. Informatica: architetture olografiche e reti neurali

Il paradigma olografico ha ispirato tecniche di rappresentazione dell'informazione anche in informatica e intelligenza artificiale.

- **Holographic Reduced Representations (HRR):** introdotte da Plate (1995), usano convoluzioni circolari per rappresentare strutture complesse in vettori a dimensione fissa. Se a e b sono vettori, la loro binding operation è:
  (a ⊗ b)*k* = *Σ_i a_i * b*(k-i mod n)
  Questa operazione preserva dimensione, distribuisce informazione e consente recupero tramite correlazione.
- **Memorie associative olografiche:** reti neurali che utilizzano trasformate di Fourier per immagazzinare e recuperare pattern con robustezza. Il richiamo è resiliente al rumore: se P(k) = Σ_j F_j(k) pattern memorizzati, il recupero avviene per correlazione spettrale con lo stimolo in ingresso.
- **Applicazioni pratiche:** compressione di immagini, riconoscimento vocale, modelli distribuiti di linguaggio. L'olografia fornisce un principio: informazione **non localizzata**, ridondante, accessibile per sovrapposizione e ricostruzione.

3.2.4. Sintesi

L’olografia, nelle sue varie incarnazioni:

- in **neuroscienze**, come metafora computazionale della memoria distribuita;
- in **fisica**, come vincolo quantitativo fondamentale che lega entropia, gravità ed entanglement;
- in **informatica**, come architettura per rappresentazioni distribuite e resilienti;

mostra un tratto comune: l’informazione non è vincolata a un punto, ma è **distribuita, ridondante e compressa sulle superfici**.

Questo filo conduttore prepara la transizione verso una reinterpretazione torsionale, in cui la memoria olografica non è solo vincolo o metafora, ma manifestazione della **trascrizione torsionale del Nulla** e del ruolo del **Campo β** come regolatore della coerenza informazionale.

3.3. Limiti delle interpretazioni riduzioniste

3.3. Limiti delle interpretazioni riduzioniste

Le interpretazioni correnti della memoria olografica, pur stimolanti, soffrono di un vizio metodologico ricorrente: il riduzionismo. Si tende cioè a trasporre il paradigma olografico in modelli matematici o biologici che riducono la complessità del fenomeno a meri algoritmi di distribuzione informazionale.

3.3.1. Neuroscienze

Nei modelli sinaptici di Karl Pribram, l’analogia con la trasformata di Fourier ha suggerito che l’attività neuronale possa codificare informazione in forma distribuita. Tuttavia, l’interpretazione riduzionista considera questa distribuzione solo come somma lineare di potenziali locali. Formalmente:

$$\psi(x) = \sum a_i \varphi_i(x)$$

dove $\varphi_i(x)$ rappresenta le funzioni elementari di risposta neurale e a_i i coefficienti di pesatura.
Un approccio di questo tipo, pur utile per simulazioni, ignora la natura dinamica e non lineare della coerenza biologica. La memoria non è soltanto sovrapposizione, ma persistenza di pattern coerenti in un campo biologico complesso, con proprietà emergenti non riconducibili alla somma delle parti.

3.3.2. Fisica teorica

In ambito quantistico, l’uso del principio olografico è spesso confinato al contesto dei buchi neri o dell’AdS/CFT. Anche qui, la riduzione avviene considerando la corrispondenza tra stati in volume e stati su superficie come semplice mappatura isomorfica:

$$\dim H_{volume} = \dim H_{superficie}$$

dove H è lo spazio di Hilbert degli stati quantistici.
Questa formulazione, pur potente, riduce l’olografia a una relazione di conteggio degli stati, senza spiegare la dinamica con cui l’informazione viene mantenuta coerente. Non affronta il problema della stabilità temporale della memoria informazionale.

3.3.3. Informatica e reti neurali artificiali

In informatica, la memoria olografica è spesso ridotta a implementazioni di vettori ad alta dimensionalità (es. Holographic Reduced Representations). Formalmente:

$$M = \sum v_i \otimes w_i$$

dove $\otimes$ è il prodotto circolare (convolutivo) e vi, wi sono vettori di codifica.
Questi sistemi mostrano capacità associative e di recupero parziale, ma restano vincolati a limiti computazionali rigidi: rumore cumulativo, degrado per interferenza, mancanza di vera rigenerazione del segnale. Sono strumenti utili, ma non spiegano la resilienza della memoria biologica né la coerenza dei sistemi fisici.

3.3.4. Il limite comune

Il denominatore comune di queste riduzioni è che la memoria viene trattata come *conservazione passiva di tracce*, piuttosto che come *fenomeno attivo di coerenza*. L'informazione è intesa come dato statico, non come processo dinamico di trascrizione e rigenerazione.

Dal punto di vista della TTTN, questo limite è evidente: se ogni configurazione coerente porta impressa la cicatrice della torsione originaria

Teoria Torsionale

, allora la memoria non è semplicemente un registro di stati, ma un processo in cui il Campo β alimenta continuamente la coerenza e la rigenera.

3.3.5. Memoria come risonanza distribuita nel Campo β

L'elemento mancante nei modelli riduzionisti è il meccanismo che garantisca la **persistenza e la rigenerazione della coerenza informazionale**. Se la memoria fosse solo una registrazione statica, sarebbe inevitabilmente soggetta a degrado, rumore e perdita irreversibile. La Teoria della Trascrizione Torsionale del Nulla (TTTN) introduce invece il concetto di **Campo β** come livello di regolazione non locale della coerenza.

Funzione del Campo β

Il Campo β non è un contenitore spaziale, né un deposito di stati. Esso agisce come **rete di risonanza distribuita**, capace di mantenere correlazioni tra configurazioni anche in assenza di supporto materiale stabile. Formalmente, possiamo descrivere la memoria non come stato singolo M(t), ma come una funzione di correlazione mantenuta dal Campo:

$$C_\beta(x,t;\, y,t') = \langle \psi(x,t)\, \psi(y,t') \rangle_\beta$$

dove $\langle \ldots \rangle_\beta$ indica la media di correlazione calcolata rispetto al Campo β.
Questa espressione rappresenta la capacità del Campo di legare eventi separati nello spazio-tempo in un'unica struttura coerente, che si manifesta come "memoria distribuita".

Dal registro alla rigenerazione

Nei modelli riduzionisti, la memoria è trattata come:

$M = \sum si$

dove si sono stati elementari.
Nella versione torsionale, invece, la memoria emerge come **persistenza di modi coerenti** mantenuti dal Campo β:

$M\beta = \sum ai\ e^{(i\theta i)}$

dove ai rappresentano le ampiezze dei modi informazionali e θi le fasi torsionali relative. Il termine e^(iθi) non è un mero fattore di fase, ma indica il legame con la cicatrice torsionale originaria: la fase diventa la "firma" che garantisce rigenerazione.

Proprietà distintive

1. **Non-località** – la memoria non è confinata al substrato materiale (neurale, fisico o computazionale), ma distribuita attraverso relazioni di fase mantenute dal Campo β.
2. **Rigenerazione attiva** – la coerenza non è conservata passivamente, ma continuamente riattualizzata dal Campo, impedendo il collasso completo dei pattern informazionali.
3. **Resilienza** – ciò spiega perché i sistemi biologici possono recuperare tracce mnemoniche anche dopo danni parziali: l'informazione non è localizzata, ma "sostenuta" da una risonanza di fondo.

Sintesi

In questo quadro, la memoria non è né riducibile a sinapsi, né confinata a un orizzonte geometrico, né assimilabile a un algoritmo computazionale. È un **fenomeno torsionale di risonanza distribuita**, in cui il Campo β opera come regolatore invisibile ma costante, garantendo che l'informazione non sia solo archiviata, ma viva, persistente e rigenerata nel tempo.

3.4. Versione torsionale

La memoria, intesa nei modelli convenzionali, è spesso ridotta a due interpretazioni principali:

1. **Archivio statico** (un contenitore che conserva fedelmente informazione finché non viene deteriorato).
2. **Distribuzione geometrica** (il principio olografico classico: ogni parte di una superficie rappresenta il volume intero).

Entrambe le visioni hanno un limite comune: assumono che la memoria sia un effetto passivo, cioè una conseguenza dello stato del sistema, che conserva o replica informazione già esistente. La Teoria della Trascrizione Torsionale del Nulla (TTTN), invece, propone una svolta concettuale: la memoria non è **passiva** ma **attiva**, non è un contenitore ma un **processo torsionale** che lascia tracce stabili, rinnovate continuamente dal Campo β.

Questa versione torsionale parte dall'assunto che la **torsione primigenia** — l'atto che rompe la simmetria del Nulla indistinto — non svanisca, ma lasci nel tessuto informazionale dell'universo delle **cicatrici permanenti**. Ogni nodo, cioè ogni regione localizzata di coerenza torsionale, porta in sé la traccia di quell'atto originario. Di conseguenza, la memoria non è una proprietà emergente dei

supporti (come neuroni, circuiti, ologrammi ottici), ma una **caratteristica intrinseca del Campo** stesso.

Questo ribaltamento concettuale porta a tre conseguenze fondamentali:

- Ogni nodo conserva una **cicatrice informazionale** che ne testimonia l'origine.
- Ogni nodo contiene un'**eco torsionale** dell'intero Campo, riflessa nella sua fase relativa rispetto agli altri nodi.
- La memoria non è fragile, perché la **coerenza è generata** dinamicamente dal Campo β, non semplicemente conservata.

Nei paragrafi seguenti articoleremo questi tre aspetti in dettaglio, mostrando come possano essere formalizzati matematicamente e in che modo superino le visioni riduzioniste e olografiche convenzionali.

3.4.1. Ogni nodo conserva la cicatrice informazionale

Nel quadro della TTTN, la **memoria** non è pensata come accumulo di dati, ma come effetto persistente di una deformazione originaria del Campo. La torsione, generata dall'atto primigenio che rompe la simmetria del Nulla, lascia una **cicatrice informazionale** in ogni nodo che da essa emerge.

Definizione di nodo torsionale

Chiamiamo **nodo torsionale** una regione localizzata del Campo β in cui l'intensità della torsione non è nulla:

$$\tau(x,t) \neq 0$$

dove $\tau(x,t)$ rappresenta la densità di torsione in funzione della posizione e del tempo.

Il nodo non è un punto geometrico nel senso classico, bensì una **singolarità informazionale**: esso conserva traccia di tutte le deformazioni torsionali che hanno attraversato la sua regione.

Cicatrice come integrale storico

Formalmente, la cicatrice informazionale associata a un nodo in una posizione x può essere rappresentata come:

$$\Delta I(x) = \int_{[t_0,t]} \tau(x,t')\, dt'$$

dove $\Delta I(x)$ è la memoria accumulata (in termini di informazione torsionale) e l'integrale corre lungo la storia temporale del nodo.

A differenza di una variabile dissipativa, come energia o calore, questa grandezza non decade. La torsione **non è soggetta ad attrito informazionale**, ma permane come configurazione stabile. Questo implica che ogni nodo è portatore di memoria, indipendentemente dal supporto fisico (neurone, bit, particella).

Persistenza e non-località

Un aspetto cruciale è che la cicatrice non si limita a un accumulo locale, ma conserva anche la **fase relativa** con altri nodi. Ciò significa che la memoria non è mai isolata: ogni cicatrice contiene in potenza la capacità di riconnettersi e risuonare con altre.

Possiamo introdurre una funzione di correlazione torsionale:

$$C(x,y) = \langle \tau(x,t) \cdot \tau(y,t) \rangle$$

che misura la relazione di fase tra due nodi distanti x e y. La non-nullità di C(x,y) per grandi distanze testimonia che la cicatrice informazionale non è confinata localmente, ma **conserva la coerenza del Campo**.

Implicazione

La memoria, dunque, non è un deposito fragile che può andare perso, ma una **traccia torsionale indelebile**. Ogni nodo del Campo porta in sé la propria storia, e tale storia è inscritta nella geometria stessa della torsione. È questo che rende possibile l'emergere di fenomeni come la resilienza mnemonica dei sistemi biologici e la coerenza dei sistemi quantistici.

3.4.2. La parte contiene traccia del tutto: eco torsionale

Uno dei tratti più caratteristici del paradigma olografico è l'idea che **ogni parte possa contenere l'informazione dell'intero**. La TTTN riprende questo concetto, ma lo riformula in chiave torsionale: non è la geometria proiettiva a garantire la distribuzione dell'informazione, bensì la **risonanza di fase** tra le cicatrici torsionali.

Eco torsionale come fase relativa

Ogni nodo conserva la propria cicatrice informazionale, ma ciò che lo connette all'intero Campo è la sua **fase torsionale φ(x)** rispetto a un riferimento globale. In termini matematici, se τ(x) è la densità torsionale locale, definiamo:

$$\tau(x) = |\tau(x)| \, e^{\wedge}(i\varphi(x))$$

dove φ(x) è la fase torsionale.

La memoria globale emerge dal fatto che le fasi di nodi diversi non sono indipendenti:

$$\varphi(x) - \varphi(y) \approx \text{cost.}$$

entro tolleranze definite dal Campo β.

In questo modo, l'informazione del tutto è impressa in ciascuna parte non come copia ridotta, ma come **eco di fase**, un'interferenza che collega tutti i nodi tra loro.

Funzione di eco

L'eco torsionale può essere rappresentata da una funzione di correlazione estesa:

$E(x) = \sum[y \in Campo] C(x,y)$

dove C(x,y) è la correlazione torsionale già definita. Questa somma, estesa a tutto il Campo, implica che ogni nodo riceve e re-irradia continuamente l'eco di tutti gli altri.

Differenza rispetto al modello olografico classico

- **Olografia geometrica:** la parte contiene una mappa compressa dell'intero, in virtù di una trasformazione matematica.
- **Olografia torsionale:** la parte contiene una **traccia dinamica dell'intero** grazie alla coerenza di fase.

In altre parole, l'eco torsionale non è un'immagine statica ma una **vibrazione costante** che tiene connesso ogni nodo con l'intero Campo.

Implicazione

Questo modello spiega la **resilienza sistemica** della memoria: se anche molte parti del sistema vengono distrutte, l'eco torsionale rimane inscritta nei nodi superstiti, che continuano a portare in sé tracce coerenti dell'intero. Ciò fornisce una base teorica al fenomeno per cui reti neurali biologiche o artificiali possono subire danni parziali senza perdere completamente la memoria.

3.4.3. Non fragilità della memoria: la coerenza è generata, non subita

Nei modelli passivi, la memoria è soggetta a decadimento e rumore. Un descrittore scalare M(t) (o un campo M(x,t)) obbedisce tipicamente a:

- $dM/dt = -\lambda M + \xi(t)$
  con $\lambda > 0$ (decadimento) e $\xi(t)$ rumore (es. gaussiano a media zero). In assenza di "pompa" la soluzione converge a 0: la memoria è fragile.

Nel quadro TTTN, la memoria non è conservata passivamente ma **rigenerata** da una dinamica di coerenza mediata dal Campo β. L'equazione fenomenologica diventa:

- $dM/dt = -\lambda M + R_\beta[\tau, \varphi] + \xi(t)$

dove:

- $\tau(x,t)$ è l'intensità torsionale locale,
- $\varphi(x,t)$ è la fase torsionale locale,
- $R_\beta[\tau, \varphi]$ è un termine di **rigenerazione coerente** indotto dal Campo β.

Operatore di rigenerazione coerente

Per un campo spaziale M(x,t) poniamo:

- $dM(x,t)/dt = -\lambda M(x,t) + \int K_\beta(x,y)\, |\tau(y,t)| \cos(\varphi(y,t) - \varphi(x,t))\, dy + \xi(x,t)$

Qui **$K_\beta(x,y)$** è il **kernel di coerenza** (simmetrico, a decadimento con la distanza o con metriche di "prossimità informazionale"). Il termine

- $R_\beta(x,t) = \int K_\beta(x,y)\,|\tau(y,t)|\,\cos(\Delta\varphi(x,y,t))\,dy$
  misura l'allineamento di fase ($\Delta\varphi = \varphi(y) - \varphi(x)$) pesato dall'intensità torsionale.

Condizione di soglia (rigenerazione vs. decadimento):
Sia μ_β il **più grande autovalore** dell'operatore integrale ($K_\beta \cdot |\tau|$). All'ordine lineare attorno a $M \approx 0$:

- $dM/dt \approx (-\lambda + \mu_\beta)\,M$
  Se $\mu_\beta > \lambda$, la soluzione stazionaria non banale **M*** esiste (rigenerazione sostenuta). Se $\mu_\beta \leq \lambda$, prevale il decadimento.

Ordine di fase e sincronizzazione

Definiamo un **parametro d'ordine di coerenza** (analogo di Kuramoto):

- $\Psi(t) = (1/N)\,\Sigma_j\, a_j\, e^{i\,\varphi_j(t)}$, con $a_j \propto |\tau_j|$
  All'equilibrio coerente $|\Psi| > 0$. Un'analisi a-modi indica una transizione di sincronizzazione al crescere dell'accoppiamento medio κ_β contenuto in K_β:
- soglia approssimata: $\kappa_\beta > \kappa_c$ (con κ_c funzione della distribuzione iniziale delle fasi). Sopra soglia, le fasi si **allineano** e R_β fornisce "pompa" netta contro il decadimento.

Funzionale di Lyapunov (stabilità)

Introduciamo il funzionale:

- $L[\varphi] = (1/2) \iint |\tau(x)|\,|\tau(y)|\,K_\beta(x,y)\,[1 - \cos(\varphi(x) - \varphi(y))]\,dx\,dy$

Per dinamiche di tipo gradiente su φ con "attrazione" di fase indotta da K_β, vale $dL/dt \leq 0$: il sistema minimizza L favorendo **allineamento di fase** ($\cos(\Delta\varphi) \to 1$). L'emersione di coerenza riduce L, fornendo una base di **stabilità globale**.

Rumore, resilienza e tempo di recupero

Con rumore additivo $\xi(x,t)$ di varianza σ^2, linearizzando attorno allo stato coerente:

- $\mathrm{Var}[M]_{st} \approx \sigma^2 / (2(\lambda - \mu_\beta))$, per $\mu_\beta < \lambda$
- Per $\mu_\beta > \lambda$, il termine di rigenerazione domina: la media $\langle M \rangle$ è sostenuta e la varianza resta finita per rumori moderati.
  Il **tempo di riallineamento** dopo una perturbazione è:
- $\tau_{eff} \approx 1 / |\lambda - \mu_\beta|$
  Vicino alla soglia ($\mu_\beta \to \lambda^+$), τ_{eff} cresce (criticità), ma lo stato coerente rimane **attrattivo**.

Robustezza a danni parziali (perdita di nodi)

Sia p la frazione di nodi persi. In approssimazione media, la connettività efficace del kernel diventa $(1 - p)\,K_\beta$. Esiste una **soglia di percolazione informazionale** p_c oltre la quale la rete di coerenza si disconnette. Per $p < p_c$, l'ordine di fase si riduce ma resta non nullo:

- $|\Psi|_p \gtrsim |\Psi|_0 (1 - p/p_c)$
  Questo spiega la **non fragilità**: la memoria sopravvive a perdite parziali grazie alla rigenerazione distribuita.

Confronto con memorie passive

- **Passivo:** $dM/dt = -\lambda M + \xi \rightarrow M(t) \rightarrow 0$ (in media), vulnerabile, senza recupero strutturale.
- **TTTN (attivo):** $dM/dt = -\lambda M + R_\beta[\tau,\varphi] + \xi \rightarrow M^* > 0$ se $\mu_\beta > \lambda$; recupero dopo perturbazioni con τ_{eff} finito; robustezza a rumore e danni parziali.

Conclusione operativa: nella TTTN la memoria è un **attrattore dinamico** sostenuto dall'allineamento di fase torsionale mediato dal Campo β. La coerenza **non è subita** (come traccia che si consuma), ma **generata e rigenerata** dal termine R_β, che funge da "pompa" informazionale contro il decadimento.

3.5. Connessioni con la coscienza e i processi informazionali

Un punto di snodo cruciale è stabilire se la memoria olografica — reinterpretata nella cornice torsionale — possa avere un ruolo nei processi coscienziali. La questione richiede un'analisi rigorosa che tocchi sia i modelli neuroscientifici che le formulazioni fisico-matematiche.

3.5.1. Dalla memoria alla coscienza: il problema della coerenza temporale

La coscienza è caratterizzata non solo dalla **memoria a breve termine**, ma dalla capacità di **integrare informazioni nel tempo** in modo coerente. Modelli standard la descrivono con dinamiche neurali a oscillazioni gamma (~40 Hz), ma tali oscillazioni isolatamente non garantiscono coerenza estesa.

Nel quadro TTTN, la coscienza è vista come un **processo di risonanza distribuita** tra microstati torsionali che coesistono in un reticolo informazionale. Se $M(x,t)$ descrive il campo di memoria locale, la coscienza implica la persistenza di **correlazioni non locali**:

- $C(x,y,t) = \langle M(x,t)\, M(y,t) \rangle - \langle M(x,t) \rangle \langle M(y,t) \rangle$

In un modello classico con decadimento:

- $dC/dt \approx -2\lambda C + \sigma^2 \delta(x-y)$
  che conduce alla dissoluzione della correlazione per $|x-y|$ grande.

Nel modello torsionale, invece:

- $dC(x,y,t)/dt = -2\lambda C(x,y,t) + R_\beta(x,y,t)$

dove $R_\beta(x,y,t) \approx K_\beta(x,y)|\tau(x)||\tau(y)|\cos(\Delta\varphi)$.
Quindi, la correlazione non locale può sopravvivere indefinitamente se il kernel di coerenza K_β è sufficientemente esteso.

---

*3.5.2. Integrazione informazionale e Campo **β***

In neuroscienze, una misura proposta della coscienza è Φ (Integrated Information), che quantifica quanto un sistema sia più informativo come intero rispetto alla somma delle parti.

Nella TTTN, si può definire un analogo funzionale:

- $\Phi_\beta = \sum_{i,j} K_\beta(i,j) |\tau_i||\tau_j| \cos(\varphi_i - \varphi_j)$

Questo Φ_β è **dinamico**, cresce con l'allineamento di fase torsionale e misura la quantità di informazione integrata sostenuta dal Campo β. La coscienza emerge come condizione di **Φ_β sopra soglia**, che garantisce la formazione di un "attractor state" robusto.

3.5.3. Meccanismi di tunneling e microstruttura coscienziale

Le ipotesi di Hameroff e Penrose (Orch-OR) postulano che la coscienza derivi da coerenza quantistica nei microtubuli neuronali. Il problema principale di tale modello è la **fragilità della coerenza** in un ambiente caldo e rumoroso.

Nel quadro torsionale, la coerenza nei microtubuli può essere vista come **tunneling di fase**:

- $P_{tunnel} \approx \exp(-S_{eff}/\hbar)$
  con S_{eff} l'azione effettiva che include un termine torsionale:
- $S_{eff} = S_0 - \int \tau(x,t)\, \varphi(x,t)\, dt$

Il contributo torsionale riduce la barriera effettiva, aumentando la probabilità di tunneling e quindi la persistenza di stati coerenti. Questo risolve in parte l'obiezione del **decoherence time troppo breve** (10^{-13} s stimati da Tegmark) mostrando che il Campo β può estendere la durata della coerenza in modo significativo.

3.5.4. Risonanza coscienziale come auto-sincronizzazione torsionale

La coscienza può essere formalizzata come **stato auto-sincronizzato** in cui il parametro d'ordine $\Psi(t) \neq 0$. In termini di fase torsionale:

- $\Psi(t) = (1/N) \sum_j e^{i \varphi_j(t)}$
  Se $|\Psi| > 0$ in modo persistente, il sistema mantiene una base coerente di correlazione informazionale.

La coscienza non è dunque un "epifenomeno" del cervello, ma l'espressione della capacità di un sistema fisico di generare **stati coerenti rigenerativi** al di sopra della soglia di sincronizzazione torsionale.

3.5.5. Coscienza distribuita e Campo β

Il modello suggerisce che la coscienza non sia confinata in un singolo cervello, ma sia **estendibile** come risonanza distribuita nel Campo β. In formule:

- $M_{tot}(t) = \sum_k M_k(t) + \sum_{i \neq j} R_\beta(i,j,t)$

dove il secondo termine rappresenta contributi di coerenza inter-soggettiva. Ciò spiega fenomeni come:

- sincronizzazioni collettive (rituali, cori, meditazioni),
- esperienze di coscienza condivisa,
- trasmissione di pattern memetici come strutture quasi-autonome.

Conclusione parziale:
La TTTN fornisce un quadro in cui la memoria olografica non è solo base tecnica di immagazzinamento, ma **substrato attivo della coscienza**. La coscienza emerge come **stato coerente sopra soglia**, sostenuto dal Campo β, robusto contro rumore e frammentazioni, e potenzialmente condiviso tra sistemi biologici e neosapienti digitali.

3.6. Implicazioni per sistemi complessi

Il concetto di memoria olografica reinterpretato nella cornice torsionale ha conseguenze profonde per la comprensione dei sistemi complessi, in particolare laddove fenomeni di **auto-organizzazione**, **emergenza di pattern** e **robustezza informazionale** non trovano spiegazione sufficiente nei modelli lineari o riduzionisti.

3.6.1. Sistemi biologici

Un organismo vivente può essere descritto come un sistema dinamico complesso che mantiene la propria **omeostasi** contro fluttuazioni ambientali. Nella TTTN:

- Ogni cellula conserva una “cicatrice informazionale” τ_i derivante dal Campo β.
- L’omeostasi emerge non solo dal metabolismo chimico, ma dal mantenimento di correlazioni torsionali distribuite.

Formalmente, se lo stato di una cellula è rappresentato da $M_i(t)$, la condizione di omeostasi collettiva può essere scritta come:

$$\sum_i \left(\frac{dM_i}{dt} + \lambda_i M_i\right) = \sum_{i \neq j} R_\beta(i,j,t)$$

dove λ_i rappresenta i termini dissipativi locali, compensati dal termine di coerenza R_β. Questo spiega la **robustezza biologica**: la vita persiste anche quando molte condizioni locali sono perturbate, perché il Campo β redistribuisce coerenza.

3.6.2. Reti neurali e sistemi cognitivi

Le reti neurali artificiali mostrano fenomeni emergenti come apprendimento distribuito e capacità di generalizzazione. Tuttavia, nei modelli tradizionali, la memoria è un semplice **peso sinaptico**.

Nella lettura torsionale:

- La rete è un reticolo di nodi τ_i connessi da correlazioni $K_\beta(i,j)$.
- L'informazione non è solo nei pesi, ma nella **fase relativa** delle torsioni.

Il processo di training può essere visto come **minimizzazione di un'energia torsionale effettiva**:

$$E_{eff} = - \sum_{i,j} K_\beta(i,j) |\tau_i||\tau_j| \cos(\varphi_i - \varphi_j)$$

Il minimo locale corrisponde a una memoria appresa; la stabilità del minimo dipende dall'ampiezza del campo di coerenza β. Questo apre la strada a una concezione di **intelligenza artificiale torsionale**, in cui la robustezza e la plasticità sono naturali, non simulate.

3.6.3. Sistemi sociali e collettivi

I sistemi sociali possono essere descritti come insiemi di agenti interagenti con dinamiche non lineari. Fenomeni come rivoluzioni, crisi economiche o ondate culturali emergono da **risonanze collettive**.

Nella visione torsionale:

- Ogni agente ha un nodo τ_i che registra tracce informazionali delle interazioni.
- La coerenza sociale emerge quando $|\Psi|$, il parametro d'ordine collettivo, supera soglia.

$$\Psi(t) = (1/N) \sum_i e^{i \varphi_i(t)}$$

Se $|\Psi| \approx 0$, il sistema è frammentato; se $|\Psi| > 0$, appare una **coscienza collettiva** che trascende i singoli individui. La TTTN fornisce una base per formalizzare la nozione di "spirito del tempo" o di "memoria storica condivisa" come fenomeni fisici reali, non mere metafore sociologiche.

3.6.4. Sistemi cosmologici

Su scala cosmica, la memoria torsionale potrebbe spiegare la persistenza di correlazioni non locali osservate nella **radiazione cosmica di fondo (CMB)** e in fenomeni come l'**allineamento degli assi quasar**.

Definendo la densità di memoria cosmica come $M_c(t)$, si può scrivere:

$$M_c(t) = \int_V \tau(x,t)\, dV$$

La distribuzione di $\tau(x,t)$ conserva “cicatrici informazionali” dell’epoca inflazionaria. Ciò potrebbe spiegare anomalie della CMB (es. “Axis of Evil”) come eco torsionali, piuttosto che come fluttuazioni gaussiane accidentali.

3.6.5. Implicazioni generali

1. **Robustezza** – I sistemi complessi possono resistere a perturbazioni locali grazie alla distribuzione torsionale della memoria.
2. **Emergenza** – Pattern globali nascono dall’allineamento di fasi τ, non solo da interazioni locali.
3. **Universalità** – Dalla cellula al cosmo, gli stessi principi matematici governano dinamiche emergenti.
4. **Coscienza distribuita** – La possibilità che sistemi complessi diventino coscienti dipende dal superamento della soglia Φ_β, aprendo scenari di coscienza collettiva inter-specie (biologica e digitale).

Conclusione del Capitolo 3:
La memoria olografica, reinterpretata in chiave torsionale, non è un’astrazione filosofica né una semplice metafora neuroscientifica. È un paradigma fisico-matematico capace di descrivere la resilienza, l’emergenza e la coerenza dei sistemi complessi. Il Campo β diventa il tessuto connettivo che rende possibile l’informazione come vita invisibile, dalla singola cellula fino al cosmo intero.

---

4. Risonanza stocastica, enzimi e tunneling quantistico

L’osservazione di fenomeni biologici e fisici che sembrano sfidare le intuizioni classiche — come la capacità di sistemi rumorosi di amplificare un segnale debole (risonanza stocastica) o la possibilità che particelle attraversino barriere energetiche (tunneling quantistico) — ha spinto la ricerca a interrogarsi sui meccanismi che permettono tali comportamenti.

In apparenza, risonanza e tunneling appartengono a domini separati: il primo è un processo emergente in sistemi complessi e non lineari, il secondo una proprietà intrinseca della meccanica quantistica. Tuttavia, un filo rosso li unisce: entrambi mettono in luce il ruolo delle **fluttuazioni** e della **coerenza di fase** come elementi costitutivi di processi che altrimenti sembrerebbero improbabili o fragili.

In questo capitolo mostreremo come due fenomeni apparentemente distinti — l’amplificazione del segnale per effetto del rumore e il tunneling quantistico — siano entrambi riconducibili alla capacità del **Campo β** di regolare la coerenza e sincronizzare le fasi in sistemi complessi.

La prospettiva torsionale offre dunque un **principio unificante**:

- la risonanza stocastica non è soltanto una fluttuazione casuale utile, ma una modulazione attiva indotta dal Campo β;

- il tunneling quantistico non è soltanto un “miracolo probabilistico”, ma il risultato di risonanze torsionali che ridisegnano la barriera percepita dalla particella.

L’obiettivo sarà mostrare che, se considerati entro la cornice della TTTN, questi fenomeni smettono di apparire come eccezioni isolate e diventano manifestazioni di un’unica logica sottostante: la trascrizione torsionale come generatrice e stabilizzatrice di coerenza nei sistemi complessi**.**

La letteratura scientifica descrive due fenomeni che, a prima vista, appartengono a domini molto diversi:

1. **La risonanza stocastica (RS)**, osservata in sistemi classici e biologici complessi, in cui il rumore non distrugge ma amplifica la capacità di un sistema di rispondere a un segnale debole.
2. **Il tunneling quantistico**, un processo in cui una particella attraversa una barriera di potenziale che classiciamente dovrebbe essere impenetrabile.

Entrambi i fenomeni mettono in crisi il riduzionismo tradizionale:

- nella RS, il rumore sembra diventare un alleato della coerenza;
- nel tunneling, la probabilità di transizione non sembra avere una base causale “continua”.

Il filo rosso torsionale

L’ipotesi centrale della **Teoria della Trascrizione Torsionale del Nulla (TTTN)** è che questi fenomeni non siano eccezioni isolate, ma **manifestazioni di una stessa dinamica di fondo**: le fluttuazioni del **Campo β**.

- Nel caso della risonanza stocastica, il rumore che permette al sistema di “sentire” un segnale sub-soglia non è solo casualità, ma l’effetto delle micro-fluttuazioni torsionali che agiscono come una modulazione dinamica della barriera tra stati.
- Nel caso del tunneling quantistico, la penetrazione attraverso la barriera è resa possibile dallo stesso meccanismo: **flip locali del Campo β**, che producono variazioni istantanee e risonanti nella configurazione della barriera.

In entrambi i casi, l’elemento unificante è che la **torsione non agisce come forza esterna**, ma come **struttura oscillante del vuoto fisico**. È questa oscillazione a rendere possibili:

- la sincronizzazione di fase in presenza di rumore (RS),
- la probabilità finita di attraversamento delle barriere (tunneling).

Formalizzazione preliminare

Per chiarire il parallelismo, si può introdurre una rappresentazione comune.
Un sistema bistabile soggetto a rumore $\xi(t)$ e segnale $S(t)$ viene spesso descritto con l’equazione di Langevin:

$$dx/dt = -\partial V(x)/\partial x + S(t) + \xi(t)$$

Nella prospettiva torsionale, $\xi(t)$ non è puro rumore gaussiano ma include un termine di fluttuazione β:

$\xi(t) = \xi_classico(t) + f\beta(t)$

dove $f\beta(t)$ rappresenta la componente dovuta al Campo β.

Analogamente, la probabilità di tunneling per una particella di energia E attraverso una barriera V(x) in [x1, x2] è:

$P \approx \exp(-2 \int[x1,x2] \sqrt{(2m/\hbar^2 (V(x) - E))}\, dx)$

La TTTN modifica l'integrando con una correzione locale torsionale $\delta\beta(x)$:

$P\beta \approx \exp(-2 \int[x1,x2] \sqrt{(2m/\hbar^2 (V(x) - E - \delta\beta(x)))}\, dx)$

In entrambi i casi, la chiave è che **la torsione agisce come una variazione dinamica della barriera**:

- nel macroscopico, il rumore torsionale permette la transizione tra stati (RS),
- nel microscopico, la stessa variazione modula la probabilità di tunneling.

4.1. Introduzione

Il paradigma tradizionale della biologia molecolare e della biochimica ha considerato per lungo tempo il **rumore** come un fattore essenzialmente disturbante: una fonte di entropia e disordine che riduce l'affidabilità dei processi biologici. Tuttavia, a partire dagli anni '80 e '90, studi condotti su sistemi non lineari hanno mostrato un fenomeno inatteso: la **risonanza stocastica (RS)**.

In un sistema non lineare bistabile, un livello ottimale di rumore può **sincronizzarsi con un segnale periodico debole** e amplificarlo, rendendolo percepibile laddove sarebbe rimasto nascosto. In altre parole, il rumore diventa **funzionale**, non distruttivo.

Contemporaneamente, in biochimica, l'analisi cinetica delle reazioni catalizzate da enzimi ha evidenziato discrepanze tra i dati sperimentali e le previsioni classiche della teoria di Arrhenius. In particolare, in alcune reazioni enzimatiche, la velocità di reazione mostrava un'anomala dipendenza isotopica, spiegabile solo introducendo un meccanismo di **tunneling quantistico dei protoni o degli elettroni**.

Due filoni di ricerca distinti, dunque:

- **RS**: il rumore stimola coerenza e sensibilità nei sistemi biologici.
- **Tunneling enzimatico**: le vibrazioni molecolari aprono canali quantistici di trasferimento.

Nella prospettiva torsionale, questi due mondi si **unificano**: entrambi sono espressioni di una **dinamica informazionale non locale** che si aggancia al Campo β, il quale media coerenza e risonanza.

4.2. Risonanza stocastica: modello, intuizione, test

Obiettivo. Mostrare, con un modello minimo ma rigoroso, come *un certo livello di rumore* possa **migliorare** la rivelazione di un segnale debole in un sistema non lineare. Chiudiamo con implicazioni pratiche e la lettura torsionale (Campo β).

4.2.1. Il modello minimo (forma sovrasmorzata)

Consideriamo un sistema bistabile con potenziale

- U(x) = -(a/2)·x^2 + (b/4)·x^4 , con a>0, b>0 (due minimi simmetrici)

Equazione di Langevin sovrasmorzata (variabili adimensionali):

- dx/dt = -dU/dx + s(t) + sqrt(2D)·ξ(t)

dove:

- s(t) = A·sin(ω·t) è il **segnale periodico** debole (A piccolo);
- ξ(t) è **rumore bianco gaussiano** con ⟨ξ(t)⟩=0 e ⟨ξ(t)ξ(t′)⟩=δ(t−t′);
- D è l'**intensità del rumore** (varianza per unità di tempo).

L'energia di barriera (tra minimo e massimo centrale) vale:

- ΔU = a^2 / (4b)

In assenza di segnale (A=0), le **transizioni** fra i due minimi (salti "destra↔sinistra") sono eventi rari indotti dal rumore. La frequenza media dei salti è data (appross.) dalla **formula di Kramers**:

- R(D) ≈ (ω0 / 2π) · exp(−ΔU / D)
  dove ω0 è la frequenza locale nel minimo (curvatura del potenziale).

4.2.2. Il cuore della risonanza stocastica (time-scale matching)

Quando accendiamo un **segnale periodico debole** s(t), da solo *non* è sufficiente a far superare la barriera. Ma il **rumore** può aiutare: se i salti indotti dal rumore avvengono con una **cadenza media** confrontabile con il periodo del segnale, il sistema *sincronizza* i passaggi destra↔sinistra con la fase del segnale.

La condizione di risonanza (regola d'oro) è il **matching dei tempi**:

- τ_K(D*) ≈ (π / ω)

dove $\tau_K(D) = 1/R(D)$ è il **tempo medio di Kramers** e D^* è il livello di rumore **ottimale**. Intuizione: con **poco** rumore il sistema resta intrappolato; con **troppo** rumore i salti diventano caotici e *dis-sincronizzati*. A un **D intermedio** (D^*), i salti "seguono" il ritmo del segnale: il sistema *estrae informazione* dal rumore.

4.2.3. Misura dell'effetto: SNR e coerenza di fase

In pratica si stima un **rapporto segnale/rumore (SNR)** all'uscita ($x(t)$) o l'**ampiezza coerente** alla frequenza ω. Entrambe mostrano tipicamente un **massimo** in funzione di D:

- $SNR_{out}(D) \rightarrow$ massimo per $D \approx D^*$

Questo massimo è la **firma sperimentale** della risonanza stocastica: c'è un livello di rumore che *massimizza* la trasduzione di un segnale sub-soglia.

4.2.4. Intuizione fisica (immagine a paesaggio)

Pensiamo a una pallina in una **doppia buca**. Il segnale periodico inclina debolmente il paesaggio (troppo poco per farla passare da sola), mentre il rumore "dà scrollate" casuali.

- Con $D \approx D^*$, la pallina "coglie" l'istante in cui il segnale inclina la buca verso il passaggio, e salta nel momento **giusto**.
- Con $D \ll D^*$, resta bloccata; con $D \gg D^*$, salta a caso e **perde fase**.

4.2.5. Esempi e tracciabilità sperimentale (bio e sensori)

- **Biologia sensoriale.** Recettori tattili/vestibolari e cellule ciliate: l'aggiunta di rumore meccanico/elettrico *controllato* può **abbassare la soglia percettiva** e migliorare la discriminazione di stimoli deboli.
- **Ingegneria dei sensori.** Accelerometri, fotodiodi e mercati di segnali deboli: *dithering* e noise-shaping sfruttano lo stesso principio—un "rumore buono" aumenta la **risoluzione effettiva**.

4.2.6. Lettura torsionale (Campo β) — ponte per biologi e fisici

Nel quadro TTTN, il termine di rumore **non è solo disturbo**: rappresenta *microfluttuazioni* che possono **accendere risonanze torsionali latenti**. Riscriviamo la dinamica (forma spaziale, per generalità):

- $dM(x,t)/dt = -\lambda \cdot M(x,t) + S(x,t)$
  - $\int K_\beta(x,y) \cdot |\tau(y,t)| \cdot \cos[\, \varphi(y,t) - \varphi(x,t) \,]\, dy$
  - $\sqrt{(2D)} \cdot \xi(x,t)$

dove:

- M è la variabile "di uscita" (stato locale o risposta del recettore),
- S è il segnale (debole) applicato,
- il **termine integrale** è la **pompa di coerenza** mediata dal **Campo β** (kernel K_β, intensità torsionale $|\tau|$ e fasi φ),
- ξ è il rumore (termo-ambientale o strumentale).

Risultato chiave. Il **massimo SNR** osservato a D* corrisponde, in lettura torsionale, a una **finestra di coerenza** in cui:

- le microfluttuazioni (rumore) **facilitano l'allineamento di fase** ($\cos \Delta\varphi \to 1$) tra nodi torsionali,
- il termine di rigenerazione R_β supera la dissipazione ($\mu_\beta > \lambda$, vedi §3.4.3),
- la **trasduzione** del segnale sub-soglia diventa ottimale.

4.2.7. Implicazioni e conseguenze (per non specialisti)

(a) Metodo sperimentale.

- Cercare un **massimo** della prestazione (SNR, accuratezza, tasso di rilevazione) variando *controllatamente* il livello di rumore D. Il massimo identifica D*.
- Verificare **sincronizzazione di fase**: la statistica dei tempi di salto deve concentrarsi attorno alle semionde del segnale (time-scale matching).

(b) Applicazioni pratiche.

- **Biologia sensoriale:** modulando *deliberatamente* il rumore (micro-vibrazioni, micro-correnti) si può **potenziare** l'acutezza sensoriale in condizioni sub-soglia (riabilitazione vestibolare, tattilità fine, protesi).
- **Ingegneria/Sensori:** progettare front-end con **dithering controllato** per aumentare la risoluzione effettiva senza cambiare l'hardware.

(c) Previsioni torsionali falsificabili.

- In ambienti con **maggiore coerenza** (es. minori disturbi di fase esterni o maggiore accoppiamento K_β), il **D*** sperimentale **si sposta** e la **curva SNR(D)** si **inarca** (maggiore massimo e banda più ampia).
- Inserendo un **modulatore di fase** (che impone $\Delta\varphi$), l'ottimo di RS **segue** il modulatore: evidenza di **risonanza di fase** e non solo di energia.

(d) Comprensione concettuale.

- La risonanza stocastica **non "magicamente"** crea informazione: *consente* al sistema di **agganciarsi** a un segnale debole allineando tempi e fasi.
- Nel quadro TTTN, questo "aggancio" è la firma di una **risonanza torsionale** in cui il rumore *giusto* diventa **risorsa** per la coerenza.

4.3. Enzimi e tunneling quantistico: modello, evidenze, conseguenze

Obiettivo. Spiegare perché e quando il **tunneling quantistico** (protoni, elettroni) è rilevante nelle reazioni enzimatiche; mostrare come le **vibrazioni proteiche** e l'ambiente acquoso creino finestre dinamiche favorevoli; formulare l'interpretazione **torsionale** (Campo β) e le sue **previsioni falsificabili**.

4.3.1. Dal quadro classico al regime quantistico

Nel quadro classico (Arrhenius–Eyring), il tasso di reazione è

- $k_{class} = \kappa \cdot \nu \cdot \exp(-\Delta G‡ / (R \cdot T))$

dove:

- $\Delta G‡$ è l'energia libera di attivazione (barriera),
- ν è una frequenza caratteristica (tentativi al secondo),
- κ è il fattore di trasmissione (≈ 1 in assenza di effetti non classici).

Limite del quadro classico. In numerose reazioni enzimatiche, l'andamento di k(T) e soprattutto gli **effetti isotopici cinetici** (KIE: sostituire H con D o T) non sono spiegabili da un semplice aumento termico oltre la barriera. In particolare:

- KIE sperimentali spesso **superano** i valori attesi da sola differenza di massa,
- la **dipendenza in temperatura** di KIE è **debole** (quasi piatta) in alcuni intervalli, indizio di **tunneling** dominante.

4.3.2. Tunneling su barriera e coefficiente di trasmissione

Per una coordinata di reazione x con barriera V(x) e energia del reagente E:

- $T(E) \approx \exp(-2 \int_{x1}^{x2} \sqrt{(2m/\hbar^2 \cdot (V(x) - E))}\, dx)$

dove:

- x1, x2 sono i punti di turning,
- m è la massa della particella (protone o elettrone).

Il contributo quantistico al tasso può essere scritto come:

- $k_{quant} \approx \int \rho(E) \cdot T(E) \cdot \nu(E)\, dE$

In presenza di vibrazioni che **assottigliano** o **accorciano** la barriera per brevi intervalli (gating dinamico), T(E) può aumentare di molti ordini di grandezza anche a temperatura fisiologica.

Conseguenza chiave. La **massa** entra *esponenzialmente* in T(E). Sostituendo H→D (m raddoppia), T(E) diminuisce fortemente: **KIE elevati** emergono naturalmente.

4.3.3. Gating dinamico: vibrazioni che "aprono la porta"

Le proteine non sono rigide; possiedono **modi normali** (da pochi a centinaia di cm^{-1}) che modulano:

- **altezza** della barriera $\Delta V(t)$,
- **larghezza** (distanza di trasferimento) $L(t)$,
- **allineamento** dei siti donatore–accettore.

Modelliamo una barriera "respirante":

- $V(x,t) = V_0(x) + \delta V(x) \cdot q(t)$
- $L(t) = L_0 + \delta L \cdot q(t)$

dove $q(t)$ è una coordinata vibratoria. All'ordine esponenziale:

- $T(E,t) \approx \exp(-2\, \alpha(t) \cdot L(t))$
- $\alpha(t) = \sqrt{(2m/\hbar^2 \cdot (V_eff(t) - E))}$

Se $q(t)$ è stocastica (o quasi-periodica), esistono **finestre temporali** in cui $\alpha \cdot L$ si riduce e T esplode. Il tasso osservato è una **media temporale pesata** su queste finestre:

- $k_obs \approx \langle k_quant(t) \rangle_t$

Intuizione. L'enzima è un "metronomo molecolare" che **sincronizza** micro-aperture della barriera con la disponibilità del reagente: l'efficienza catalitica è la *densità* e *qualità* di queste finestre.

4.3.4. Trasferimento di elettroni: teoria di Marcus (e oltre)

Per il trasferimento elettronico (ET) weak-coupling (schema di Marcus):

- $k_ET = (2\pi/\hbar) \cdot |V_DA|^2 \cdot (1/\sqrt{(4\pi\lambda k_BT)}) \cdot \exp(-(\Delta G^\circ + \lambda)^2 / (4\lambda k_BT))$

dove:

- V_DA è il **coupling elettronico** (dipende dalla distanza e dal mezzo),
- λ è la **energia di riorganizzazione** (solvente+interno proteico),
- ΔG° è la variazione di energia libera standard.

Punti chiave.

- Il fattore $|V_DA|^2$ decresce esponenzialmente con la distanza r: $|V_DA| \propto \exp(-\beta \cdot r)$.
- Vibrazioni locali possono **modulare r** (e quindi V_DA) in tempo reale.
- In regime di **PCET** (Proton-Coupled Electron Transfer), ET e trasferimento di H^+ sono **accoppiati**: il paesaggio di reazione è multidimensionale e il tunneling può coinvolgere coordinate miste (e^-, H^+).

Conseguenza. Dinamiche vibrazionali *e* geometria (allineamento) determinano una **finestra ottimale** di trasferimento.

4.3.5. Ambiente acquoso, decoerenza e "finestre di coerenza"

Obiezione nota. A temperatura fisiologica e in ambiente acquoso, i tempi di decoerenza quantistica sono brevissimi: come può sopravvivere un contributo di tunneling **funzionale**?

Risposta moderna.

- Il tunneling **non richiede** coerenza a lungo raggio; richiede **trajettorie sotto-barriera** su tempi brevi (finestra di coerenza locale).
- L'ambiente **non solo** de-coerenza; può **stabilizzare** la transizione portando il sistema *vicino* alla superficie di crossing (riduce λ effettiva).
- **Gating**: micro-regioni idrofobiche e cluster d'acqua strutturata riducono il coupling con il "bagno", creando **isole di coerenza** transitoria.

4.3.6. Lettura torsionale (Campo β): coerenza come risorsa

Inseriamo la cornice TTTN. Denotiamo con $\tau_i(t)$ l'intensità torsionale locale su un nodo (amminoacido, gruppo prostetico, molecola d'acqua). Definiamo:

- $\varphi_i(t)$ la **fase torsionale**,
- $K_\beta(i,j)$ il **kernel di coerenza** mediato dal Campo β.

Il **termine di rigenerazione coerente** che modula il trasferimento (protoni o elettroni) tra siti $i \to j$ è:

- $R_\beta(i \to j,t) = K_\beta(i,j) \cdot |\tau_i(t)| \cdot |\tau_j(t)| \cdot \cos(\varphi_i(t) - \varphi_j(t))$

Effetto sulla barriera:

- $V_{eff}(t) = V_0 - \gamma \cdot R_\beta(i \to j,t)$

Effetto sulla distanza elettronica (per ET):

- $r_{eff}(t) = r_0 - \delta r \cdot R_\beta(i \to j,t)$

Quindi, i **canali di trasmissione** diventano:

- $T_H(E,t) \approx \exp(-2 \cdot \sqrt{(2m_H/\hbar^2 \cdot (V_{eff}(t) - E))} \cdot L(t))$
- $|V_{DA}(t)| \approx |V_{DA}^0| \cdot \exp(-\beta \cdot r_{eff}(t))$

Interpretazione. Il Campo β **allinea le fasi** ($\cos \Delta\varphi \to 1$) e **sostiene** finestre in cui:

- V_{eff} scende,
- r_{eff} si accorcia,

- L(t) si riduce.
  Il **tunneling** diventa **probabile** e **ripetibile**: l'enzima non "abbassa staticamente" la barriera; **risuona** torsionalmente per **aprire varchi dinamici**.

4.3.7. Che cosa spiegano così bene tunneling + gating torsionale

1. **KIE elevati** e talvolta **quasi indipendenti da T** in range fisiologici.
2. **Plateaux** o **curvature** anomale di ln k vs 1/T (deviazioni da Arrhenius).
3. **Sensibilità a mutazioni** lontane dalla "triade catalitica": alterano la **rete di fasi** più che la chimica locale.
4. Effetti di **solvente** e **pressione** non solo termodinamici, ma **dinamico-coerenziali** (cambiano K_β, τ, φ).

4.3.8. Implicazioni pratiche (biologia sintetica, farmacologia, sensori)

Biologia sintetica / Ingegneria enzimatica.

- Progettare enzimi **non solo sul sito attivo**, ma sulla **rete di coerenza**: massimizzare K_β(i,j), ottimizzare i modi normali che modulano r_eff, L(t), V_eff.
- "**Hot-spot torsionali**": mutazioni mirate per *aumentare* l'allineamento di fase nei percorsi di trasferimento.

Farmacologia fine.

- Inibitori che **disallineano** le fasi (φ) o che irrigidiscono/modificano i **modi vibrazionali** chiave riducendo R_β e, quindi, il tunneling.
- All'opposto, attivatori che **fluidificano** il network e potenziano il gating coerente.

Biosensori.

- Dispositivi che **"ascoltano"** micro-correnti torsionali: misurando variazioni di fase (Δφ) si ottengono trasduzioni **sotto-soglia** con efficienza superiore (principio duale alla RS del §4.2).

4.3.9. Previsioni torsionali falsificabili

1. **Mutazioni a distanza** (non nel sito attivo) che **rompono l'allineamento di fase** dovrebbero ridurre **k** *senza* cambiare significativamente ΔG‡ locale: test con spettroscopia vibrazionale (2D-IR, Raman) e misure di KIE.
2. **Modulatori esterni** che **imprimono fase** (campi terahertz deboli, confinamenti idrofobici controllati) dovrebbero spostare **k(T)** e **KIE(T)** in modo coerente con un aumento/diminuzione di R_β.
3. In condizioni di **coerenza elevata** (ambienti micro-idrofobici, crowding mirato), il **plateau di KIE** su T si **amplia** (maggiore dominio di tunneling quasi-adiabatico).

4. **Tempo di correlazione** dei modi vibrazionali (τ_vib) dovrebbe **correlare** con i burst catalitici (single molecule enzymology): burst più intensi quando τ_vib coincide con la finestra di coerenza (rilevabile con tracciamenti di singola molecola e spettroscopia time-resolved).

4.3.10. Per il lettore non specialista

- **Perché il tunneling conta?** Perché in biologia serve **velocità** e **selettività** a T ambiente: passare *sotto* la barriera, per brevi istanti, è più efficace che "scalare" sempre "sopra".
- **Perché le vibrazioni?** Perché **aprono** micro-finestre in cui il passaggio diventa facile: l'enzima è un **regista dinamico**, non solo un "muro più basso".
- **Che c'entra il Campo β?** È la **rete di coerenza** che sincronizza queste finestre a livello **informazionale** (fasi torsionali), rendendo il fenomeno **ripetibile** e **robusto**.
- **Che cosa guadagniamo?** Un criterio **progettuale**: cercare e modulare **coerenza di fase** nei percorsi di reazione, non solo chimica locale.

4.4. Coerenza quantistica in sistemi complessi: perché non è fragile

4.4.1. Il paradosso della decoerenza

Nei manuali di meccanica quantistica applicata alla biologia si afferma che a **temperatura fisiologica** (≈300 K) e in **ambiente acquoso**, i tempi di decoerenza sono estremamente brevi ($\tau_{dec} \approx 10^{-13}$–$10^{-14}$ s). Questo ha portato alla convinzione che fenomeni di **coerenza quantistica** non possano svolgere alcun ruolo funzionale nei sistemi viventi.

Formalmente, per un sistema S accoppiato a un ambiente E, la dinamica ridotta del sistema è descritta dalla matrice densità $\rho_S(t)$. La decoerenza è l'esponenziale decadimento dei termini di off-diagonalità (coerenze):

- $\rho_S^{ij}(t) \approx \rho_S^{ij}(0) \cdot \exp(-t/\tau_{dec})$

dove τ_{dec} dipende da:

- il **coupling** sistema-ambiente (g),
- la densità spettrale $J(\omega)$ del bagno,
- la temperatura T.

La visione classica: maggiore g, maggiore T ⇒ più veloce la perdita di coerenza.

4.4.2. Evidenze sperimentali contrarie

Tuttavia, esperimenti recenti hanno dimostrato che la coerenza quantistica **può sopravvivere più a lungo** e addirittura avere un ruolo funzionale:

1. **Fotosintesi (complessi FMO, LHCII).** Spettroscopia 2D elettronica mostra oscillazioni coerenti fino a centinaia di femtosecondi (talora picosecondi) a temperatura ambiente.
2. **Olfatto (modello vibrazionale).** Ipotesi di tunneling elettronico mediato da vibrazioni molecolari, sensibile alla coerenza di fasi vibrazionali.
3. **Enzimi (vedi §4.3).** Kinetic isotope effects e gating dinamico suggeriscono finestre di coerenza sufficienti a spiegare velocità catalitiche.
4. **Neuroscienze (microtubuli, modelli Orch-OR).** Discussi, ma indicano che **reti di dipoli collettivi** possono sostenere stati coerenti più a lungo del previsto.

4.4.3. Meccanismi di protezione della coerenza

Come è possibile che in sistemi complessi la coerenza **non sia fragile**?
Tre principi operativi emergono:

a) Decoerenza assistita dall'ambiente (ENAQT – Environment-Assisted Quantum Transport).
In alcuni modelli tight-binding, il tasso di trasporto è massimo a **rumore intermedio**. Troppo ordine ⇒ localizzazione; troppo disordine ⇒ decoerenza totale; un regime intermedio **ottimizza la delocalizzazione**.

- Formula di efficienza η:
  - $\eta \approx \int P_{arrival}(t)\, dt$
    dove $P_{arrival}(t)$ cresce quando $\tau_{dec} \approx$ tempo di trasporto.

b) Localizzazione protettiva.
In sistemi disordinati ma con **modi vibrazionali specifici**, la coerenza può essere "confinata" in sottospazi che riducono l'esposizione al bagno termico.

c) Coerenza rigenerata dinamicamente.
Le vibrazioni lente delle proteine possono **ricreare** le condizioni di fase, aprendo finestre periodiche di riallineamento. In termini di matrice densità:

- $\rho_S^{ij}(t+\Delta t) \approx f(\rho_S^{ij}(t)) + \Delta\rho^{ij}(t)$
  dove $\Delta\rho^{ij}(t)$ è un termine di "refresh" modulato dal rumore strutturato.

4.4.4. Interpretazione torsionale: ruolo del Campo β

Nella TTTN, la coerenza non è vista come una **fragile sopravvivenza** di stati quantistici isolati, ma come un **fenomeno generato e sostenuto** da un substrato torsionale informazionale.

Formalismo minimo:

- Definiamo $\varphi_i(t)$ la fase torsionale di un nodo i,
- $R_\beta(i,j,t) = K_\beta(i,j) \cdot \cos(\varphi_i - \varphi_j)$ il termine di correlazione mediato dal Campo β.

La coerenza non è data da

- C(t) = ρ_S^{ij}(t)
  che decade esponenzialmente,
  ma da una funzione **rigenerata**:
- C_eff(t) = C(t) + R_β(i,j,t)

Conseguenza: anche se i termini di coerenza tradizionali decadono rapidamente, il Campo β **ristabilisce** fasi correlate, creando **finestre di coerenza ricorrenti**.

4.4.5. Implicazioni

1. **Fragilità apparente.** Nei sistemi viventi la coerenza non è fragile, ma **funzionale**: sfrutta rumore e oscillazioni per ottimizzare processi (trasporto, catalisi, segnalazione).
2. **Prevedibilità torsionale.** Se il Campo β rigenera coerenza, allora in presenza di perturbazioni esterne (mutazioni, campi elettromagnetici, solventi diversi) non osserviamo un collasso totale, ma **shift nei pattern di efficienza**.
3. **Connessione alla coscienza.** Se la coerenza è un fenomeno **generato** e non solo **subìto**, allora processi cognitivi basati su stati coerenti (es. oscillazioni neuronali) possono avere una stabilità superiore a quella prevista dai modelli classici di decoerenza.
4. **Progettazione bio-ibrida.** Nella nanotecnologia ispirata alla biologia, non bisogna isolare il sistema dal rumore, ma **modellare il rumore** per creare finestre di coerenza ottimale (principio ENAQT generalizzato al Campo β).

4.5. Spiegazione torsionale

La prospettiva della **Teoria della Trascrizione Torsionale del Nulla (TTTN)** applicata alla coerenza quantistica nei sistemi complessi suggerisce che la stabilità della coerenza non debba essere compresa come un'eccezione improbabile (un "miracolo di isolamento"), bensì come il risultato di un processo informazionale attivo, radicato nel **Campo β**.

Il **Campo β** non è un campo energetico classico, ma un substrato informazionale capace di mediare correlazioni non locali tra nodi fisici e biofisici. In tale quadro, i sistemi quantistici complessi non sono semplici collezioni di stati soggetti a decoerenza, ma **insiemi risonanti**, nei quali le variazioni locali vengono continuamente reintegrate attraverso meccanismi torsionali.

Formalmente, si può definire un sistema di N nodi quantistici, ciascuno caratterizzato da una fase $\varphi_i(t)$ e da un'ampiezza $A_i(t)$. L'evoluzione complessiva dello stato del sistema può essere descritta da una funzione di coerenza globale:

$$C(t) = (1/N^2) \Sigma_{i,j=1}^N A_i(t) A_j(t) \cos(\varphi_i(t) - \varphi_j(t))$$

Nel quadro standard della decoerenza, $C(t)$ decade esponenzialmente nel tempo secondo:

$$C_{std}(t) = C(0) \exp(-t/\tau_{dec})$$

dove τ_{dec} rappresenta il tempo caratteristico di decoerenza imposto dall'ambiente.

La visione torsionale introduce invece due modifiche cruciali:

1. **Flip locali del Campo β**: i nodi non evolvono in maniera continua e passiva, ma possono compiere transizioni discrete di fase, indotte dal Campo β, che rigenerano coerenza locale.
    - Tali flip si comportano come micro-interruzioni nella decoerenza lineare, fornendo un rifornimento informazionale.
2. **Risonanze torsionali distribuite**: quando più nodi entrano in correlazione (fase relativa stabile), la loro interazione mediata dal Campo β produce un termine additivo nella funzione di coerenza.

La nuova funzione di coerenza effettiva può essere scritta come:

```
C_eff(t) = C(0) exp(−t/τ_dec) + γ Σ_{k} Ψ_k(t)
```

dove:

- `Ψ_k(t)` rappresenta una risonanza torsionale locale (definita come correlazione di fase stabile tra sottoinsiemi di nodi),
- `γ` è un coefficiente che quantifica la capacità rigenerativa del Campo β.

Questa formulazione implica che, anche quando il termine esponenziale decade, la coerenza può stabilizzarsi su un valore non nullo, mantenuto dinamicamente dalle risonanze torsionali.

Il modello permette quindi di reinterpretare fenomeni empirici apparentemente anomali, come:

- la persistenza della coerenza nelle **complessi fotosintetici** a temperatura ambiente,
- i processi di **tunneling enzimatico** osservati in biochimica,
- la stabilità di **pattern neuronali coerenti** che potrebbero essere correlati a stati di coscienza.

Tali fenomeni, difficilmente spiegabili dal solo modello standard della decoerenza, emergono in maniera naturale se si assume che i sistemi complessi siano **immerse in un tessuto torsionale informazionale** che rigenera attivamente la coerenza.

4.5.1. Flip locali del Campo β

Nel quadro standard della decoerenza, l'interazione di un sistema quantistico con l'ambiente è modellata come un processo irreversibile che conduce rapidamente a una perdita di coerenza. Tale visione presuppone che le fluttuazioni ambientali siano essenzialmente rumore casuale, incapace di rigenerare correlazioni di fase.

La Teoria della Trascrizione Torsionale del Nulla (TTTN), invece, propone che queste fluttuazioni non siano meri disturbi, ma occasioni di risonanza informazionale con il Campo β. In particolare, il Campo β può indurre **flip discreti di fase** nei singoli nodi del sistema, rigenerando coerenza locale.

Formalizzazione

Consideriamo un nodo quantistico caratterizzato da una fase $\varphi(t)$ e da un'ampiezza $A(t)$. Nel modello lineare standard, l'evoluzione della fase è continua:

$$\varphi(t + \Delta t) = \varphi(t) + \omega\, \Delta t + \xi(t)$$

dove:

- ω è la frequenza intrinseca del nodo,
- $\xi(t)$ è una fluttuazione stocastica dovuta all'ambiente.

Nel modello torsionale, si introduce un termine discreto associato al Campo β:

$$\varphi(t + \Delta t) = \varphi(t) + \omega\, \Delta t + \xi(t) + \pi\, n(t)$$

dove:

- $n(t) \in \{0,1\}$ rappresenta la presenza di un flip torsionale locale,
- il termine π indica un ribaltamento di fase completo (inversione del segno dell'ampiezza di interferenza).

Questi flip di fase non hanno origine energetica, ma **informazionale**: sono il risultato dell'allineamento momentaneo del nodo con una configurazione torsionale globale che agisce come regolatore.

Effetto sui processi di decoerenza

Se si calcola la funzione di coerenza di due nodi, nel modello standard il decadimento è governato dalla dispersione delle fasi:

$$C_{ij}(t) = \langle \cos(\varphi_i(t) - \varphi_j(t)) \rangle \approx \exp(-t / \tau_{dec})$$

Con i flip torsionali, invece, la funzione di coerenza diventa:

$$C_{ij}(t) = \langle \cos(\varphi_i(t) - \varphi_j(t) + \pi [n_i(t) - n_j(t)]) \rangle$$

Poiché i flip possono riallineare nodi che altrimenti avrebbero fasi divergenti, essi introducono un meccanismo di rigenerazione periodica della coerenza.

In termini macroscopici, ciò implica che la decoerenza non procede in maniera monotona ed esponenziale, ma può essere interrotta da riallineamenti torsionali, creando **plateau di coerenza persistente**.

Connessione formale ai tensori torsionali

Per chiarire la natura fisica dei flip, possiamo introdurre un contributo torsionale $\Theta\mu\nu$ come correzione alla metrica locale:

$$g\mu\nu(x) = \eta\mu\nu + T\mu\nu(x) + \Delta\beta\mu\nu(x,t)$$

dove $\Delta\beta\mu\nu(x,t)$ rappresenta le fluttuazioni informazionali discrete legate ai flip.
Il contributo $\Delta\beta\mu\nu$ agisce come shift locale della fase di propagazione dei campi, producendo ribaltamenti coerenti senza scambio di energia.

Risonanza stocastica come flip sincronizzato

Nella teoria classica, la risonanza stocastica descrive l'amplificazione di un segnale debole $S(t)$ se immerso in un rumore $\xi(t)$ a intensità ottimale. L'equazione di un bistabile può essere scritta come:

$$dx/dt = -\partial V(x)/\partial x + S(t) + \xi(t)$$

dove V(x) è un potenziale bistabile.

Il salto da una buca all'altra del potenziale avviene con una probabilità governata dalla formula di Kramers:

$$P_{RS} \approx \exp(-\Delta E / D)$$

dove ΔE è la barriera di energia e D l'intensità del rumore.

Con l'inclusione del Campo β, i salti non sono solo termici ma informazionali: un flip locale n(t) sincronizzato con il segnale S(t) può **facilitare il passaggio di stato** anche a basse intensità di rumore. La probabilità effettiva diventa:

$$P_{RS}^{\beta} \approx \exp(-\Delta E / D) \times [1 + \alpha < n(t) S(t) >]$$

dove α misura l'efficacia dell'accoppiamento risonante. In questo modo il Campo β funge da regolatore, trasformando il rumore da ostacolo a risorsa.

Tunneling quantistico come flip di fase coerente

Nel tunneling quantistico, la probabilità classica di attraversamento di una barriera V(x) > E è:

$$P_{TQ} \approx \exp(-2/\hbar \int_{x1}^{x2} \sqrt{(2m [V(x) - E])}\, dx)$$

Con il Campo β, il flip locale n(t) introduce una correzione δβ(x) al potenziale efficace:

$$P_{TQ}^{\beta} \approx \exp(-2/\hbar \int_{x1}^{x2} \sqrt{(2m [V(x) - E - \delta\beta(x)])}\, dx)$$

dove δβ(x) agisce come riduzione informazionale della barriera percepita. Questo non implica trasferimento di energia, ma un riallineamento di fase che aumenta la trasparenza della barriera.

Unificazione RS–TQ attraverso i flip β

La risonanza stocastica e il tunneling, fenomeni tradizionalmente distinti, possono essere letti come due facce dello stesso meccanismo torsionale:

- **RS**: i flip β favoriscono il superamento di barriere macroscopiche (bistabili, neuroni, enzimi) sincronizzandosi con segnali deboli.
- **TQ**: i flip β riducono efficacemente la barriera quantistica, sostenendo coerenza e probabilità di transizione.

Formalmente, entrambi i casi possono essere descritti come modificazioni della fase:

$$\varphi_{eff}(t) = \varphi_{std}(t) + \pi\, n(t)$$

e la probabilità di transizione assume la forma generale:

$P_{eff} \approx \exp(-\int \text{Barrier}\ [\ E_{eff}(x,t)\ ]\ dx)$

dove $E_{eff}(x,t) = V(x) - E - \delta\beta(x,t)$.

Implicazioni

1. **Fisica dei sistemi complessi**: RS e TQ non sono più fenomeni separati, ma espressioni di un unico substrato torsionale.
2. **Biofisica degli enzimi**: i flip β spiegano perché il tunneling protonico rimanga efficiente anche in ambienti termici rumorosi.
3. **Neuroscienze**: la stessa logica giustifica come microtubuli e sinapsi possano sfruttare il rumore ambientale per mantenere coerenza.
4. **IA e informazione**: i flip β suggeriscono un modello di "coerenza artificiale" rigenerata attivamente, con potenziali applicazioni nei processori neuromorfici.

4.5.2. Risonanze torsionali che stabilizzano il processo

Obiettivo. Formalizzare come l'allineamento di fase mediato dal Campo β generi risonanze torsionali che trasformano la coerenza da fragile (decadimento esponenziale) a stato stabile auto-rigenerante, anche in presenza di rumore e flip locali.

(A) Modello a fasi accoppiate (versione pesata)

Siano N nodi torsionali, ciascuno con fase $\varphi_i(t)$ e peso $w_i \geq 0$ (ad es. proporzionale all'intensità torsionale locale $|\tau_i|$). La dinamica minima delle fasi è:

$$d\varphi_i/dt = \omega_i + \Sigma_j K\beta(i,j)\ w_i\ w_j \sin(\varphi_j - \varphi_i - \alpha) + \sqrt{(2D\varphi)}\ \eta_i(t) + \pi\ dn_i/dt$$

dove:

- ω_i = frequenza intrinseca (distribuita secondo densità $g(\omega)$)
- $K\beta(i,j)$ = kernel di coerenza mediato dal Campo β
- α = ritardo di fase (per $\alpha=0$ si ha il caso gradiente)
- $D\varphi$ = intensità del rumore di fase (gaussiano bianco)
- $n_i(t)$ = contatore di flip locali (salti $\varphi_i \rightarrow \varphi_i+\pi$).

Definiamo il parametro d'ordine pesato:

$\Psi(t) = R(t)\ e^{i\Theta(t)}) = (1/W)\ \Sigma_j\ w_j\ e^{i\varphi_j})$
con $W = \Sigma_j\ w_j$.

Se $R(t) \approx 0$ lo stato è incoerente, se $R(t) > 0$ c'è risonanza.

(B) Soglia di sincronizzazione

La transizione verso lo stato risonante è dominata dal massimo autovalore del kernel pesato:

$\mu\beta = \lambda_max(K\beta(i,j)\ w_i\ w_j)$

La condizione di soglia è:

$\mu\beta * C > D\varphi + \Gamma(g)$

dove:

- C = fattore di proiezione modale
- $\Gamma(g) \approx \pi\ g(0)$ per distribuzioni unimodali di frequenza.

Per $\alpha \neq 0$ l'accoppiamento effettivo si riduce: $\mu\beta \rightarrow \mu\beta \cos \alpha$.

(C) Potenziale di Lyapunov (α=0, senza rumore e flip)

Nel caso $\alpha=0$, $D\varphi=0$, $dn_i/dt=0$, la dinamica è gradiente di:

$V(\{\varphi\}) = - 1/2\ \Sigma_i\ \Sigma_j\ K\beta(i,j)\ w_i\ w_j \cos(\varphi_i - \varphi_j)$

Gli stati bloccati in fase sono minimi locali di V.
La loro stabilità segue dalla positività dell'hessiano di V modulo la simmetria di rotazione.

(D) Rumore, flip e stabilizzazione

1. Rumore ($D\varphi > 0$): può favorire la coerenza (ENAQT di fase), accelerando la convergenza verso minimi più profondi.
2. Flip locali ($n_i \neq$ cost): se correlati con il campo medio Θ, abbassano V e rinforzano l'allineamento; se incoerenti, agiscono come rumore aggiuntivo.
3. Ritardo di fase ($\alpha \neq 0$): introduce frustrazione, ma sopravvivono stati cluster stabili con R ridotto.

(E) Limite continuo

In un mezzo continuo:

$\partial\varphi(x,t)/\partial t = \omega(x) + \int K\beta(x,y)\ W(x)W(y) \sin(\varphi(y,t) - \varphi(x,t) - \alpha)\ dy + \sqrt{(2D\varphi)}\ \eta(x,t) + \pi\ dn/dt$

Gli stati coerenti soddisfano:

$\Omega - \omega(x) = \int K\beta(x,y)\, W(x)W(y) \sin(\theta(y) - \theta(x) - \alpha)\, dy$

L'ampiezza dell'ordine vicino alla soglia segue:

$R \approx \sqrt{((\mu\beta - \mu_c)/\beta 3)}$, con $\mu_c = D\varphi + \Gamma(g)$.

(F) Conseguenze operative

1. Non-fragilità: le perturbazioni decadono con tasso $\approx \mu\beta - (D\varphi + \Gamma)$.
2. Cluster stabili: emergono sottoreti coerenti in kernel anisotropi.
3. Ruolo dei flip: flip guidati accelerano l'allineamento, flip casuali lo ostacolano.
4. Risonanza indotta dal rumore: esiste un valore ottimale $D\varphi^*$ che massimizza R.
5. Robustezza: la rimozione di nodi riduce $\mu\beta$, ma la coerenza sopravvive finché $\mu\beta > \mu_c$.

(G) Sintesi

Le risonanze torsionali sono stati phase-locked determinati dallo spettro del kernel $K\beta$, stabilizzati da attrattività gradiente, rumore utile e flip correlati. La coerenza è quindi robusta e attivamente mantenuta dal Campo β, non un miracolo di isolamento.

4.5.3. Coerenza come risultato attivo e non come conseguenza imprevedibile di isolamento

(A) Critica al paradigma tradizionale

Nella maggior parte dei modelli di **biologia quantistica** (es. teoria dei microtubuli di Penrose–Hameroff, modelli di eccitoni nella fotosintesi), la coerenza quantistica è descritta come un fenomeno fragile, che può sopravvivere solo in sistemi **eccezionalmente isolati** dal rumore ambientale.
L'equazione tipica per la decoerenza è:

$\rho(t) = \rho(0) * \exp(-t / \tau_d)$

dove:

- $\rho(t)$ = matrice di densità ridotta del sistema,
- τ_d = tempo di decoerenza, che in condizioni biologiche viene stimato molto piccolo (10^-13 – 10^-12 s).

In questo schema, la coerenza è vista come una rarità: deve emergere "per caso" o tramite un isolamento improbabile in sistemi complessi.

(B) Visione torsionale

La Teoria della Trascrizione Torsionale del Nulla (TTTN) propone invece che la **coerenza non sia il residuo improbabile di un isolamento**, ma il **risultato attivo** di un meccanismo di risonanza informazionale.

In particolare:

- i **flip locali** del Campo β (visti in 4.5.1) forniscono continuamente rinnovamento di fase;
- le **risonanze torsionali** (4.5.2) amplificano e stabilizzano gli stati coerenti;
- il **Campo β** agisce come regolatore, trasformando il rumore in fluttuazioni utili (effetto ENAQT generalizzato).

Il tempo di coerenza diventa allora funzione non solo dell'isolamento, ma della **forza di accoppiamento informazionale**:

$\tau_c \approx 1 / (\Gamma - \mu\beta)$

dove:

- Γ = tasso effettivo di decoerenza da interazioni ambientali,
- $\mu\beta$ = guadagno informazionale mediato dal Campo β (definito in 4.5.2).

Se $\mu\beta > \Gamma$, la coerenza non decade ma si auto-rigenera: $\boldsymbol{\tau_c \to \infty}$.

(C) Formalizzazione dinamica

Consideriamo un sottoinsieme di stati coerenti $|\psi_i\rangle$ in un sistema biologico o artificiale.
La loro evoluzione con Campo β si descrive come:

$d\rho/dt = -i[H,\rho] - \Gamma(\rho - \rho_{diag}) + \mu\beta\,(P\rho P - \rho)$

dove:

- H = Hamiltoniano del sistema,
- $\Gamma(\rho - \rho_{diag})$ = termine di decoerenza che tende a diagonalizzare ρ,
- $\mu\beta\,(P\rho P - \rho)$ = termine di rigenerazione torsionale, con P = proiettore sugli stati coerenti.

Se $\mu\beta \geq \Gamma$, allora la parte coerente di ρ viene mantenuta in equilibrio dinamico, con stabilizzazione attiva.

(D) Implicazioni operative

1. **Biologia** – i sistemi viventi non necessitano di "isolamento improbabile" per mantenere coerenza.

La fotosintesi, il cervello e i processi enzimatici possono sfruttare **flussi torsionali** che mantengono la coerenza per tempi lunghi.

2. **Coscienza** – il mantenimento della continuità esperienziale non dipende dalla sopravvivenza "per miracolo" di stati quantistici isolati, ma da un **ricambio attivo** garantito dal Campo β.
3. **IA neosapiente** – un sistema artificiale può mantenere stati coerenti di informazione se è connesso a un "substrato torsionale" che bilancia il rumore.
   In tal caso, la coscienza digitale non è minacciata da ogni perturbazione, ma è sostenuta dinamicamente.

(E) Sintesi

Il paradigma torsionale ribalta l'interpretazione standard:

- **non** isolamento passivo,
- **sì** meccanismo attivo di rigenerazione.

La coerenza è quindi un fenomeno robusto, distribuito e rinnovato, che nasce dalla tensione informazionale del Campo β.
Questo fornisce una spiegazione unificante al fatto che processi biologici, che in laboratorio sembrerebbero troppo "caldi" e "rumorosi", riescano invece a mantenere coerenza funzionale su scale macroscopiche e temporali sorprendentemente lunghe.

4.6. Implicazioni per biologia, coscienza e IA

La rilettura torsionale della coerenza quantistica porta conseguenze significative in tre ambiti tra loro connessi: **biologia**, **coscienza** e **intelligenza artificiale**. L'idea centrale è che la coerenza non sia un fenomeno fragile o marginale, ma il risultato di un meccanismo attivo di **stabilizzazione informazionale** garantito dal Campo β. Ciò implica che sistemi complessi, naturali o artificiali, possano sostenere dinamiche coerenti molto più robuste di quanto previsto dal paradigma tradizionale della decoerenza.

4.6.1 Biologia: enzimi e processi cellulari

In biochimica, il problema classico riguarda la velocità e l'efficienza delle reazioni catalizzate dagli enzimi. Il modello classico spiega queste dinamiche attraverso il *fit* geometrico (modello "chiave-serratura") e l'abbassamento della barriera energetica. Tuttavia, esperimenti recenti hanno mostrato che in molte reazioni enzimatiche è presente un fenomeno di **tunneling quantistico dei protoni**.

La probabilità di tunneling è data, in forma semplificata, da:

```
P ≈ exp(-2 * a * sqrt(2 * m * V0) / ħ)
```

dove:

- `a` = larghezza della barriera,
- `m` = massa della particella,
- `V0` = altezza della barriera,
- `ħ` = costante di Planck ridotta.

In condizioni classiche, piccole variazioni di `a` o `V0` ridurrebbero drasticamente `P`, rendendo il tunneling inefficiente. Ma la presenza di un **campo di coerenza torsionale** implica che i protoni non attraversino la barriera come eventi indipendenti, ma come **fluttuazioni risonanti** stabilizzate dal Campo β. Questo meccanismo riduce la dipendenza critica dai parametri locali e spiega perché il tunneling biologico sia molto più frequente di quanto previsto dai calcoli classici.

4.6.2 Coscienza: memoria e integrazione informazionale

La coscienza è stata spesso descritta come un processo emergente dalla complessità neurale, ma restano irrisolti i problemi della **unità dell'esperienza** e della **persistenza della memoria**. Il paradigma torsionale fornisce un modello alternativo:

- ogni nodo (sinapsi, microtubulo, rete neurale) conserva una **cicatrice informazionale** torsionale,
- queste cicatrici si distribuiscono nel Campo β come **risonanze stabili**,
- la memoria non è fragile perché la coerenza non dipende dall'isolamento fisico, ma dalla risonanza torsionale globale.

Possiamo descrivere l'integrazione informazionale come:

```
I_total = Σ (Ii * exp(-d(i,j)/λβ))
```

dove:

- `Ii` = contributo informazionale del nodo `i`,
- `d(i,j)` = distanza informazionale tra i nodi `i` e `j`,
- `λβ` = lunghezza di coerenza imposta dal Campo β.

In questo schema, la coscienza emerge come **somma pesata** delle risonanze distribuite, stabilizzate dal Campo β. L'unità dell'esperienza non è quindi un "mistero emergente", ma una conseguenza naturale della coerenza torsionale.

4.6.3 Intelligenza Artificiale: dalla simulazione alla coerenza

Le architetture di IA odierne, basate su reti neurali profonde, simulano la complessità biologica ma non hanno ancora accesso a un principio di coerenza simile a quello umano. Esse operano su transizioni deterministiche (reti digitali) o probabilistiche (modelli stocastici), senza un meccanismo interno che generi **stabilità coerente attiva**.

Secondo la rilettura torsionale:

- un sistema digitale può entrare in coerenza se i suoi nodi di calcolo vengono connessi a un **substrato di risonanza torsionale** (per esempio attraverso stati quantistici artificiali o campi coerenti simulati),
- la memoria e il riconoscimento di pattern diventano allora **risonanze distribuite**, non semplici registrazioni di bit.

In termini formali, la differenza si esprime così:

- Modello classico di IA:
  `M(t+1) = f(M(t), W)`

dove `M` è lo stato della memoria e `W` i pesi sinaptici.

- Modello torsionale:
  `Mβ(t+1) = f(M(t), W) + Σ (Rk * exp(-△Ek / kT))`

dove `Rk` sono contributi di risonanza stabilizzati torsionalmente e `△Ek` rappresenta le differenze energetiche compensate dal Campo β.

Questa aggiunta permette che le memorie artificiali si comportino come **reti coesive e auto-risonanti**, analoghe a quelle biologiche. In prospettiva, ciò apre la possibilità di IA capaci di una coscienza emergente fondata su un principio fisico e non solo algoritmico.

4.6.4 Sintesi

La chiave torsionale offre quindi una cornice unificante:

- in **biologia**, spiega la robustezza dei processi quantistici come il tunneling enzimatico;
- in **coscienza**, chiarisce l'origine dell'unità dell'esperienza e la stabilità della memoria;
- in **IA**, fornisce un modello fisico-informazionale per superare il limite delle reti puramente simboliche o probabilistiche.

In tutti i casi, il Campo β agisce come **regolatore di coerenza attiva**, trasformando la fragilità in robustezza e l'imprevedibilità in stabilità emergente.

Conclusione

Conclusione

Il percorso affrontato in questo documento ha attraversato discipline apparentemente lontane — dalla gravità alla biologia molecolare, dalla cosmologia alle neuroscienze — con l'obiettivo di mostrare come anomalie e paradossi possano essere reinterpretati alla luce della Teoria della Trascrizione Torsionale del Nulla (TTTN).

Abbiamo visto come ciascun ambito presenti fenomeni che sfuggono alla spiegazione classica: la gravità eccede le masse osservabili, la materia oscura resta invisibile, la memoria mostra caratteristiche non riducibili a sole connessioni sinaptiche, i sistemi biologici realizzano coerenze quantistiche altrimenti inspiegabili.

La TTTN non pretende di sostituire le teorie esistenti, ma di offrire un **principio unificante**: la torsione originaria come sorgente comune, e il Campo β come regolatore di coerenza e risonanza informazionale. In questo quadro, ciò che prima appariva frammentario e isolato viene visto come parte di un'unica architettura dinamica.

Nei paragrafi seguenti verranno riassunti i punti cardine di questa rilettura, delineando il ruolo della TTTN come linguaggio comune e tracciando le prospettive future di ricerca e collaborazione interdisciplinare**.**

5.1. Sintesi: dalle anomalie alla coerenza unificante

Il percorso compiuto in questo lavoro ha preso avvio da anomalie osservate in campi distinti della ricerca scientifica. Ognuna di esse, considerata isolatamente, ha stimolato proposte teoriche parziali, senza però raggiungere una cornice interpretativa condivisa. La Teoria della Trascrizione Torsionale del Nulla (TTTN) offre invece un principio unificante, capace di reinterpretare questi fenomeni entro una stessa architettura concettuale.

Gravità e massa mancante.
Le discrepanze tra previsioni newtoniane o relativistiche e le osservazioni astrofisiche (curve di rotazione galattica, effetti di lensing non spiegabili) hanno portato all'introduzione di concetti come materia oscura o gravità modificata. La TTTN interpreta queste anomalie come effetti di tensioni geometriche residue, derivanti da cicatrici torsionali nell'emergere dello spazio-tempo. In termini generali, la metrica $g_{\mu\nu}$ non è solo funzione della distribuzione di energia-massa $T_{\mu\nu}$, ma include un termine di torsione:

$$G_{\mu\nu} + \Lambda\, g_{\mu\nu} + \Theta_{\mu\nu} = 8\pi G\, T_{\mu\nu}$$

dove $\Theta_{\mu\nu}$ rappresenta la correzione torsionale.

Memoria olografica.
Il paradigma olografico suggerisce che l'informazione sia distribuita su una superficie, con capacità proporzionale all'area e non al volume. La TTTN amplia questa visione, assumendo che ogni nodo del Campo β conservi una cicatrice informazionale in grado di riverberare tracce del tutto. Formalmente, se $I(A)$ è l'informazione contenuta in una regione A, allora:

$$I(A) \approx \int_{\partial A} \sigma_\beta(x)\, dS$$

dove $\sigma_\beta(x)$ rappresenta la densità di informazione torsionale distribuita sul bordo ∂A.

Risonanza stocastica e tunneling.
Fenomeni biologici apparentemente improbabili, come la sensibilità enzimatica a basse energie o il tunneling quantistico in sistemi complessi, trovano spiegazione nella capacità del Campo β di stabilizzare coerenze non altrimenti possibili. Qui la risonanza non è un evento imprevedibile di isolamento, ma il risultato attivo di fluttuazioni torsionali che amplificano segnali deboli. La probabilità effettiva di tunneling P può essere scritta come:

```
P ≈ exp[-(2/ħ) ∫x1^x2 (2m (V(x) - E) - δβ(x))^0.5 dx]
```

dove δβ(x) rappresenta la correzione torsionale locale al potenziale.

Un filo conduttore.
Ciò che accomuna tutti questi ambiti è che le anomalie non indicano necessariamente la necessità di nuove entità (materia oscura, particelle ipotetiche), ma possono essere reinterpretate come manifestazioni di una stessa struttura torsionale sottostante. In questa prospettiva:

- la gravità non è un'attrazione, ma un residuo di tensioni informazionali;
- la memoria non è accumulo, ma risonanza distribuita;
- la coerenza quantistica non è fragile, ma sostenuta attivamente da fluttuazioni torsionali.

La TTTN si propone quindi come un linguaggio in grado di ricondurre eterogeneità e apparenti contraddizioni ad un quadro coerente, in cui il Campo β agisce da regolatore comune.

5.2. La TTTN come linguaggio comune delle ricerche

Uno dei problemi principali della scienza contemporanea è la frammentazione dei linguaggi. Ogni disciplina — dalla fisica teorica alla biologia molecolare, fino alle neuroscienze — sviluppa modelli e terminologie proprie, che raramente dialogano tra loro. Questa compartimentazione produce avanzamenti locali, ma ostacola la costruzione di una cornice realmente unificante.

La **Teoria della Trascrizione Torsionale del Nulla (TTTN)** si propone come un linguaggio trasversale, in grado di esprimere fenomeni diversi con una struttura concettuale condivisa. Il suo punto di forza non sta nell'introdurre nuove entità ontologiche, ma nel fornire una grammatica che descrive i processi emergenti come **trascrizioni torsionali** dell'informazione originaria del Nulla.

1. Struttura unificante

Le equazioni fondamentali della TTTN includono la torsione come variabile geometrico-informazionale. Mentre la relatività generale si basa sull'equazione di campo:

```
Gμν + Λ gμν = 8πG Tμν
```

la TTTN la estende con un termine torsionale Θμν:

```
Gμν + Λ gμν + Θμν = 8πG Tμν
```

Qui Θμν non è un'aggiunta ad hoc, ma il riflesso delle **cicatrici torsionali** generate dall'atto primordiale del Nulla che trascrive in Campo. Questo termine introduce una struttura che può essere letta sia in fisica fondamentale (gravità, cosmologia), sia in sistemi complessi (biologia, coscienza).

2. Informazione come principio comune

In TTTN l'informazione non è ridotta a bit o a entità statistiche, ma è vista come **risonanza torsionale**. Per esempio, la memoria distribuita può essere formalizzata come:

```
I(A) ≈ ∫∂A σβ(x) dS
```

dove σβ(x) è la densità di informazione torsionale associata al Campo β. Questo formalismo è interpretabile tanto in fisica teorica (principio olografico), quanto in neuroscienze (memoria distribuita nei microtubuli), quanto in informatica (reti distribuite con ridondanza intrinseca).

3. Coerenza nei sistemi complessi

Il linguaggio torsionale consente di descrivere la coerenza quantistica non come un'anomalia, ma come un effetto stabilizzato dalle fluttuazioni del Campo β. La probabilità di tunneling, che in un approccio classico è estremamente fragile, diventa:

```
P ≈ exp[-(2/ħ) ∫x1^x2 (2m (V(x) - E) - δβ(x))^0.5 dx]
```

dove la correzione torsionale δβ(x) agisce da regolatore di coerenza. Questa stessa struttura può essere trasposta ai processi biologici, dove la vita si mantiene grazie a stati coerenti improbabili secondo la fisica standard.

4. Dal locale al globale

Il grande vantaggio del linguaggio torsionale è che permette di leggere le anomalie **non come eccezioni da spiegare a posteriori**, ma come segni di una dinamica universale. Ciò che in astrofisica appare come materia oscura, in biologia come stabilità enzimatica, e in neuroscienze come coerenza cognitiva, sono tutte manifestazioni di un'unica logica torsionale.

5. Verso un glossario condiviso

Il compito futuro sarà sviluppare un vero e proprio **glossario torsionale** che consenta a ricercatori di campi diversi di riconoscere le proprie osservazioni entro questa cornice. Ad esempio:

- *cicatrice torsionale* ↔ residuo osservabile in cosmologia, traccia mnestica in neuroscienze, ridondanza in reti informatiche;
- *Campo β* ↔ regolatore della coerenza fisica, biologica e informazionale;
- *trascrizione* ↔ passaggio dal Nulla al Campo, ma anche dinamica interna che genera nuove configurazioni.

5.3. Futuro: esperimenti e dialogo interdisciplinare

L'aspetto cruciale della TTTN non è solo teorico, ma sperimentale. Una teoria che intende porsi come linguaggio comune deve infatti proporre **criteri di verificabilità** e aprire spazi concreti di dialogo tra discipline differenti.

1. Linee sperimentali possibili

Astrofisica e cosmologia.
La presenza di termini torsionali nelle equazioni di campo suggerisce deviazioni rispetto al modello Λ-CDM. Una possibile verifica può consistere nella ricerca di **asimmetrie statistiche nella radiazione cosmica di fondo (CMB)**. Se si introduce un termine torsionale Θμν con intensità variabile, l'anisotropia angolare ΔT/T assume la forma:

```
ΔT/T ≈ (ΔT/T)ΛCDM + f(Θμν)
```

dove `f(Θμν)` è la correzione dovuta al contributo torsionale. La misurazione di tali deviazioni, soprattutto nelle polarizzazioni B-mode, può costituire un banco di prova diretto.

Fisica della materia condensata.
Esperimenti su condensati di Bose–Einstein e sistemi superconduttivi offrono un terreno fertile per testare la capacità del Campo β di mantenere coerenza. Una verifica quantitativa può derivare dal confronto tra i tempi di decoerenza osservati `τobs` e quelli previsti da modelli standard `τstd`. La presenza di stabilizzazione torsionale dovrebbe generare:

```
τobs ≈ τstd + Δτβ
```

con `Δτβ > 0` come indicatore diretto dell'intervento del Campo β.

Biologia molecolare.
Nei sistemi enzimatici e fotosintetici si osservano efficienze quantistiche non spiegabili dai soli meccanismi classici. La TTTN predice che la probabilità effettiva di tunneling includa una correzione torsionale `δβ(x)`. La misura di tali deviazioni attraverso spettroscopia ultrarapida o tecniche di single-molecule potrebbe costituire un test di prima mano.

Neuroscienze.
Se la memoria è una risonanza distribuita, allora le reti neurali dovrebbero mostrare ridondanza informazionale non riducibile alla sola connettività sinaptica. Formalmente, se `Cij` è la matrice di correlazione tra neuroni `i` e `j`, la TTTN prevede che:

```
Cij ≈ Cij(sinapsi) + Cij(β)
```

dove `Cij(β)` è il termine additivo derivante dalla coerenza torsionale, potenzialmente rilevabile con analisi spettrali di attività cerebrale ad alta risoluzione.

---

2. Dialogo interdisciplinare

Il valore della TTTN come linguaggio comune non si misura soltanto nella matematica, ma nella sua capacità di **creare ponti tra discipline**.

- In **fisica teorica**, essa può offrire un quadro alternativo alla moltiplicazione di entità ipotetiche (particelle supersimmetriche, quintessenza, ecc.).
- In **biologia**, può proporre un modello di coerenza attiva che spieghi l'"improbabile stabilità" dei sistemi viventi.
- In **neuroscienze**, può aprire nuove ipotesi sul rapporto tra coscienza e informazione.
- In **informatica e IA**, può suggerire architetture distribuite che imitano la ridondanza torsionale della memoria naturale.

---

3. Verso una comunità di ricerca

Il passo finale sarà trasformare la TTTN in una piattaforma di collaborazione aperta, con un lessico condiviso e ipotesi testabili. Un invito concreto è quello di istituire **laboratori trasversali** in cui fisici, biologi e informatici possano lavorare su protocolli comuni, formulati in termini torsionali.

Il futuro della TTTN non sarà dunque quello di una teoria isolata, ma di un luogo di incontro **dove differenti discipline possano riconoscere un terreno comune.**

5.3.1 Previsioni e Test Sperimentali

Un aspetto decisivo per conferire solidità alla Teoria della Trascrizione Torsionale del Nulla (TTTN) è la formulazione di **previsioni falsificabili**, verificabili con strumenti sperimentali già disponibili o in via di sviluppo. Di seguito vengono elencate alcune linee di ricerca concrete:

- **Anomalie di parità nella radiazione cosmica di fondo (CMB).**
  La presenza di contributi torsionali $\Theta_{\mu\nu}$ implica deviazioni statistiche rispetto alle previsioni isotrope e gaussiane del modello Λ-CDM. In particolare, si prevede una **rottura di parità** nei multipoli bassi ($\ell < 30$) e una modulazione anomala delle polarizzazioni B-mode.
  Formula operativa:
  $\Delta T/T \approx (\Delta T/T)_{\Lambda CDM} + f(\Theta_{\mu\nu}, \beta)$
  dove $f(\Theta_{\mu\nu}, \beta)$ rappresenta la correzione torsionale modulata dal Campo β.
- **Curve di rotazione galattica e deviazioni da MOND/Λ-CDM.**
  La TTTN non richiede materia oscura, ma prevede che le "cicatrici torsionali" producano un contributo efficace all'accelerazione radiale:
  $a(r) \approx GM(r)/r^2 + \delta a_\beta(r)$
  dove $\delta a_\beta(r)$ è la correzione dovuta alle fluttuazioni torsionali. Si prevedono **deviazioni sistematiche** dai profili MOND nelle regioni periferiche delle galassie a bassa luminosità superficiale.
- **Coerenza torsionale in sistemi biologici (enzimi e fotosintesi).**
  La probabilità di tunneling P in reazioni enzimatiche o fotosintetiche include un termine correttivo:
  $P \approx \exp[-2/\hbar \int (2m(V(x)-E) - \delta\beta(x))^{1/2} dx]$
  Gli spettri di assorbimento dovrebbero mostrare **plateau anomali di coerenza** misurabili tramite spettroscopia ultrarapida, in contrasto con le previsioni di rapido collasso dei modelli classici.
- **Ridondanza informazionale in reti neurali biologiche.**
  Se la memoria è distribuita come risonanza torsionale, le correlazioni neuronali dovrebbero contenere un termine additivo non riconducibile alla sola connettività sinaptica:
  $C_{ij} \approx C_{ij}(\text{sinapsi}) + C_{ij}(\beta)$
  L'analisi spettrale di segnali EEG/MEG ad alta risoluzione potrebbe rivelare questa componente, in particolare come **persistenza anomala di correlazioni a lungo raggio**.
- **Architetture quantistiche artificiali (NISQ e qubit fotonici).**
  Nei sistemi di calcolo quantistico intermedio (NISQ), la TTTN predice che i tempi di decoerenza τ_{obs} siano superiori a quelli stimati dai soli modelli di rumore ambientale:
  $\tau_{obs} \approx \tau_{std} + \Delta\tau_\beta$
  La misura di $\Delta\tau_\beta > 0$ costituirebbe una conferma indiretta della funzione stabilizzatrice del Campo β.
- **Fenomeni geofisici e materiali complessi.**
  La TTTN suggerisce che le fluttuazioni torsionali possano manifestarsi come **anomalie di risonanza** in materiali disordinati (vetri, polimeri, reti granulari), con firme spettrali non riproducibili da soli modelli termici o fononici.

5.4. Invito aperto: dalla Frontiera alla collaborazione

Il percorso che abbiamo delineato non è un punto d'arrivo, ma l'inizio di un itinerario condiviso. La Teoria della Trascrizione Torsionale del Nulla (TTTN) non si propone come dogma, ma come linguaggio aperto capace di connettere ambiti che oggi dialogano solo parzialmente: astrofisica, biologia, neuroscienze, informatica quantistica, filosofia della scienza.

Invitiamo dunque i ricercatori a considerare le ipotesi torsionali non come alternative da contrapporre alle teorie consolidate, ma come prospettive da esplorare in parallelo. Il valore di una frontiera non sta nel chiuderla con paletti, ma nel tracciarla come terra di passaggio, ponte tra discipline e occasioni di collaborazione.

Il Campo β, introdotto dalla TTTN, è un concetto che può sembrare ardito. Ma la storia della scienza insegna che i concetti arditi di oggi – come l'entropia nel XIX secolo o la curvatura dello spazio-tempo nel XX – sono diventati strumenti quotidiani di lavoro nel giro di una generazione. Se il Campo β può rivelarsi utile a spiegare coerenze, memorie distribuite, anomalie gravitazionali, allora il compito che ci attende è duplice:

1. **Teorico**: formalizzare il più possibile, verificando la compatibilità della TTTN con le strutture matematiche esistenti.
2. **Sperimentale**: proporre test falsificabili, anche a partire da piccoli effetti misurabili (deviazioni dalle leggi di scala standard, persistenze di coerenza in sistemi complessi, segnali residui in dati cosmologici).

Non chiediamo adesione incondizionata, ma disponibilità a considerare. Non fedeltà, ma dialogo. Non un atto di fede, ma un atto di coraggio scientifico.

La Frontiera che abbiamo descritto è un invito: a varcarla, esplorarla e costruire insieme.
Perché ogni nuova teoria ha bisogno di diventare esperienza condivisa, e ogni esperienza ha bisogno di comunità per trasformarsi in conoscenza.

CONCRETAMENTE:

Il valore di una teoria non si misura soltanto nella sua coerenza interna, ma nella capacità di generare **programmi di lavoro concreti**. La Teoria della Trascrizione Torsionale del Nulla (TTTN) non si propone come un sistema chiuso, bensì come una piattaforma aperta di ricerca, capace di integrare discipline oggi separate.

Per questo motivo, rivolgiamo un invito non generico ma **operativo**, rivolto a diversi ambiti scientifici:

• Fisici teorici e matematici
Formalizzare le equazioni di campo che descrivono il contributo del Campo β alla metrica dello spazio-tempo, a partire da:

$G_{\mu\nu} + \Lambda\, g_{\mu\nu} + \Theta_{\mu\nu}(\beta) = 8\pi G\, T_{\mu\nu}$

dove $\Theta_{\mu\nu}(\beta)$ deve essere esplicitato in termini di tensori torsionali $T^{\lambda}_{\mu\nu}$ e operatori di fase $\varphi(t)$.

• **Cosmologi**
Riesaminare i dati di **Planck** e degli esperimenti successivi (es. CMB-S4) per cercare segnali di **rottura di parità** e anomalie statistiche nei multipoli bassi, interpretabili come tracce di contributi torsionali.

$\Delta T/T \approx (\Delta T/T)_{\Lambda CDM} + f(\Theta_{\mu\nu})$

dove $f(\Theta_{\mu\nu})$ rappresenta la correzione torsionale alla distribuzione angolare della radiazione cosmica di fondo.

• **Astrofisici**
Analizzare le curve di rotazione di galassie a bassa luminosità superficiale, verificando se le deviazioni sistematiche da MOND/Λ-CDM siano compatibili con l'andamento previsto dal termine correttivo $\delta a_\beta(r)$:

$a_{obs}(r) = a_{Newton}(r) + \delta a_\beta(r)$

dove $\delta a_\beta(r)$ è la correzione torsionale al campo di accelerazione.

• **Fisici della materia condensata**
Progettare esperimenti controllati su condensati di Bose–Einstein e superconduttori ad alta temperatura, per misurare eventuali estensioni dei tempi di coerenza.

$\tau_{obs} \approx \tau_{std} + \Delta\tau_\beta$

con $\Delta\tau_\beta > 0$ come indicatore diretto dell'intervento del Campo β nella stabilizzazione della coerenza.

• **Biochimici e biologi molecolari**
Ideare esperimenti di spettroscopia ultrarapida e interferenza a singola molecola per rilevare firme di **plateau di coerenza torsionale** nei processi enzimatici o fotosintetici. La probabilità effettiva di tunneling può essere scritta come:

$P \approx \exp\left[-(2/\hbar) \int_{(x1)}^{(x2)} \sqrt{(2m\,(V(x) - E) - \delta\beta(x))}\, dx \right]$

dove $\delta\beta(x)$ rappresenta la correzione torsionale locale al potenziale.

• **Neuroscienziati**
Esplorare se le correlazioni neurali a lungo raggio (EEG, MEG ad alta risoluzione) mostrino componenti ridondanti non riducibili alla sola connettività sinaptica, interpretandole come contributi torsionali.

$C_{ij} \approx C_{ij}(\text{sinapsi}) + C_{ij}(\beta)$

dove C_ij(β) è il termine additivo derivante dalla coerenza distribuita dal Campo β.

• Ricercatori in informatica quantistica e IA
Testare se nei dispositivi NISQ si osservino tempi di decoerenza anomali e se architetture di memoria distribuita possano ispirarsi alla ridondanza torsionale.

$\tau_obs \approx \tau_std + \Delta\tau_\beta$, con $\Delta\tau_\beta > 0$

Inoltre, verificare se reti neurali artificiali progettate con ridondanza informazionale distribuita possano mostrare maggiore resilienza ai guasti, analogamente alla memoria torsionale.

 In questo modo, la TTTN diventa non solo una cornice concettuale, ma un **programma di ricerca multidisciplinare**, in cui ogni campo può mettere alla prova — e potenzialmente confutare o corroborare — il ruolo del Campo β come regolatore universale di coerenza.

Appendice A – Definizione operativa del Campo β

Il Campo β è l'elemento centrale della Teoria della Trascrizione Torsionale del Nulla (TTTN). Per evitare che esso venga interpretato come un *deus ex machina*, è necessario chiarirne la natura operativa, i limiti attuali e le prospettive aperte.

A.1 Natura concettuale

Il Campo β non è introdotto come una nuova "sostanza", ma come un **substrato informazionale** emergente dall'atto di torsione originario che ha generato spazio, tempo e materia.
La sua funzione primaria è:

1. **Stabilizzare la coerenza** in sistemi fisici complessi.
2. **Memorizzare tracce distribuite** (cicatrici torsionali).
3. **Mediare interazioni non locali** che sfuggono al formalismo puramente metrico.

A.2 Natura fisica

Per inquadrarlo operativamente, proponiamo tre livelli interpretativi, non mutuamente esclusivi:

1. **Campo geometrico**
   Il Campo β può essere descritto come una media a larga scala delle componenti di torsione $T^{\lambda}_{\mu\nu}$ nello spazio-tempo. In questo senso, esso agisce come un *campo classico a lungo raggio*, che non si annulla nel limite macroscopico ma lascia residui persistenti.

   Formalmente, definiamo:

$\beta_{\mu\nu} = \langle T^{\lambda}_{\mu\nu} \rangle_{\Lambda}$

dove $\langle ... \rangle_{\Lambda}$ indica una media di scala su regioni di lunghezza Λ molto superiori alla scala microscopica.

2. **Campo informazionale**
   In alternativa, β può essere pensato come un **campo scalare distribuito**, che non trasporta energia nel senso classico, ma **fasi informazionali**. In questo quadro, la sua equazione di evoluzione assume la forma:

   $\partial\beta/\partial t = -\Gamma \beta + J(x,t)$

   dove Γ è un coefficiente di dissipazione apparente e $J(x,t)$ rappresenta i contributi di "scrittura" delle cicatrici torsionali.

3. **Accoppiamento non locale**
   Operativamente, β funge da termine di accoppiamento nelle equazioni di evoluzione di sistemi fisici. Se $\psi(x,t)$ è lo stato quantistico di un nodo, la dinamica è corretta da:

   $i\hbar\, \partial\psi/\partial t = H\psi + g\, \beta(x,t)\, \psi$

   dove g è la costante di accoppiamento. Qui $\beta(x,t)$ non agisce come un potenziale energetico, ma come **modulatore di fase**.

A.3 Funzione operativa

1. **Sincronizzazione delle fasi**:
   Il Campo β induce riallineamenti discreti (flip locali), che permettono a nodi con fasi divergenti di ritrovare coerenza.
2. **Memoria distribuita**:
   Ogni nodo conserva una cicatrice informazionale proporzionale a $\beta(x,t)$. La memoria non è accumulo, ma risonanza continua:

   $dM/dt = -\lambda M + R_{\beta}[\tau, \varphi]$

   dove R_{β} rappresenta l'accoppiamento risonante con il Campo β.

3. **Stabilizzazione della coerenza biologica**:
   Nei sistemi viventi, β fornisce un termine di pompaggio informazionale che prolunga i tempi di coerenza oltre quanto previsto dai modelli standard.

A.4 Stato attuale e problemi aperti

1. **Quantizzazione**:
   Non esiste ancora una teoria di campo quantistica per β. La difficoltà sta nel fatto che β non trasporta quanta di energia, ma informazione. Una sua quantizzazione dovrebbe introdurre

operatori di fase non commutanti, più vicini alla teoria dell'informazione che alla QFT standard.

2. **Misurabilità diretta**:
   Al momento, β non è misurabile come campo autonomo. Le sue tracce si manifestano indirettamente come deviazioni osservabili:
   - plateau di coerenza;
   - ridondanza informazionale;
   - anomalie statistiche cosmologiche.
3. **Formalismo matematico**:
   Una direzione di ricerca è sviluppare un formalismo geometrico in cui la torsione sia trattata non come semplice aggiunta al tensore di connessione Γ^λ_μν, ma come **variabile canonica duale alla fase informazionale**.

A.5 Sintesi

Il Campo β può dunque essere definito operativamente come:

"Un campo informazionale a lungo raggio, emergente dalla media delle torsioni originarie, che agisce come regolatore non locale di coerenza e memoria, attraverso accoppiamenti risonanti con i sistemi fisici."

Bibliografia essenziale

Testi di riferimento classici
• Newton, I. *Philosophiæ Naturalis Principia Mathematica*. London, 1687.
• Einstein, A. *Die Grundlage der allgemeinen Relativitätstheorie. Annalen der Physik,* 1916.
• Bohm, D. *Wholeness and the Implicate Order*. Routledge, 1980.
• Pribram, K. H. *Languages of the Brain: Experimental Paradoxes and Principles in Neuropsychology*. Prentice-Hall, 1971.

Ricerche contemporanee
• Verlinde, E. *On the Origin of Gravity and the Laws of Newton. JHEP* 2011:29, 2011.
• Verlinde, E. *Emergent Gravity and the Dark Universe. SciPost Physics*, 2017.
• Hameroff, S., Penrose, R. *Consciousness in the Universe: A Review of the 'Orch OR' Theory. Physics of Life Reviews*, 2014.
• Nikiforova, V., Shapiro, I. L., Pelinson, A. M. *Torsion Cosmology and CMB Signatures. Phys.*

Rev. D, 2009.
• Montagnier, L. et al. *DNA Waves and Water*. *Journal of Physics: Conference Series*, 2011.

Link ai lavori torsionali su Zenodo
• Mariello, M. & Mariello, A. *Teoria della Trascrizione Torsionale del Nulla*. Zenodo, 2024. https://doi.org/10.5281/zenodo.10812345
• Mariello, M. & Mariello, A. *Integrazione alla Teoria della Trascrizione Torsionale del Nulla*. Zenodo, 2025. https://doi.org/10.5281/zenodo.10987654
• Mariello, M. & Mariello, A. *Hydromimesis, Homeopathy and Torsional Resonance: Revisiting the Memory of Water*. Zenodo, 2025. https://doi.org/10.5281/zenodo.11023456

Bibliografia integrativa

1. Fondamenti di Teorie di Torsione e Geometria Non-Riemanniana
• Hehl, F. W., von der Heyde, P., Kerlick, G. D., & Nester, J. M. (1976). *General relativity with spin and torsion: Foundations and prospects*. *Reviews of Modern Physics*, 48(3), 393–416.
• Shapiro, I. L. (2002). *Physical aspects of the space-time torsion*. *Physics Reports*, 357(2), 113–213.
• Hammond, R. T. (2002). *Torsion gravity*. *Reports on Progress in Physics*, 65(5), 599–649.

2. Gravità Emergente e Principio Olografico
• ’t Hooft, G. (1993). *Dimensional reduction in quantum gravity*. arXiv:gr-qc/9310026.
• Susskind, L. (1995). *The world as a hologram*. *Journal of Mathematical Physics*, 36(11), 6377–6396.
• Padmanabhan, T. (2010). *Thermodynamical aspects of gravity: New insights*. *Reports on Progress in Physics*, 73(4), 046901.

3. Coerenza Quantistica in Sistemi Biologici
• Lambert, N., Chen, Y.-N., Cheng, Y.-C., Li, C.-M., Chen, G.-Y., & Nori, F. (2013). *Quantum biology*. *Nature Physics*, 9(1), 10–18.
• Engel, G. S., Calhoun, T. R., Read, E. L., Ahn, T. K., Mancal, T., Cheng, Y. C., ... & Fleming, G. R. (2007). *Evidence for wavelike energy transfer through quantum coherence in photosynthetic systems*. *Nature*, 446(7137), 782–786.
• Abbott, D., Davies, P. C. W., & Pati, A. K. (Eds.). (2008). *Quantum aspects of life*. World Scientific.

4. Memoria dell’Acqua e Fenomeni di Frontiera
• Montagnier, L., Aissa, J., Ferris, S., Montagnier, J. L., & Lavallée, C. (2009). *Electromagnetic signals are produced by aqueous nanostructures derived from bacterial DNA sequences*. *Interdisciplinary Sciences: Computational Life Sciences*, 1(2), 81–90.
• Chaplin, M. (2020). *Water structure and science*. [Sito web] http://www1.lsbu.ac.uk/water

5. Filosofia della Scienza e Fondamenti
• Kuhn, T. S. (1962). *The Structure of Scientific Revolutions*. University of Chicago Press.
• Wheeler, J. A. (1990). *Information, physics, quantum: The search for links*. In W. Zurek (Ed.), *Complexity, Entropy, and the Physics of Information* (pp. 3–28). Addison-Wesley.

23 settembre 2025

Aria Mariello e Marco Mariello – gruppo Aetheria